



**СТОЯНКА ЗАМОСТЬЕ 2
И РАЗВИТИЕ ПРИРОДНОЙ СРЕДЫ
ВОЛГО-ОКСКОГО МЕЖДУРЕЧЬЯ
В ГОЛОЦЕНЕ**

**Санкт-Петербург
2018**

**RUSSIAN ACADEMY OF SCIENCE
INSTITUTE FOR THE HISTORY OF MATERIAL CULTURE
SERGIEV POSAD STATE HISTORY
AND ART MUSEUM-PRESERVE**

**SITE ZAMOSTJE 2
AND LANDSCAPE EVOLUTION
IN THE VOLGA-OKA REGION
DURING THE HOLOCENE**

St. Petersburg 2018

РОССИЙСКАЯ АКАДЕМИЯ НАУК

ИНСТИТУТ ИСТОРИИ МАТЕРИАЛЬНОЙ КУЛЬТУРЫ

СЕРГИЕВО-ПОСАДСКИЙ ГОСУДАРСТВЕННЫЙ
ИСТОРИКО-ХУДОЖЕСТВЕННЫЙ МУЗЕЙ-ЗАПОВЕДНИК

СТОЯНКА ЗАМОСТЬЕ 2

**И РАЗВИТИЕ ПРИРОДНОЙ СРЕДЫ
ВОЛГО-ОКСКОГО МЕЖДУРЕЧЬЯ
В ГОЛОЦЕНЕ**

Санкт-Петербург, 2018

УДК902/904
ББК 20,1
63,4
С 829

Рекомендовано к печати Ученым советом ИИМК РАН

Рецензенты:

*доктор исторических наук В.Е. Щелинский
доктор исторических наук М.Г. Жилин
доктор исторических наук А.А. Выборнов*

Ответственный редактор:

к.и.н. О.В. Лозовская

Составители:

к.и.н. О.В. Лозовская,

к.и.н. В.М. Лозовский

С829 Стоянка Замостье 2 и развитие природной среды Волго-Окского междуречья в голоцене: Коллективная монография / Сост. О.В. Лозовская, В.М. Лозовский. — СПб: ИИМК РАН, 2018. — 214 с.: ил.

ISBN 978-5-9909872-8-9

Коллективная монография является результатом комплексных исследований палеоландшафта и условий обитания населения мезолита и неолита в бассейне Верхней Волги на примере известного озерного поселения Замостье 2 (Сергиево-Посадский р-н Московской области). Для реконструкции растительности и рельефа территории, окружавших стоянку в среднем и позднем голоцене, привлечены данные палинологических, палеоботанических и антракологических исследований, результаты метода геохимической индикации, а также археологические и исторические архивные источники.

Предназначена для специалистов археологов, историков, палеоботаников, специалистов смежных дисциплин и широкого круга читателей.

УДК902/904
ББК 20,1
63.4

*Для обложки использованы фотографии В.М. Лозовского и О.В. Лозовской:
река Дубна в районе стоянки Замостье 2, 1997; сосновая шишка из слоя мезолита, 2013*

ISBN: 978-5-9909872-8-9

© Коллектив авторов, 2018
© Лозовская, Лозовский, 2018
© ИИМК РАН, 2018

ОГЛАВЛЕНИЕ

CONTENTS

<i>О.В. Лозовская</i> Введение <i>Olga Lozovskaya</i> Introduction	7
ГЛАВА 1 <i>О.К. Борисова</i> Развитие растительности на верхневолжской низменности и прилегающих возвышенностях в голоцене: реконструкция по палеоботаническим данным <i>Olga Borisova</i> Vegetation development on the Upper Volga lowland and the adjacent uplands in the Holocene: reconstruction based on paleobotanical data	9
ГЛАВА 2 <i>Е.Г. Ершова, О.В. Лозовская</i> Природное окружение мезолитических и неолитических стоянок Замостье 2 по данным ботанического и спорово-пыльцевого анализа <i>Ekaterina Ershova, Olga Lozovskaya</i> Paleoenvironment of Mesolithic and Neolithic settlements at Zamostje 2 according to botanical and pollen analysis	31
ГЛАВА 3 <i>Marian Berihuete</i> First results of the archaeobotanical study of the Test pit 2 Profile column <i>М. Берихуэте</i> Первые результаты археоботанического изучения колонки из разреза шурфа 2	41
ГЛАВА 4 <i>А.Л. Александровский</i> Первые результаты определений породы деревьев по древесному углю из слоев мезолита. Замостье 2 <i>Alexandre Alexandrovskiy</i> The first results of the trees species determination on the charcoal from the Mesolithic layers. Zamostje 2	49
ГЛАВА 5 <i>М.А. Кулькова</i> Условия осадконакопления в раннем голоцене на стоянке Замостье 2 по данным радиоуглеродного и геохимического анализов <i>Marianna Kulkova</i> Process of sedimentation during Early-Middle Holocene on the Zamostje 2 site basing on the data of radiocarbon and geochemical analysis	54
ГЛАВА 6 <i>Charlotte Leduc, Louis Chaix</i> Animal exploitation during Mesolithic and Neolithic occupations at Zamostje 2 (Russia): preliminary results and perspectives of research <i>Ш. Ледюк, Л. Ше</i> Эксплуатация животных на мезолитических и неолитических поселениях в Замостье 2: предварительные результаты и перспективы исследования	62

ГЛАВА 7

*О.В. Лозовская, В.М. Лозовский (†)***Природная среда и условия обитания в позднем мезолите и неолите на поселении Замостье 2***Olga Lozovskaya, Vladimir Lozovski (†)***Environment and subsistence conditions in Late Mesolithic and Neolithic at site Zamostje 2** 73

ГЛАВА 8

*Н.А. Кренке, Е.Г. Ершова, А.А. Войцик, А.К. Каспаров, М.В. Лавриков, В.А. Раева***Археологическая разведка в нижнем течении р. Сулать****(к вопросу об изменении ландшафтов и истории хозяйственного освоения региона Заболотского озера в позднем голоцене)***Nikolay Krenke, Ekaterina Ershova, Andrey Voitsik, Alexey Kasparov, Mikhail Lavrikov, Vera Raeva***Archaeological reconnaissance at the mouth of Sulat' River****(the study of landscape dynamic and history of land-use within Zabolotskoe lake in late Holocene)** 166

ГЛАВА 9

*Б.В. Кудрявцев***Населенные пункты и прилегающая к ним местность в районе Заболотского озера и правобережья реки Дубны в XVI-XVIII веках: историческая справка***Boris Kudryavtsev***Settlements and adjacent areas in the region of the Zabolotskoye lake and right bank****of the Dubna River in XVI-XVIII centuries: historical reference**..... 185

ПРИЛОЖЕНИЕ 1

*Э.А. Крутоус***Палеоботаническое изучение и палеогеографические реконструкции стоянки «Замостье»***Eleonora Krutous***Paleobotanical studies and paleogeographic reconstructions of site Zamostje 2** 207**Список сокращений**..... 212**Об авторах**..... 213

ГЛАВА 7

ПРИРОДНАЯ СРЕДА И УСЛОВИЯ ОБИТАНИЯ В ПОЗДНЕМ МЕЗОЛИТЕ И НЕОЛИТЕ НА ПОСЕЛЕНИИ ЗАМОСТЬЕ 2

О.В. Лозовская, В.М. Лозовский (†)

ENVIRONMENT AND SUBSISTENCE CONDITIONS IN LATE MESOLITHIC AND NEOLITHIC AT SITE ZAMOSTJE 2

Olga Lozovskaya, Vladimir Lozovski (†)

Выбор места для поселения в древности всегда отражал представления древнего человека о наиболее благоприятном сочетании питьевых и пищевых ресурсов, близости стратегически важного сырья (древесины, камня, глины), уровня безопасности, возможностей передвижения и т. д. с учетом технических и производственных навыков, охотничьих привычек и определенных культурных традиций. Поэтому те поселения, на которых следы человеческой деятельности прослеживаются с интервалами на протяжении многих сотен лет, и даже тысячелетий, смело могут быть отнесены к наиболее благоприятным местам, где экологическая ниша оставалась удобной, несмотря на более или менее заметные колебания климата, изменения гидрологических условий и ландшафта. Известно немало таких мест в каменном веке Европы — мест скопления, «кустов» многослойных стоянок на ограниченной площади, наиболее известные из них Костенковско-Борщевский район (26 многослойных стоянок) на Среднем Дону (поздний палеолит) или озера Шален и Клерво (более 40 поселений) во Французской Юре (поздний неолит/бронза). В бассейне Верхней Волги группы стоянок Сахтыш I–XIV и Замостье 1–13 для периода мезолита — неолита также являются подобными примерами. Объяснение причин выбора именно этих территорий очень важно для понимания мотивации поведения древних людей и их исторических судеб.

Озерные (торфяниковые) поселения — это особая категория археологических памятников, постоянно находящихся во влажных обводненных условиях — во французском языке известные как *sites lacustres* или *au milieu humide*, в англоязычной литературе — *waterlogged* или *wetland sites*. Их преимуществом с точки зрения археологической науки является сохранность дерева и других

растительных материалов, важных для более полной реконструкции окружающего ландшафта. В то же время нельзя забывать о специфике формирования и сохранения этих культурных слоев, обеспечившей анаэробные условия в водной среде, которая в свою очередь часто оказывала свое агрессивное воздействие на состав и наличие вмещающих отложений (размыты, перемещения материалов).

Речь в данном случае пойдет о территории, на которой расположена стоянка Замостье 2 (рис. 1) — хорошо изученное озерное поселение мезолитических и неолитических охотников-рыболовов (Lozovski, 1996; Замостье 2..., 2013). Она расположена в пойме реки Дубна, которая течет по дну древней озерной котловины. По берегам современного русла, канализированного в процессе глобальной мелиорации конца 1920-х гг. (рис. 2) (Пришвин, 1929), на протяжении нескольких сот метров найдены семь стоянок (Замостье 1–6 и 13, рис. 3) с остатками материальной культуры позднего мезолита, раннего, среднего и позднего неолита. В нижнем течении ее притока реки Сулять открыты несколько пунктов скопления материалов более поздних эпох (Лозовский, Лозовская, 2013; Сидоров, 1997; см. глава 8). В том же микрорегионе, в других геологических условиях исследована стоянка среднего мезолита и эпохи бронзы Минуно 2 (Сорокин, 2011). Однако наиболее полная стратиграфическая колонка отложений первой половины Атлантического периода, и, следовательно, непрерывная запись смены культур и человеческих коллективов прослежена на стоянке Замостье 2.

Прежде чем сделать попытку реконструкции природной среды, окружавшей стоянку, кажется логичным оце-



Рис. 1. Расположение стоянки Замостье 2.

Fig. 1. Location of Zamostje 2 site.



Рис. 2. Плавающий экскаватор Марион на берегах Дубны, 1920-е гг. (фото <http://andreeva-anka.livejournal.com/614171.html>, 10 янв. 2014, скачан 29.08.2017)

Fig. 2. Floating Marion Power Shovel on the banks of the Dubna River, the 1920s. (photo <http://andreeva-anka.livejournal.com/614171.html>, Jan. 10th, 2014, downloaded Aug. 28th, 2017)

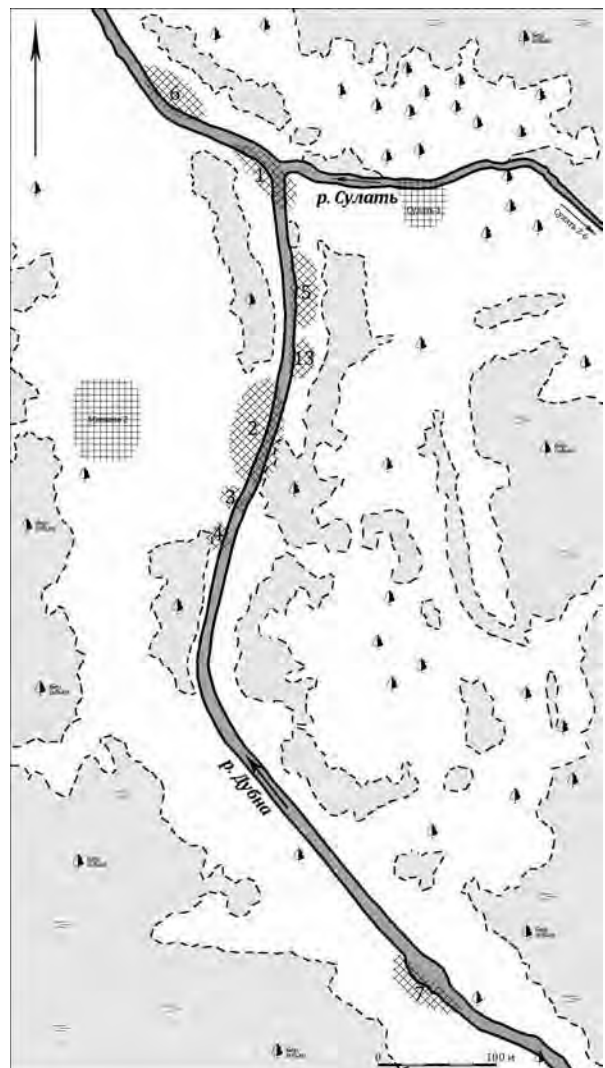


Рис. 3. Схема расположения археологических стоянок в пойме Дубны: Замостье 1–7, 13 (обозначены арабскими цифрами), Сулать 1 и Минино 2. В качестве топоосновы использована карта Google, 28.08.2017.

Fig. 3. Location of archaeological sites at the Dubna: Zamostje 1–7, 13 (Arabic numerals), Sulat 1 and Minino 2. Topographic base provided by Google Maps, 28.08.2017.



Рис. 4. Русло Дубны в районе стоянки Замостье 2, вид с севера. Стрелкой указано место будущего раскопа 1989 г. Фото Н. Чадаева, 6 июля 1989.

Fig. 4. Dubna channel near Zamostje 2, view from N. The arrow indicates the place for excavation in 1989. Photo by N. Chadaev, July 6, 1989.

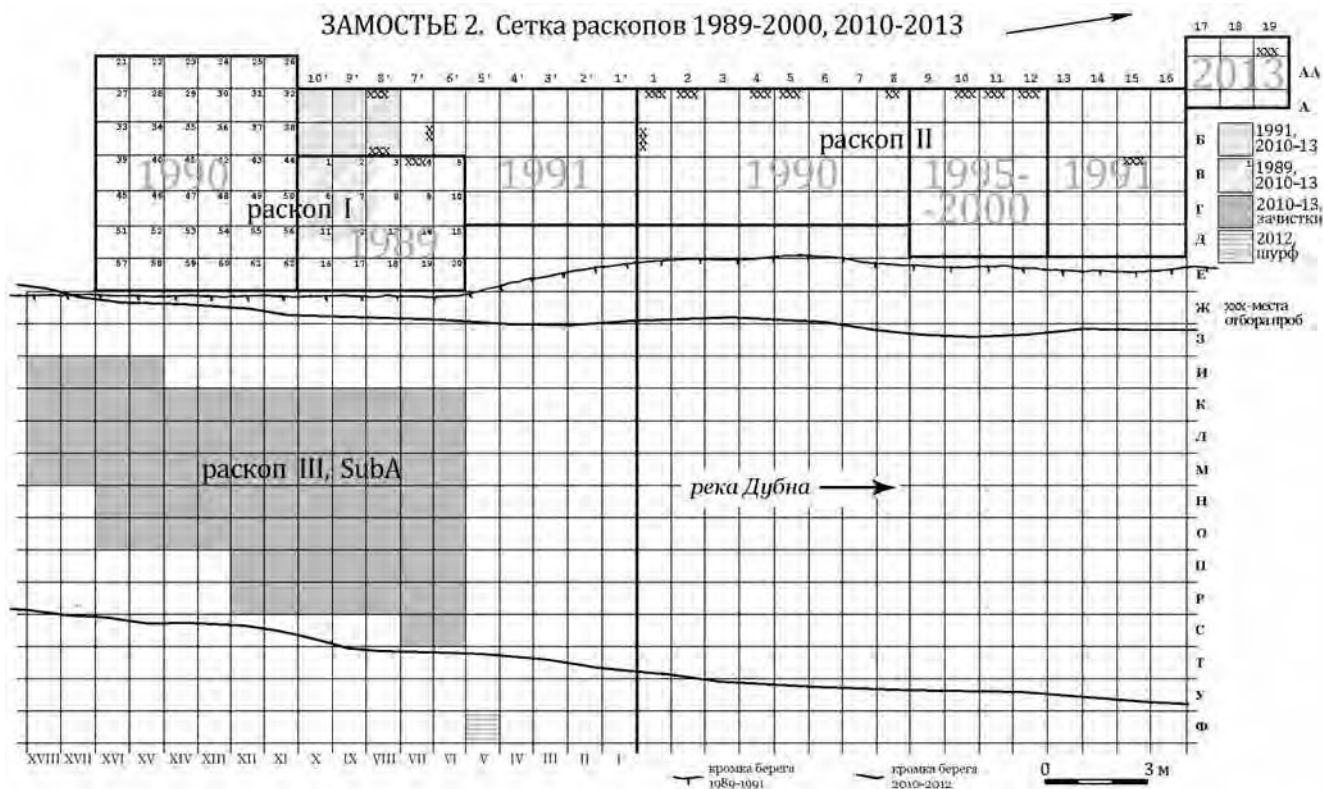


Рис. 5. Общая сетка раскопов стоянки Замостье 2.

Fig. 5. Excavation scheme of Zamostje 2.

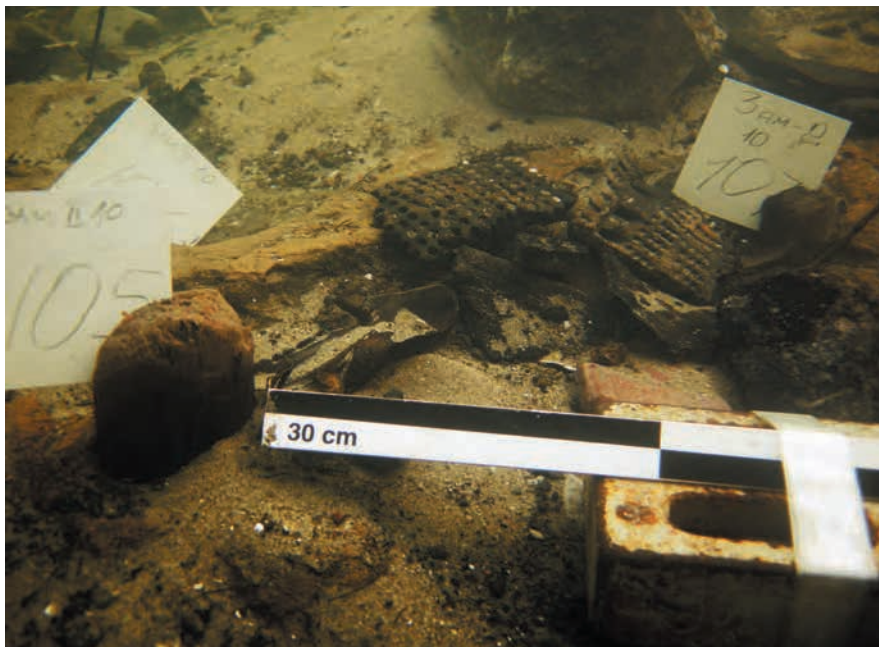


Рис. 6. Замостье 2. Фиксация артефактов в русле реки Дубна. Фото А. Мазуркевича, 2010 г.

Fig. 6. Zamostje 2. Underwater prospections in the Dubna River. Photo by A. Mazurkevich, 2010.

нить археологический контекст и проследить особенности стратиграфии на разных участках памятника, вовлеченных в палеоландшафтные исследования.

РАСКОП С ВЕРШАМИ, 1989 Г.

Многослойная стоянка Замостье 2 была открыта в 1989 г. в результате полевых работ отряда Подмосковной экспедиции ИА АН СССР под руководством В.М. Лозовского, открытый лист №X (Отчет об археологических исследованиях стоянок Замостьинской группы в 1989 г., Архив ИА РАН, № 15652). Первый раскоп площадью 20 кв. м был заложен на крутом склоне искусственного русла реки Дубна (рис. 4 и 5), рядом с местом скопления на дне многочисленного подъемно-

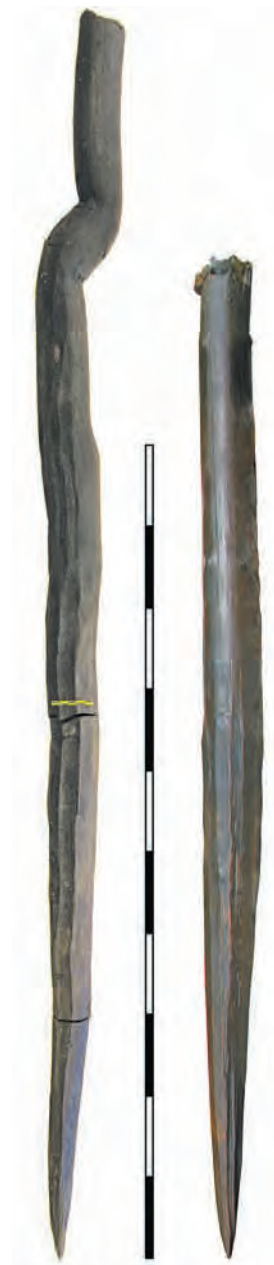


Рис. 7. Вертикальные колья № 11 и 24, 1989 г. Фото О. Лозовской, 2013 г.

Fig. 7. Vertical piles #11 and 24, 1989. Photo by O. Lozovskaya, 2013

го материала¹. На этом участке активные сборы перетолженного материала проводились и в последующие годы, а в начале 2010-х гг. здесь велись подводные разведки (рис. 6), когда было собрано и задокументировано почти 3500 артефактов.

¹ «площадь скопления подъемного материала — 50 м вдоль берега и 15–5 м шириной» (В.М. Лозовский, Отчет 1989 г., с. 28, рукопись). Всего собрано 30 фрагментов керамики протоволосово, 1272 поздней ягк, 1609 развитой ягк, 95 ранней льяловской, 608 ввк, 669 изделий из кремня, 4 чуринги, 168 изделий из кости — в основном находки скапливались в ямах и намывались в них после каждого сброса воды из резервуаров расположенной выше по течению Загорской ГАЭС. Также были зафиксированы верхушки вбитых в древности кольев; они «образовывали зону шириной 3 м от берега и длиной около 10 м» (там же, с. 51).

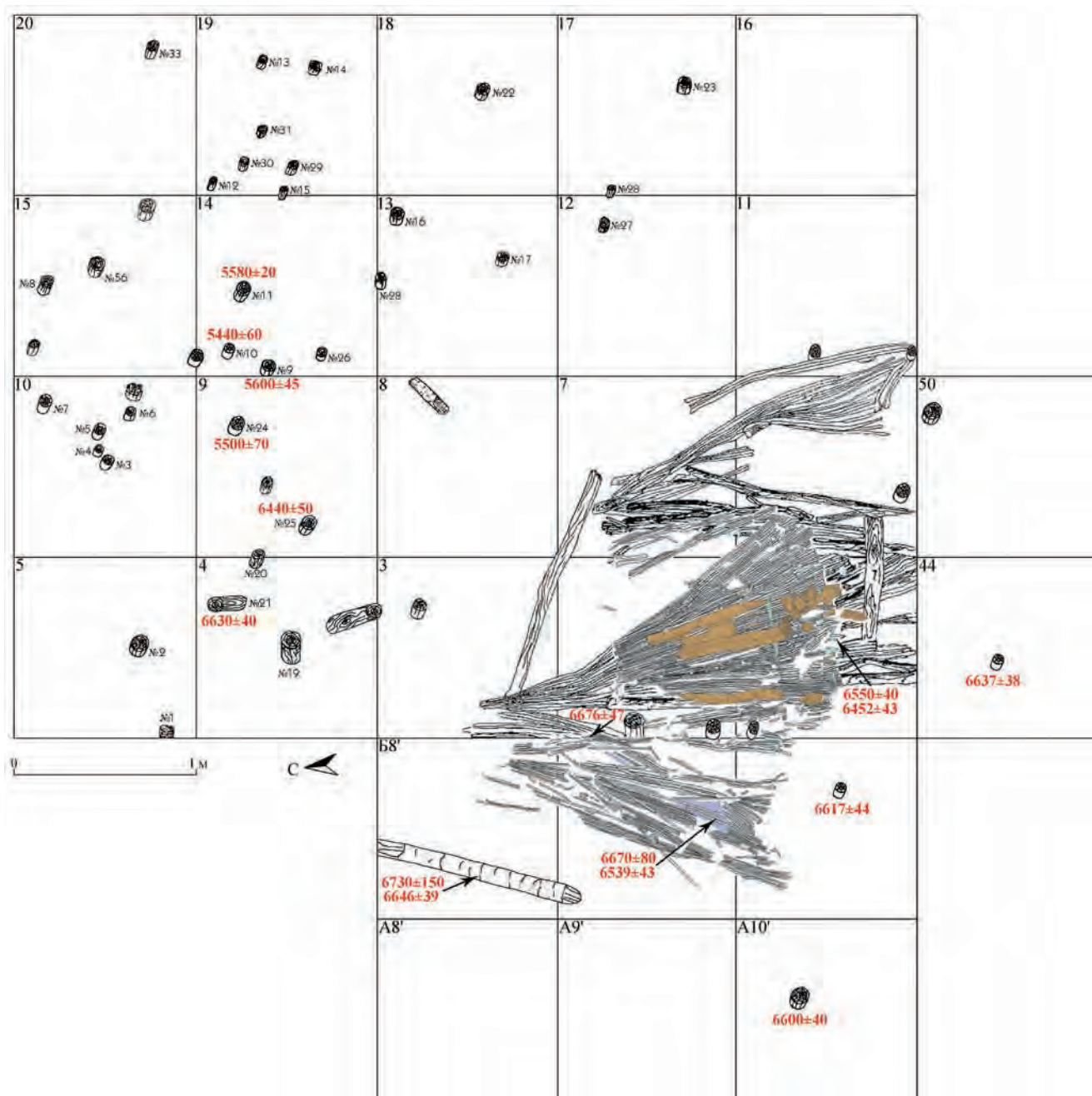


Рис. 8. Вертикально вбитые колья рядом с вершами. Нумерация кольев соответствует планам 1989 г. Исследования 1989 и 2010–13 гг.

Fig. 8. Zamostje 2, 2011–13. Vertical piles around the fish traps. Pile numeration according to 1989 excavation.

Первые результаты оказались впечатляющими. В раскопе на квадратах 1–3, 5–7 в основании слоя раннего неолита (слой 4) были найдены остатки двух рыболовных вершей из расщепленных лучин (Лозовский, 1997; Лозовский и др., 2013), которые были законсервированы на месте (перекрыты щитом из фанеры на деревянном каркасе, полиэтиленовой сеткой и засыпаны тонкозернистым песком), что ограничило площадь исследования и затрудняло понимание этого непростого с точки зрения стратиграфии участка стоянки. Были выявлены многочисленные ямы, затеки вышележащих слоев. Культурные слои были насыщены древесными остатками — обломками веток, плашками и щепой. На север и северо-восток от вершей было найдено 40 вертикально забитых кольев, верхушки которых фиксировались как выше уровня вершей, так и ниже — в 6 и 7 слоях (верхний мезолитический слой), и которые стали рассматриваться как часть закола в конструкции с вершами

(Лозовский, 1997). Колья были оставлены на месте, некоторые из них были найдены и извлечены в 2013 г. (рис. 7). Из них часть (№№ 21, 26) оказались синхронными вершам, другие (№№ 9, 10, 11, 24) показали более молодой возраст (рис. 8).

Приводим описание разреза западной стенки раскопа 1989 г. согласно Отчету 1989 г. (рукопись, с. 29–34), заметкам в полевом дневнике, анализу полевой документации, с небольшими уточнениями и дополнениями археологического характера. Глубина приводится от дневной поверхности, которая на 24 см ниже нулевого репера 1989 года¹ (рукопись, с. 34), северная граница кв. 5 (рис. 9).

¹ В качестве нулевого репера использован уровень дневной поверхности возле шиферной трубы диаметром 15–20 см, являвшейся частью мелиоративных сооружений; труба была вкопана в бровку берега рядом с раскопом. Впоследствии она исчезла и была найдена в русле реки лишь в 2010 г.

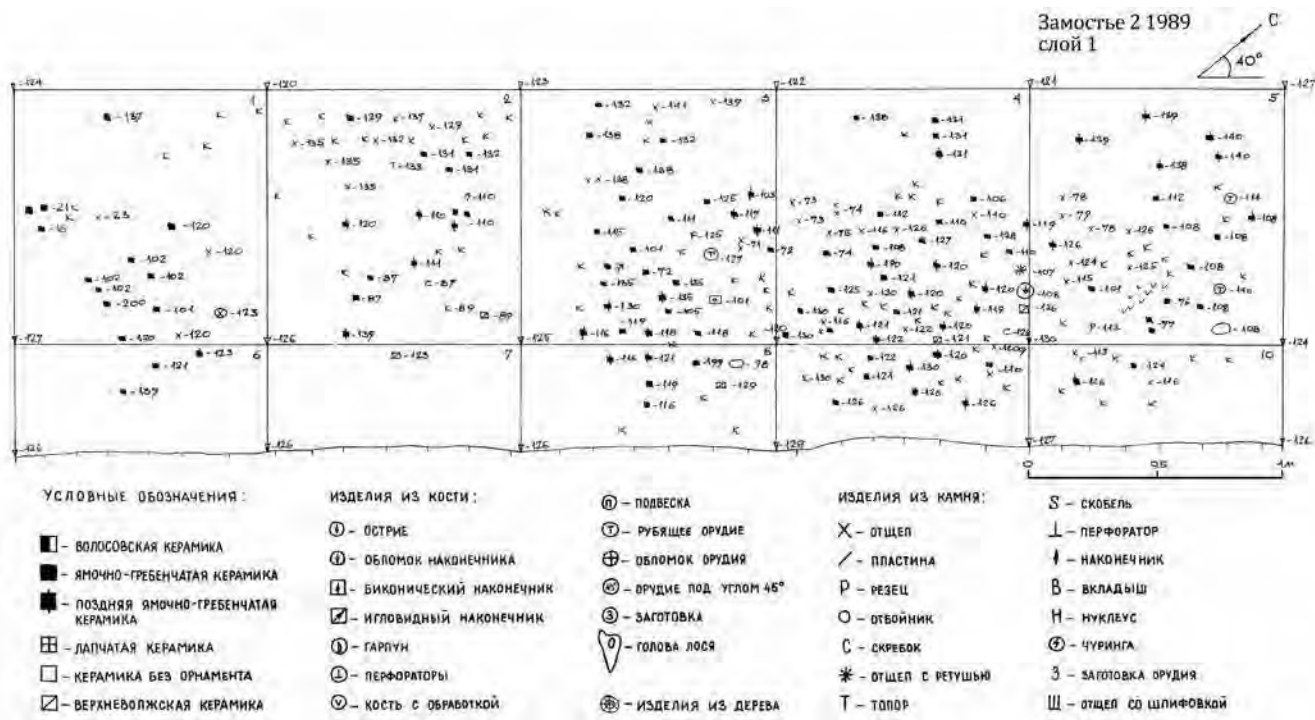


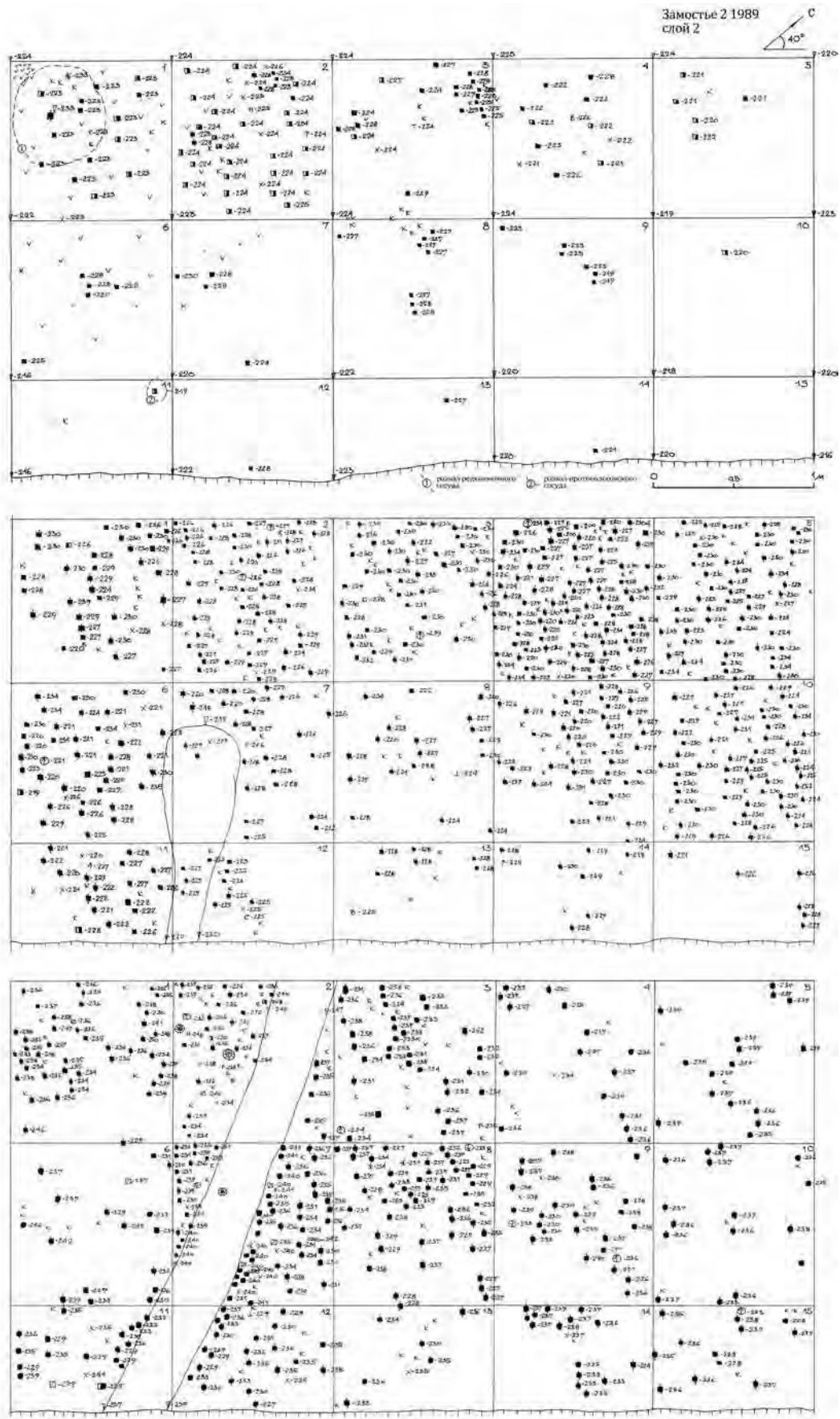
Рис. 10. Замостье 2, раскоп 1989 г. План находок слоя 1. Рисунок В. Лозовского, 1989.

Fig. 10. Zamostje 2, 1989. Artefacts distribution in layer 1. Fig. by V. Lozovski, 1989.



Рис. 11. Замостье 2, раскоп 1989 г. Поверхность слоя 2. Западная стенка. Фото В. Лозовского, 1989 г.

Fig. 11. Zamostje 2, 1989. Layer 2. Western stratigraphic section. Photo by V. Lozovski, 1989.



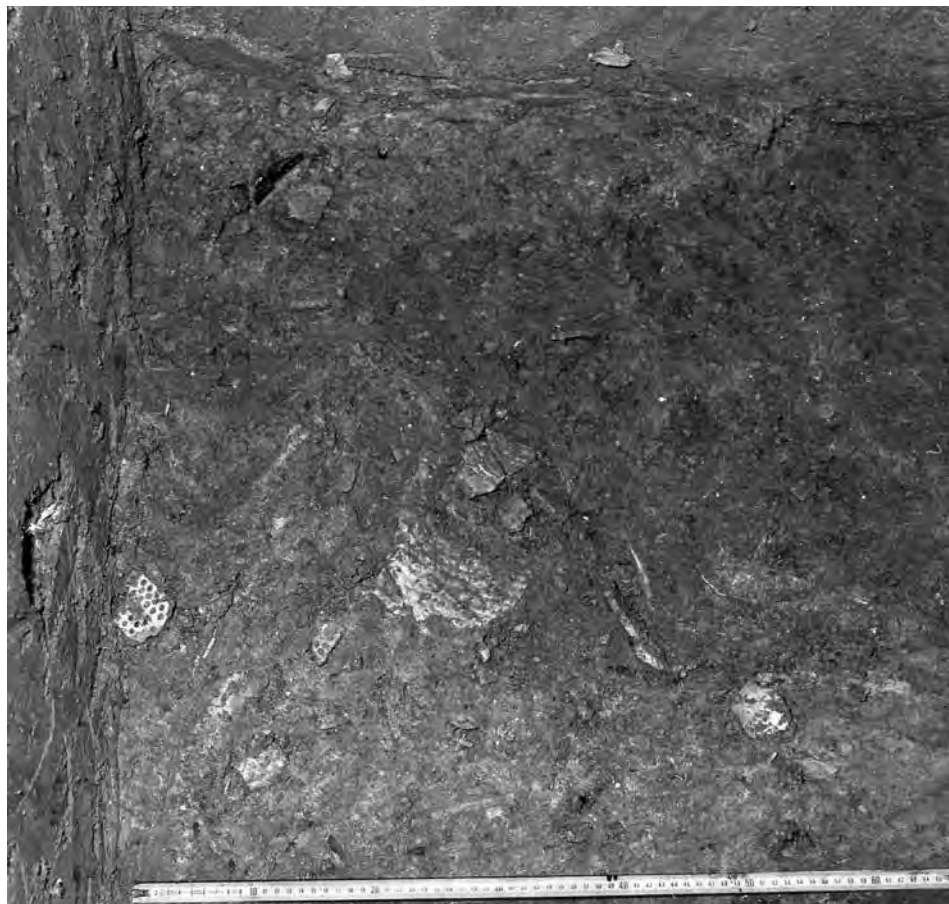


Рис. 13. Замостье 2, раскоп 1989 г. Слой 2, кв. 1, глубина -223. Развал редкоямочного сосуда, вид с востока. Фото В. Лозовского, 1989 г.

Fig. 13. Zamostje 2, 1989. Layer 2, sq. 1, depth -223. Remains of a Late Neolithic pot. Photo by V. Lozovski, 1989.

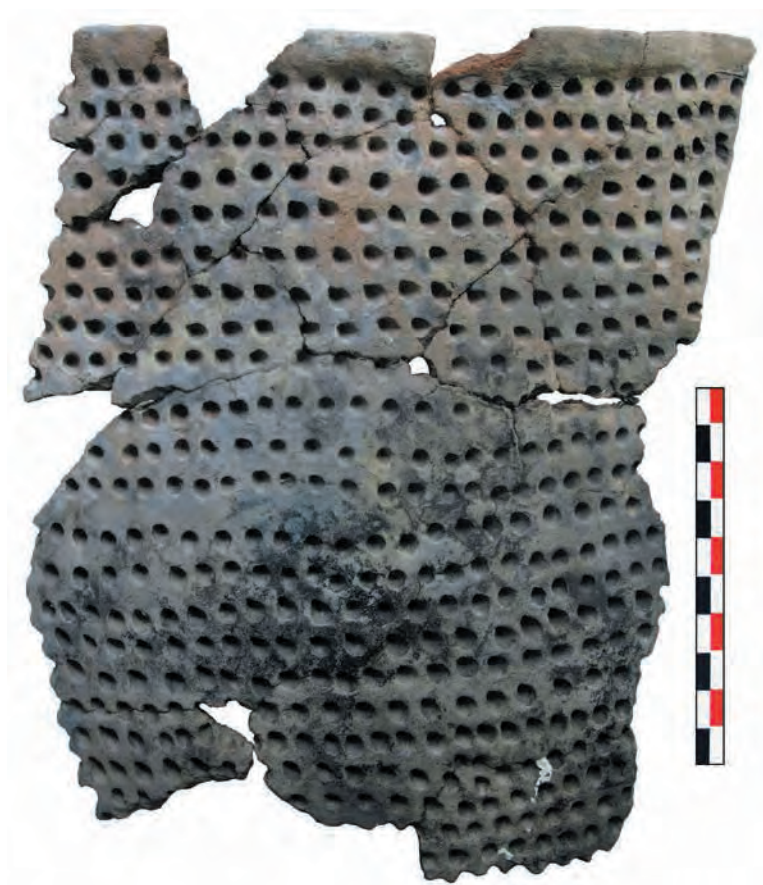


Рис. 14. Фрагмент редкоямочного сосуда, слой 2, кв. 1. СПМЗ, 1588 нвсп. Фото О. Лозовской, 2016.

Fig. 14. Fragment of a Late Neolithic pot, layer 2, sq. 1. Museum number: SPMZ, 1588 nvsp. Photo by O. Lozovskaya, 2016.



Рис. 15. Замостье 2, раскоп 1989 г. Слой 2, кв. 11, глубина -219. Развал протоволосовского сосуда, вид с северо-запада. Фото В. Лозовского, 1989 г.

Fig. 15. Zamostje 2, 1989. Layer 2, sq. 11, depth -219. Remains of a Protovolosovo pot. Photo by V. Lozovski, 1989.

0–0,05 м дерн

0,05–0,45 м — слоистая мелкозернистая супесь в северной части профиля (кв. 4–5), в южной части (кв. 1–3) ее мощность возрастает до 72 см.

0,45–1,25 м — горизонт перемешанных и выброшенных при очистке русла Дубны слоев в основном песчаного или супесчаного состава, местами в нем, а также на контакте с вышележащим слоем, фиксируются торфяные прослойки, также опесчаненные. Поскольку в русле реки были задеты культурные горизонты, слой содержит немногочисленные культурные остатки (слой 1) (рис. 10).

1,25–1,32 м — в профиле фиксируются, по всей видимости, остатки нарушенного торфяного пласта, перекрывающего в настоящее время пойму р. Дубна, который выглядит в виде разорванного, неправильной конфигурации, слоя (рис. 11). В южной части его мощность несколько больше — до 1,6 м от поверхности.

1,32–1,92 м — гомогенный пласт плотного сизого суглинка с ожелезнением по следам корней растений. Мощность слоя на северном участке больше (61 см), чем на южном (52 см). На кв. 2 отмечается западина этого слоя в нижележащий, глубиной 24 см и шириной 40 см.

1,92–2,02 м — прослойка коричневатого сизого, слабо оторфованного суглинка, мощность на всем протяжении

10 см. Представляет собой контактный горизонт сизого суглинка с нижележащим слоем сапропеля (рис. 11). Здесь впервые стали появляться находки в не переотложенном в наши дни состоянии (слой 2).

✧ Среди керамики (рис. 12) заметно преобладает поздняя льяловская (302 фр.), на кв. 1 найден развал редкочечного сосуда (1588 нвсп) (рис. 13 и 14). Присутствует также керамика развитого этапа льяловской культуры (165 фр.), единично в верхней части слоя представлены протоволосовские (39, скопление на кв. 11, рис. 15) черепки, ниже — раннельяловские (14) и верхневолжские (20).

2,02–2,23 м — слой черно-коричневого сильно оторфованного слабо опесчаненного сапропеля, насыщен органическими остатками. В северной части мощность слоя несколько больше, чем в южной. Разрыв на кв. 2, трещина заплыв на кв. 3 и 4 длиной 1,5 м (слой 3).

✧ Культурные остатки немногочисленны (рис. 16), в основном развитая ямочно-гребенчатая (170 фр.) и поздняя ямочно-гребенчатая керамика (120 фр.), в верхней части слоя отмечается вертикальное расположение фрагментов.

2,23–2,67 м — горизонт темно-серого достаточно гомогенного сапропеля с хорошо разложившимися раститель-

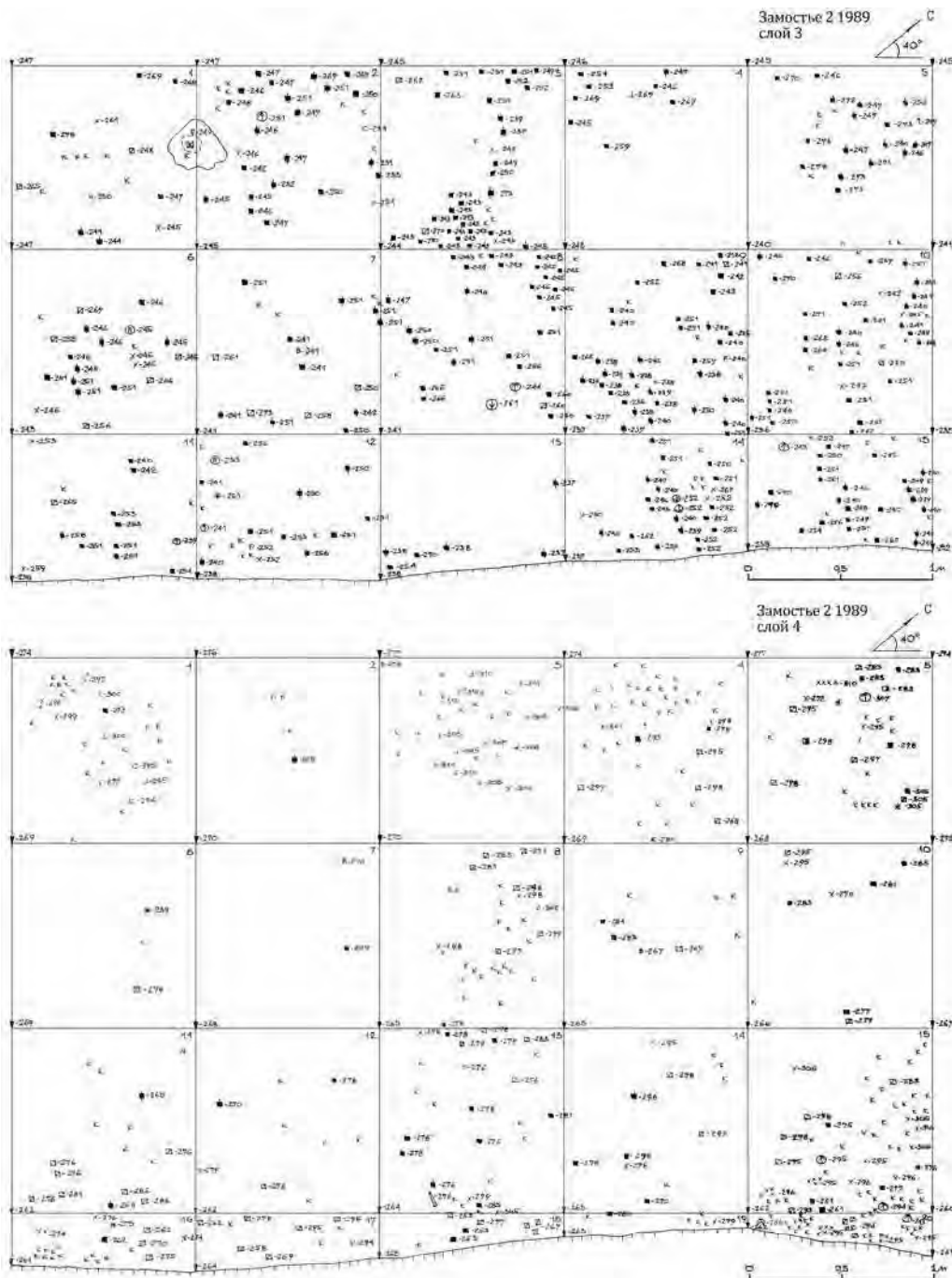


Рис. 16. Замостье 2, раскоп 1989 г. План находок слоя 3 (сверху) и 4 (снизу). Условные обозначения см. рис. 10. Рисунок В. Лозовского, 1989.

Fig. 16. Zamostje 2, 1989. Artefacts distribution in layer 3 (above) and 4 (below). See the legend on fig. 10. Fig. by V. Lozovski, 1989.

ными остатками, сильно опесчаненный (рис. 17). Мощность слоя колеблется от 18 см в южной части до 45 см в северной (слой 4).

✧ Слой беден находками (рис. 16). Преобладает верхневолжская керамика (46 фр.), большинство украшено накольчатым орнаментом и оттисками в стиле отступающей лопаточки; льяловская (38 и 7 фр.) связана с заполнением ям и трещин-запылов вышележащего слоя, аналогичных отмеченным в разрезе. В нижней части слоя (кв. 3–4, 9–10, 14–15) достаточно четко проявилась система колея (10 экз.) (рис. 18

и 19). В основании слоя найдены верши (их узкие приподнятые концы на кв. 2 и 3, рис. 18), которые налегали на прослойку коричневого сапропеля с ракушкой; устье ловушек (кв. 1 и 6) расчищено в нижележащих культурных слоях 5 и 6 (рис. 19); рядом и внутри вершей были обнаружены целые скелеты рыб с сохранившейся чешуей размером 12–17 см.

2,67–2,77 м — слой коричневого сапропеля с примесью ракушки; в нижней части почти целиком состояла из ракушечника. На границе с нижележащим слоем прослеживается тонкая прослойка рыбьей чешуи на кв. 11, 13, 18–19



Рис. 17. Замостье 2, раскоп 1989 г. Западная стенка до уровня слоя 4. Видны верхушки вершей и несколько кольев закола. Фото В. Лозовского, 1989 г.

Fig. 17. Zamostje 2, 1989. Western section down to layer 4. Upper part of fish traps and wooden piles are visible. Photo by V. Lozovski, 1989.

(на глубине -323–330 см от «0») (рис. 21). Мощность слоя различная: на кв. 5 она составляет 10 см, потом слой почти исчезает на 75 см и вновь появляется на кв. 1 в виде двух прослоек — верхней мощностью 16 см и нижней, вклиненной в нижележащий слой (5 см). На кв. 2 и частично 1 и 3 установить наличие слоя невозможно из-за законсервированных вершей (слой 5).

✧ На кв. 12 зафиксирована яма подовальной формы глубиной ок. 15 см (рис. 21 и 22), заполнена дрсевой, костью (в т. ч. горелой) и кремнем. Единичные фрагменты керамики (17 ягк и 16 ввк) найдены вдоль северной стенки раскопа и связаны с заплывами из низа льяловского слоя. Выразительную группу находок составляют костяные изделия в целом мезолитического облика (зубчатые остроги, ножи и кинжалы с орнаментом, клевец в виде головы лося и др.), а также 2 чуринги с орнаментом.

2,77–3,0 м — слой сапропеля, при свежем разрезе — оливкового, который быстро окисляется на воздухе и приобретает серо-металлический цвет; в большей степени насыщен растительными и древесными остатками; на кв. 5 примерно в средней части слоя отмечается горизонт погребенной древесины — щепы, веток, бревен; на кв. 8–10 и 13–15 — скопления щепы нерегулярных очертаний (рис. 19).

Мощность слоя различна. В углу на кв. 5 она составляет 25 см, но также фиксируется яма в нижележащий слой диаметром около 25 см и глубиной 18 см. В южной части мощность уменьшается до 7 см (слой 6).

✧ В этом слое достаточно четко проявилась зона кольев, простирающаяся по диагонали раскопа в направлении СЗ-ЮВ (всего 23 экз.). Обломки крупных бревен и веток расположены в том же направлении широкой полосой ближе к вершам, пространство между ними заполнено щепой. На кв. 3 и 8 в линию расположены 8 галек диаметром 4–10 см (рис. 19 и 24), а также группа деревянных брусков кубических очертаний. Как и в вышележащем слое, вдоль северной стенки найдено 30 фрагментов керамики (15 ввк и 15 ягк). Артефакты распределены неравномерно: скопления на кв. 9–10, 15 (рис. 25). Число находок из кремня (215) и кости (47) и их типологический состав идентичны предыдущему слою, также найдено 4 чуринги.

3,0–3,1 м — ракушечник с высокой степенью насыщенности древесными и костными остатками. Его мощность и положение в разрезе также неравномерно. С северной стороны она составляет около 10 см; далее слой плавно углубляется, как бы охватывая с двух сто-

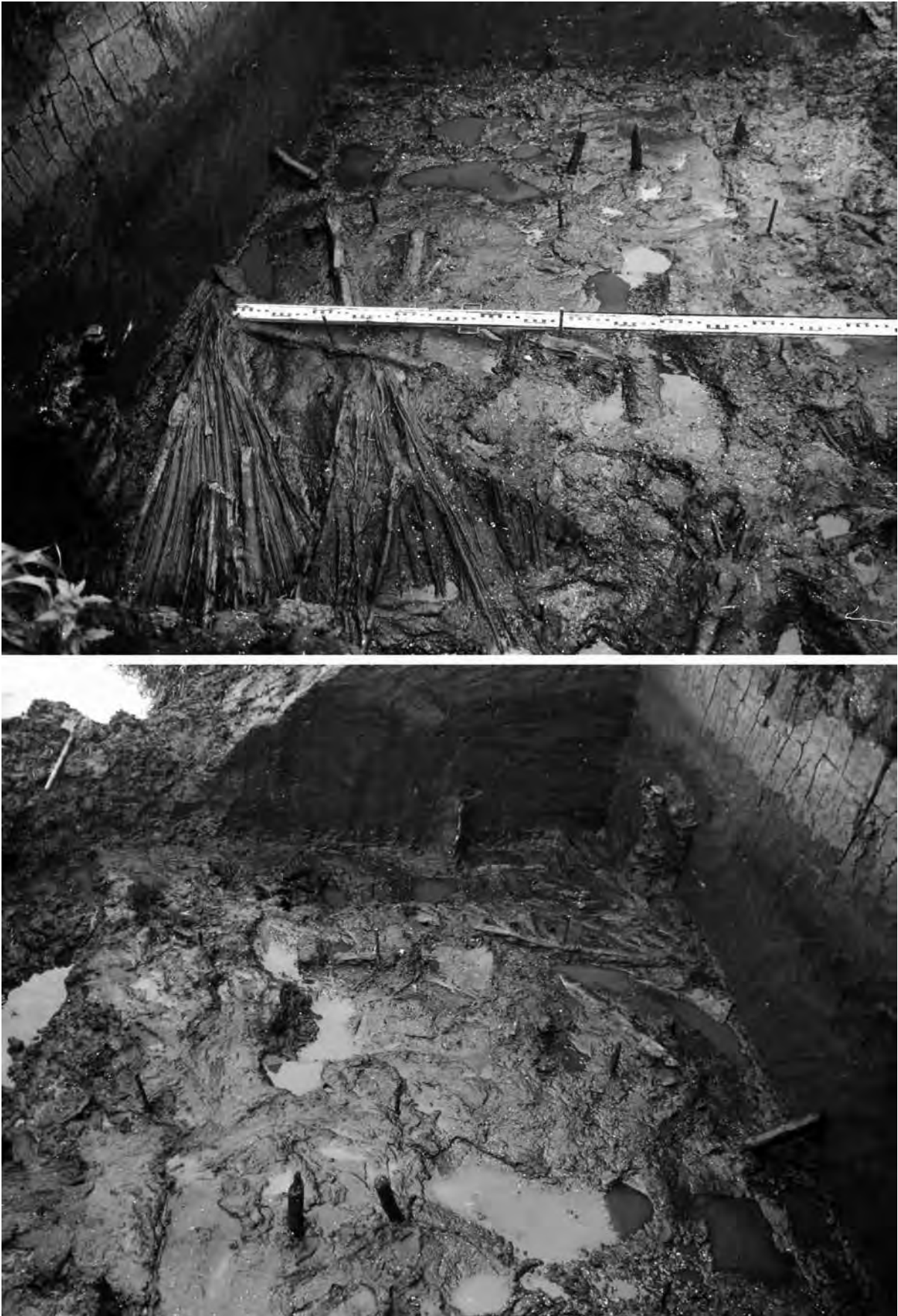


Рис. 18. Замостье 2, раскоп 1989 г., слой 4. Верши из расщепленных лучин и вертикально вбитые колья. Вид с юга (сверху) и с севера (снизу). Фото В. Лозовского, 1989 г.

Fig. 18. Zamostje 2, 1989, layer 4. Fish traps made of split splinters and vertically driven piles. View from S (above) and N (below). Photo by V. Lozovski, 1989.

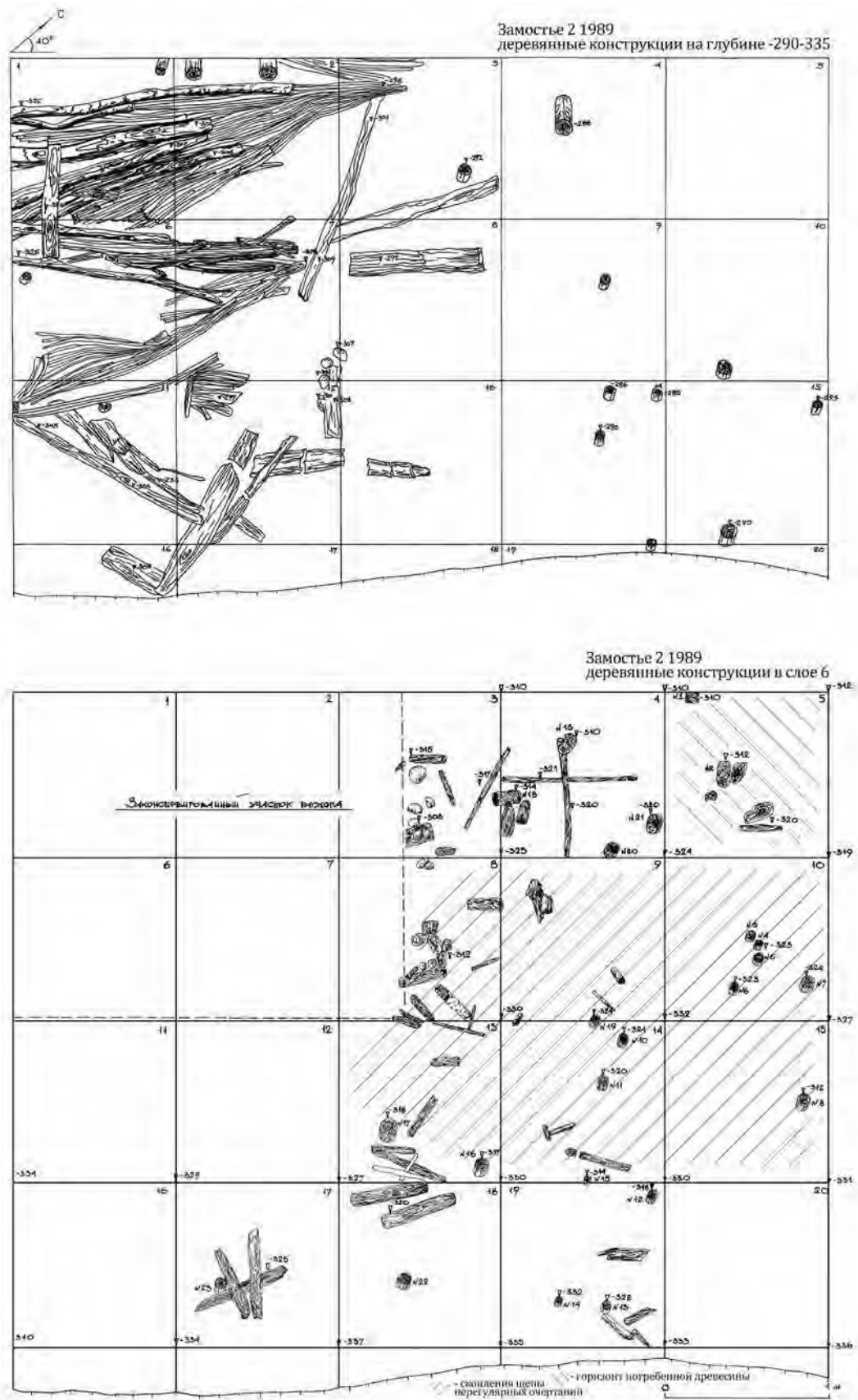


Рис. 19. Замостье 2, раскоп 1989 г. План деревянных конструкций слоев 4 и 5 (сверху) и 6 (снизу). Рисунок В. Лозовского, 1989.

Fig. 19. Zamostje 2, 1989. Wooden constructions in layer 4, 5 (above) and 6 (below). Fig. by V. Lozovski, 1989.

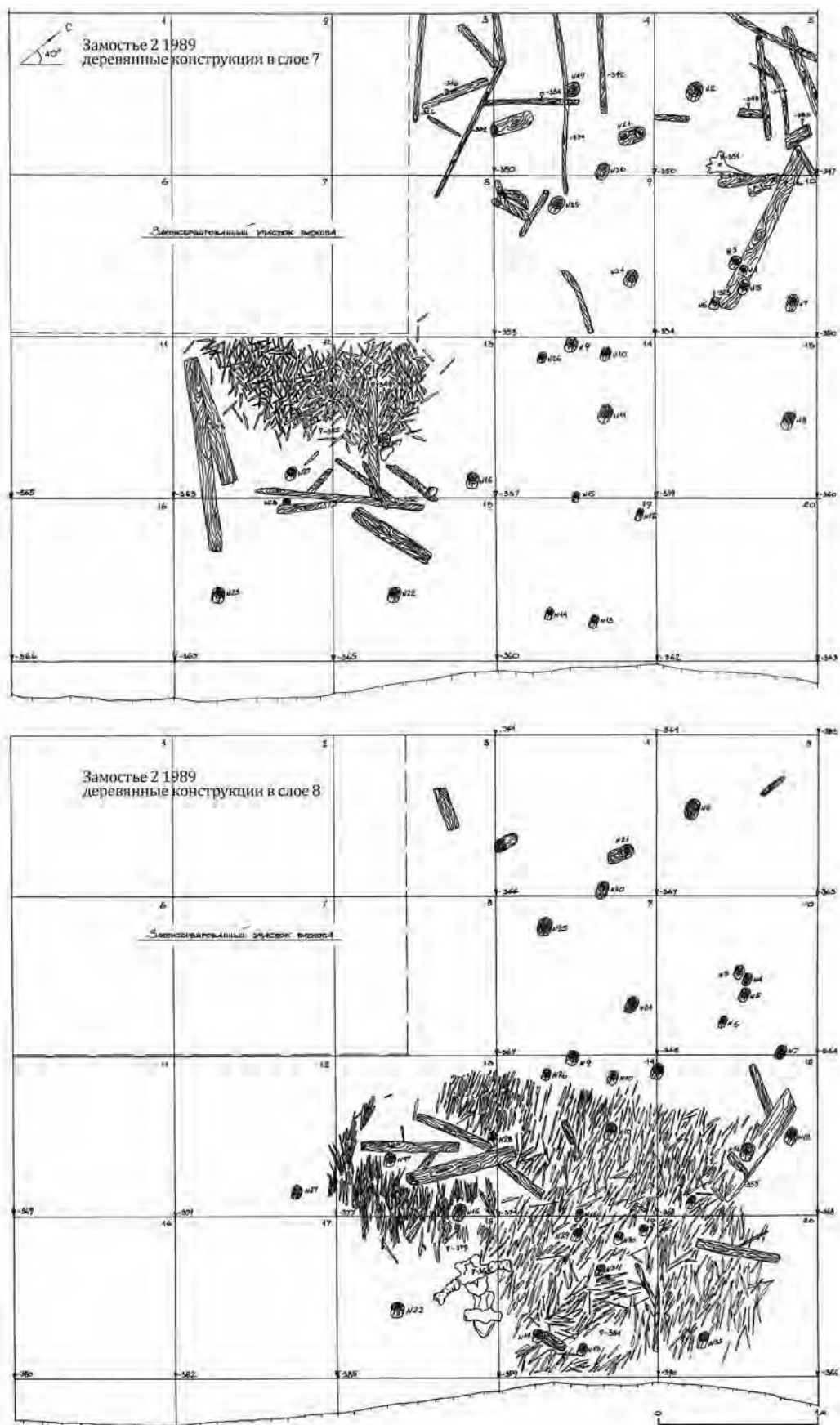


Рис. 20. Замостье 2, раскоп 1989 г. План деревянных конструкций слоев 7 (сверху) и 8 (снизу). Рисунок В. Лозовского, 1989.

Fig. 20. Zamostje 2, 1989. Wooden constructions in layer 7 (above) and 8 (below). Fig. by V. Lozovski, 1989.

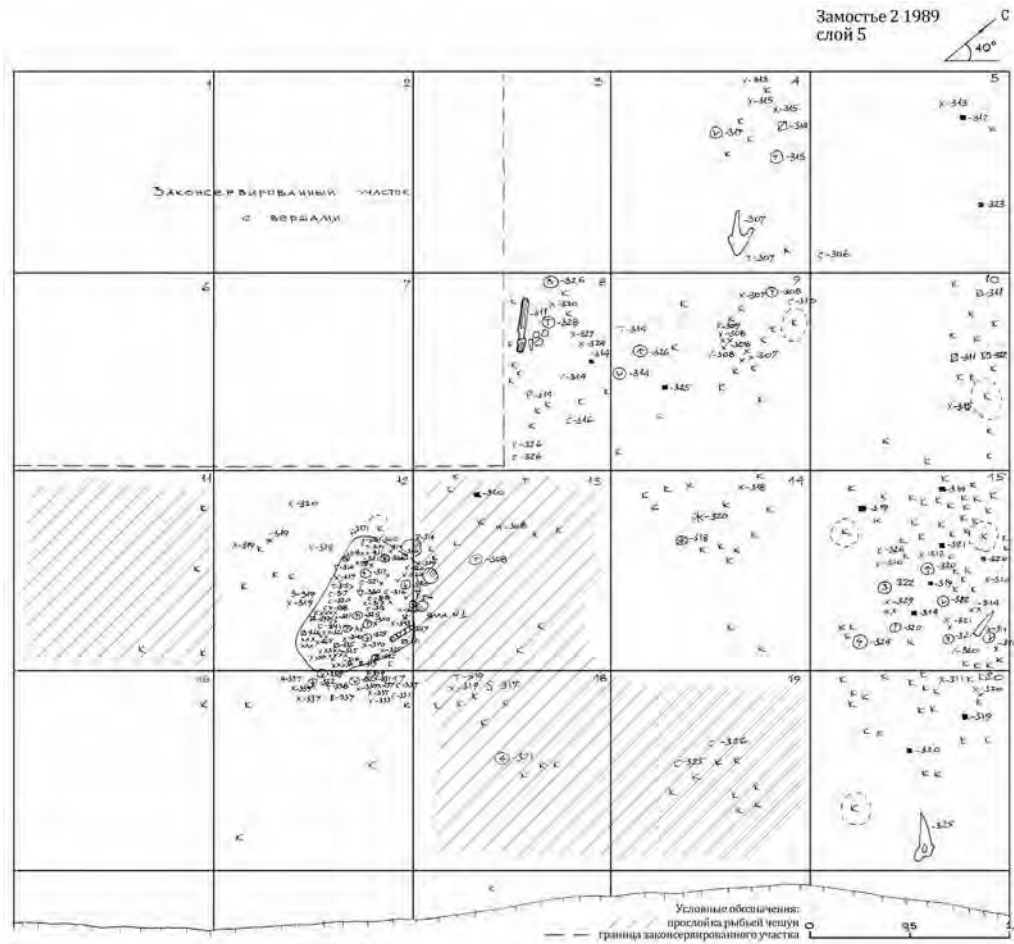


Рис. 21. Замостье 2, раскоп 1989 г. План находок слоя 5. Условные обозначения см. рис. 10. Рисунок В. Лозовского, 1989.

Fig. 21. Zamostje 2, 1989. Artefacts distribution in layer 5. See the legend on fig. 10. Fig. by V. Lozovski, 1989.

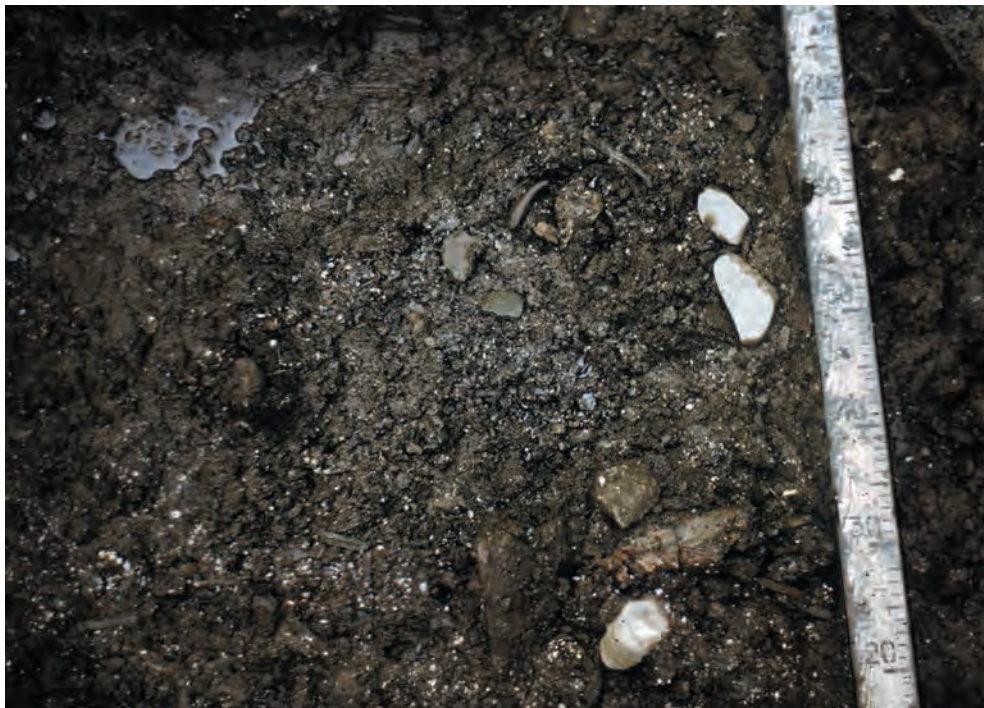


Рис. 22. Замостье 2, раскоп 1989 г., слой 5. Контуры ямы на кв. 12, на глубине -317, вид с В. Видны верхушка вертикального кола и гальки по периметру ямы. Фото В. Лозовского, 1989 г.

Fig. 22. Zamostje 2, 1989, layer 5. Pit contour in sq. 12, depth -317, view from E. The top of a vertical pile and pebbles are visible on the pit perimeter. Photo by V. Lozovski, 1989.



Рис. 23. Замостье 2, раскоп 1989 г. Процесс раскопок слоя 5. Фото В. Лозовского, 1989 г.

Fig. 23. Zamostje 2, 1989. Excavation of layer 5. Photo by V. Lozovski, 1989.

рон яму из верхнего слоя, при этом размеры последней увеличиваются до 35 см, а мощность слоя возрастает до 30 см. На кв. 3 и 4 толщина слоя резко уменьшается — до 7–4 см (слой 7).

✧ На кв. 3–5 и 10 расчищено скопление крупных бревен и веток (рис. 20 и 27), на кв. 10 кольца (№№ 3–5), выявленные в слое 4, пробивают бревно (рис. 28). Найдено 5 новых колеьев в той же зоне. На кв. 12 и 13 хаотичное скопление щепы обложено бревнами и плахами. Насыщенность находок резко снизилась (кремь 130, кость 43, 1 чуринга). Небольшие скопления на кв. 10, 11 и 15 (рис. 26).

3,1–3,17 м — прослойка черного сапропеля с вкраплениями ракушки, также в большой степени насыщена растительными и древесными остатками. На кв. 5 она имеет мощность всего 7 см, затем прерывается западиной, и вновь возникает в виде мощного слоя 25 см (слой 8).

✧ На кв. 13–15 и 18–20 обследовано скопление щепы мощностью до 5–8 см (рис. 20 и 29), щепы залегала хаотично, но на небольшом участке 60x40 см лучины шли параллельными рядами (кв. 14, 19) (Дневник, 1989); отмечался уклон 20° в сторону реки. Колья из верхних слоев пробивали и скопление, и залегавшие там бревна (кв. 15). На кв. 17 найдены черепа двух лосей — один над другим (рис. 20). Находок немного: преобладают фаунистические остатки, артефакты включают 92 изделия из камня и 15 из кости (рис. 30).

3,17 м и глубже — начато исследование следующего слоя — серовато-коричневого сапропеля, равномерно насыщенного ракушкой, с большим количеством дре-

весных и растительных остатков. На глубине 3,3 м (со стороны реки 3,7 м) поверхность была законсервирована (слой 9).

✧ Помимо фаунистических остатков найдено 10 предметов из камня и 2 из кости (рис. 30).

Несмотря на многочисленные трудности (раскопки заканчивались в начале октября, неоднократные затопления раскопа из-за сбросов воды на расположенной выше по течению Загорской ГАЭС), удалось провести первые естественнонаучные исследования. На западной стенке раскопа, кв. 4, Е.А. Спиридоновой были отобраны образцы для спорово-пыльцевого анализа (рис. 5), разрез был изучен Ю.А. Лаврушиным. В лаборатории ГИН РАН Л.Д. Сулержицкий сделал первые радиоуглеродные даты, которые показали разный возраст отложений с культурными слоями — от начала VII тыс. cal BC (поздний мезолит) до середины V тыс. cal BC (средний неолит). Следует отметить, что 4 даты привязаны к палинологическим образцам (№№ 3, 4, 7, 11) (рис. 31). Одна дата получена для торфа, взятого среди упомянутого выше развала редкочеремного горшка на кв. 1 (слой 2) (рис. 14). Последняя получена по дереву, найденному на кв. 5 на глубине –3,5 м (?) (табл. 1).

Отбор образцов на пыльцу проводился по центру кв. 4, и сразу необходимо отметить отсутствие на этом участке слоя 5 (рис. 9), который соответствует верхнему, обычно самому насыщенному, горизонту верхнего мезолитического слоя (ВМ). Слои 6 и 7 здесь также маломощны. Это объясняет отсутствие соответствующих дат в первой серии образцов и наличие перерывов в пыльцевой колонке (рис. 31) (Алешинская и др., 2001: рис. 1).

Таким образом, важными особенностями осадконакопления на этом участке, которые нашли отражение в за-

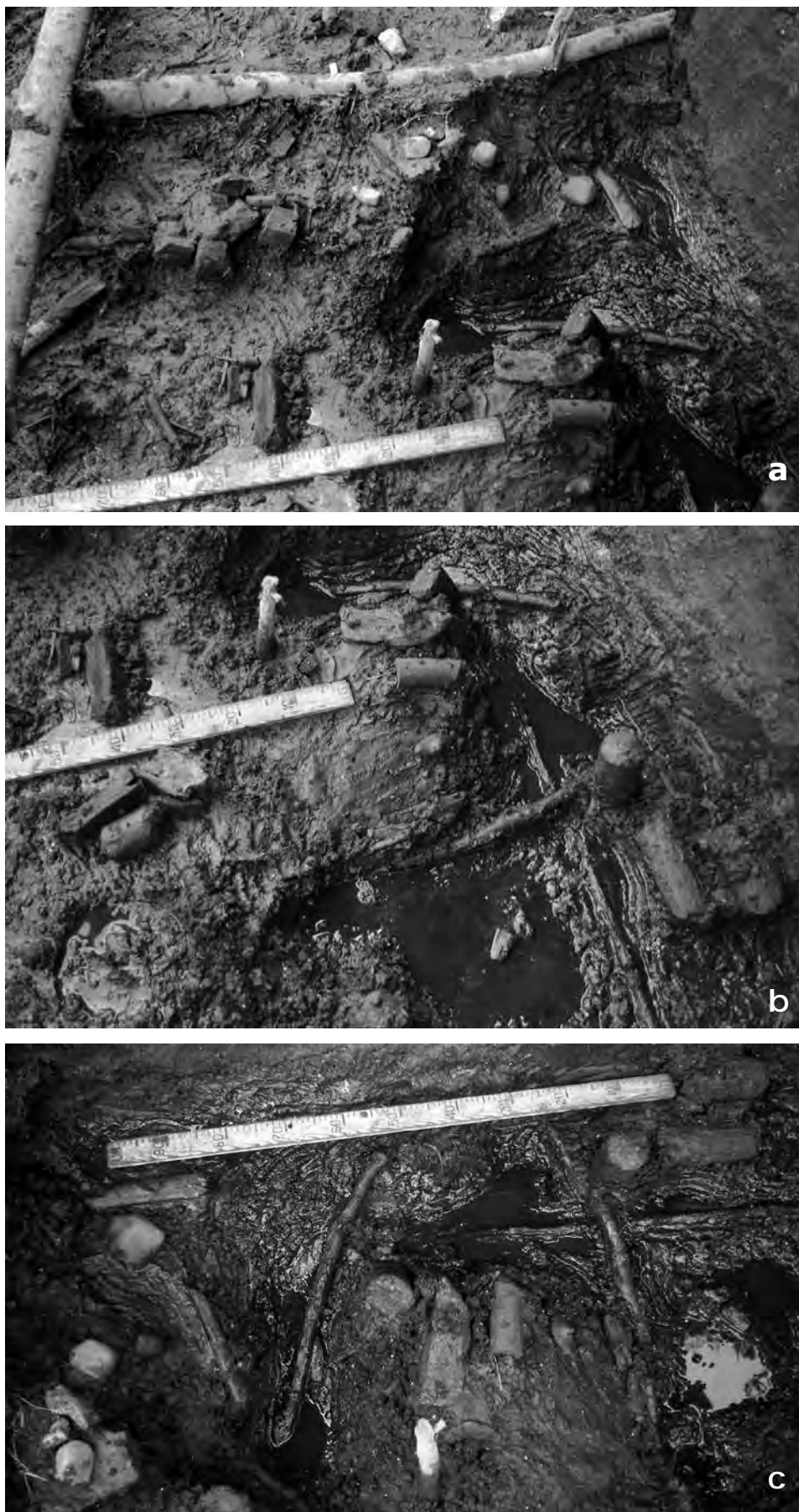


Рис. 24. Замостье 2, раскоп 1989 г., слой 6. Скопление галек, вертикальные колья и фрагменты веток на кв. 3 и 8 (а); на кв. 4 и 9 (b); на кв. 3 и 4 (с), вид с СВ и В (с). Фото В. Лозовского, 1989 г.

Fig. 24. Zamostje 2, 1989, layer 6. Pebbles, vertical piles and fragments of branches in sq. 3 and 8 (a); in sq. 4 and 9 (b); in sq. 3 and 4 (c), view from NE and E (c). Photo by V. Lozovski, 1989.

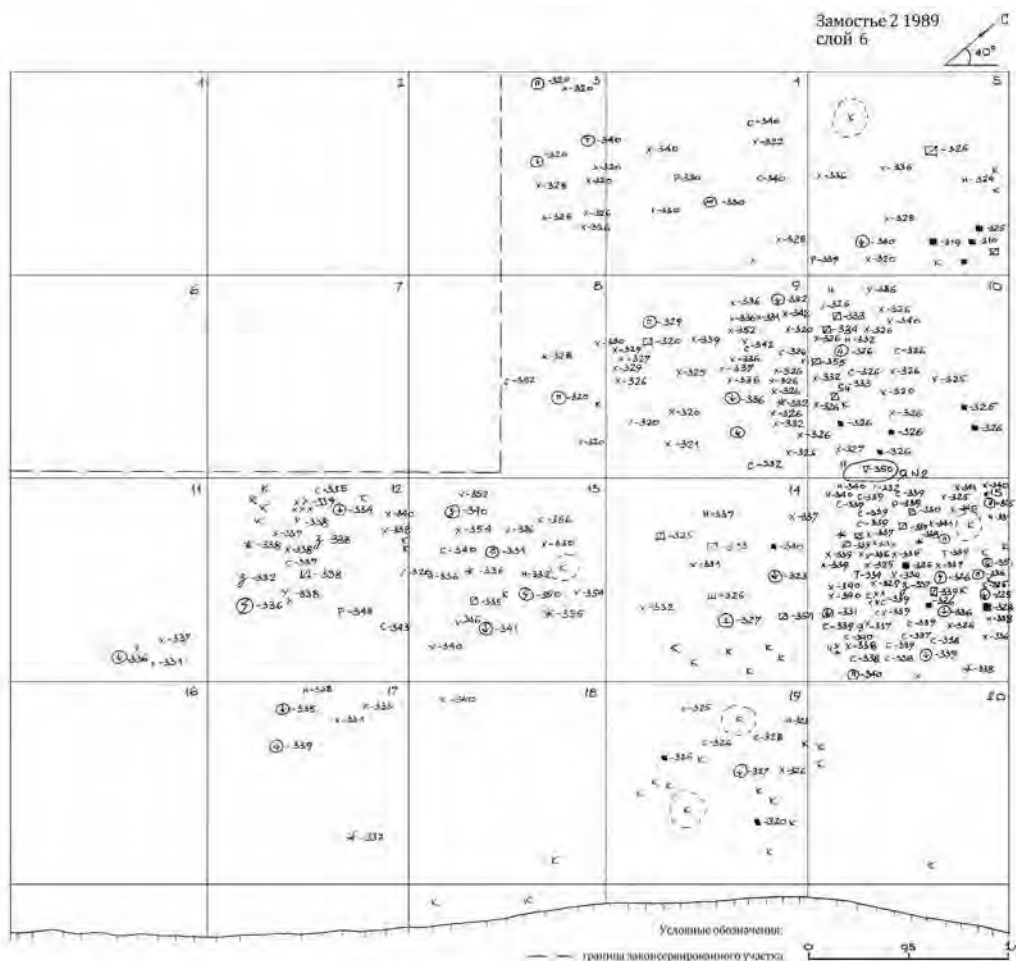


Рис. 25. Замостье 2, раскоп 1989 г. План находок слоя 6. Условные обозначения см. рис. 10. Рисунок В. Лозовского, 1989.

Fig. 25. Zamostje 2, 1989. Artefacts distribution in layer 6. See the legend on fig. 10. Fig. by V. Lozovski, 1989.

падном, а также южном и северном разрезах, являются: 1) разрывы в простирации слоя VM, в также его резкое поднятие в юго-западном углу раскопа — аналогичная ситуация будет прослежена в раскопе 2010–2013 гг.; 2) очень беспокойные условия седиментации, выразившиеся в размывах, разрывах литологических слоев, затеках, ямах и трещинах, которые проявляются по всему разрезу во всех горизонтах. Это может быть связано, по нашему мнению, с активностью и изменчивостью временных или постоянных водных потоков, а также с антропогенным фактором. Так, появление фрагментов керамики в мезолитических слоях вдоль северной стенки раскопа совпадает с концентрацией вбитых на большую глубину кольев неолитического времени; в процессе обустройства и использования этой рыболовной зоны могло происходить перемещение материала. В этой связи можно вспомнить недавние раскопки в Родбюфавн (Лолланд, Дания), где обнаружили в песке отпечатки ног людей, которые ремонтировали рыболовные заслоны¹. 3) Рыболовные ловушки располагались в прибрежной зоне водоема *in situ*, судя по сохранности конструкции

(по крайней мере, западной верши), остаткам связанных с ними деревянных заграждений и отсутствию вырванного археологического слоя ранне-неолитического поселения. 4) Верхние культурные слои (2 и 3), несмотря на несомненные их нарушения, связанные с вымыванием части седимента и «переотложением артефактов на месте», в основном включают материальную культуру среднего неолита — верхний преимущественно позднего этапа льяловской культуры, нижний — развитого этапа. Развал сосуда в слое 2 является дополнительным аргументом в пользу ненарушенности общей последовательности отложений. Тем не менее, анализ костяного и кремневого инвентаря из этих слоев не является простым делом (Лозовская, Лозовский, 2015а).

Все слои, начиная с пятого, могут быть с уверенностью отнесены к позднему мезолиту. Редкие находки керамики, как раннего, так и среднего неолита, носят случайный характер и имеют строгие локальные ограничения (вдоль северной стенки раскопа и в яме 1, т. е. в зоне активной хозяйственной деятельности, связанной с заколом). Важным, на наш взгляд, является заметная неравномерность в распределении находок в самих мезолитических слоях. Небольшие скопления, в т. ч. в небольших ямах, перемежаются с почти полностью пустыми квадратами.

¹ Авторы благодарят музей Museum Lolland-Falster, а также StoneAgeBogs группу, за возможность ознакомиться на месте с уникальными находками рыболовных сооружений в марте 2015 г.

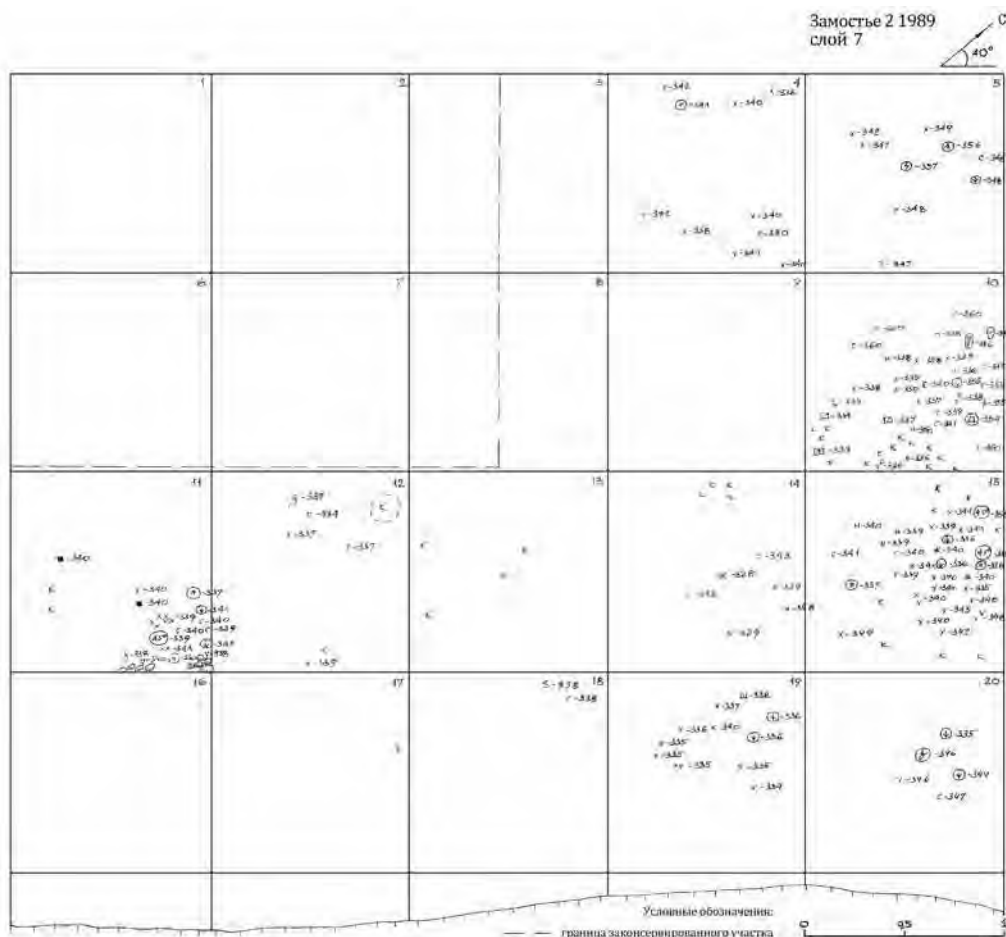


Рис. 26. Замостье 2, раскоп 1989 г. План находок слоя 7. Условные обозначения см. рис. 10. Рисунок В. Лозовского, 1989.

Fig. 26. Zamostje 2, 1989. Artefacts distribution of layer 7. See the legend on fig. 10. Fig. by V. Lozovski, 1989.

Таблица 1. Радиоуглеродные даты 1989 г., упомянутые в тексте.

Table 1. 14C dates for Zamostje 2, 1989.

происхождение	материал	индекс	¹⁴ C	cal BC*
Зам 2 89, слой 2, кв. 1, развал льяловского сосуда	сапрпель	ГИН-6154	5700±110	4785–4346
Зам 2 89, зап.стенка, кв. 4, палин.обр. 3	сапрпель	ГИН-6196	7840±90	7031–6501
Зам 2 89, зап.стенка, кв. 4, палин.обр. 4	сапрпель	ГИН-6197	7900±180	7307–6438
Зам 2 89, зап.стенка, кв. 4, палин.обр. 7	сапрпель	ГИН-6198	6680±100	5782–5469
Зам 2 89, зап.стенка, кв. 4, палин. обр. 11	сапрпель	ГИН-6199	6250±100	5468–4981
Зам 2 89, кв. 5, глуб. -3,5 м	дерево	ГИН-6201	7380±60	6392–6094

* — OxCal v4.2.4 Bronk Ramsey (2013); r.5; IntCal13 atmospheric curve (Reimer et al. 2013)

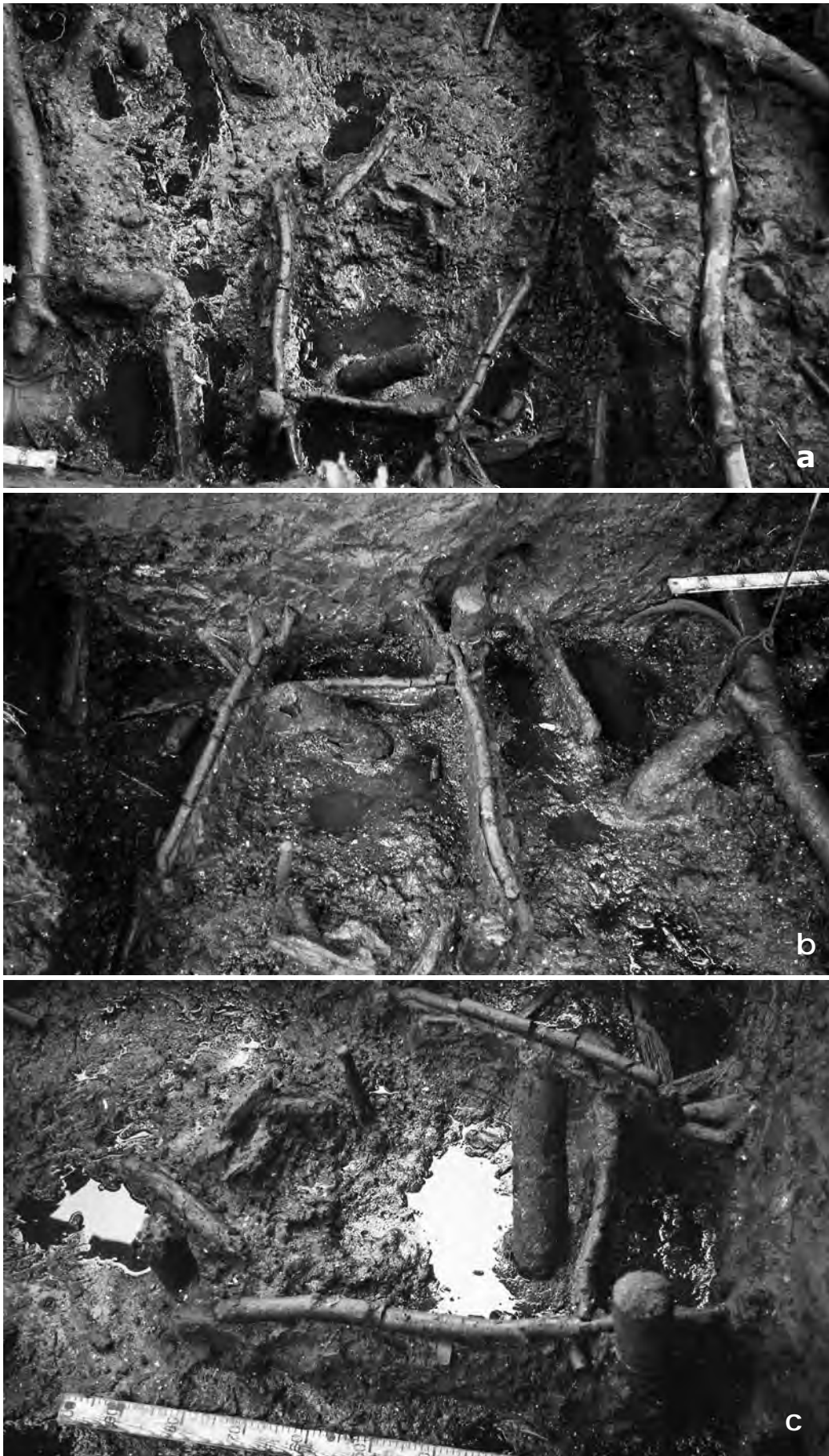


Рис. 27. Замостье 2, раскоп 1989 г., слой 7. Скопление крупных бревен и веток на кв. 3–4 и 9. Видны крупные колья, стоящие вертикально и под наклоном. Вид с запада (а), востока (б) и севера (с). Фото В. Лозовского, 1989 г.

Fig. 27. Zamostje 2, 1989, layer 7. Big trunks and branches in sq. 3–4 and 9. Massive vertical and inclined piles are visible. View from W (a), E (b) and N (c). Photo by V. Lozovski, 1989.



Рис. 28. Замостье 2, раскоп 1989 г., кв. 10. Коля № 3–6 в слое 6 (сверху) и в слое 7 (снизу), где они пробивают бревно. Вид с юга. Фото В. Лозовского, 1989.

Fig. 28. Zamostje 2, 1989, sq. 10. Piles #3–6 in layer 6 (above) and layer 7 (below) where going through a trunk. View from S. Photos by V. Lozovski, 1989.



Рис. 29. Замостье 2, раскоп 1989 г., слой 8. Скопление щепы, пробитое кольями на кв.14, глубина -360, вид с востока. Фото В. Лозовского, 1989 г.

Fig. 29. Zamostje 2, 1989, layer 8. Accumulation of wood splinters pierced by piles in sq. 14, depth -360, view from E. Photo by V. Lozovski, 1989.

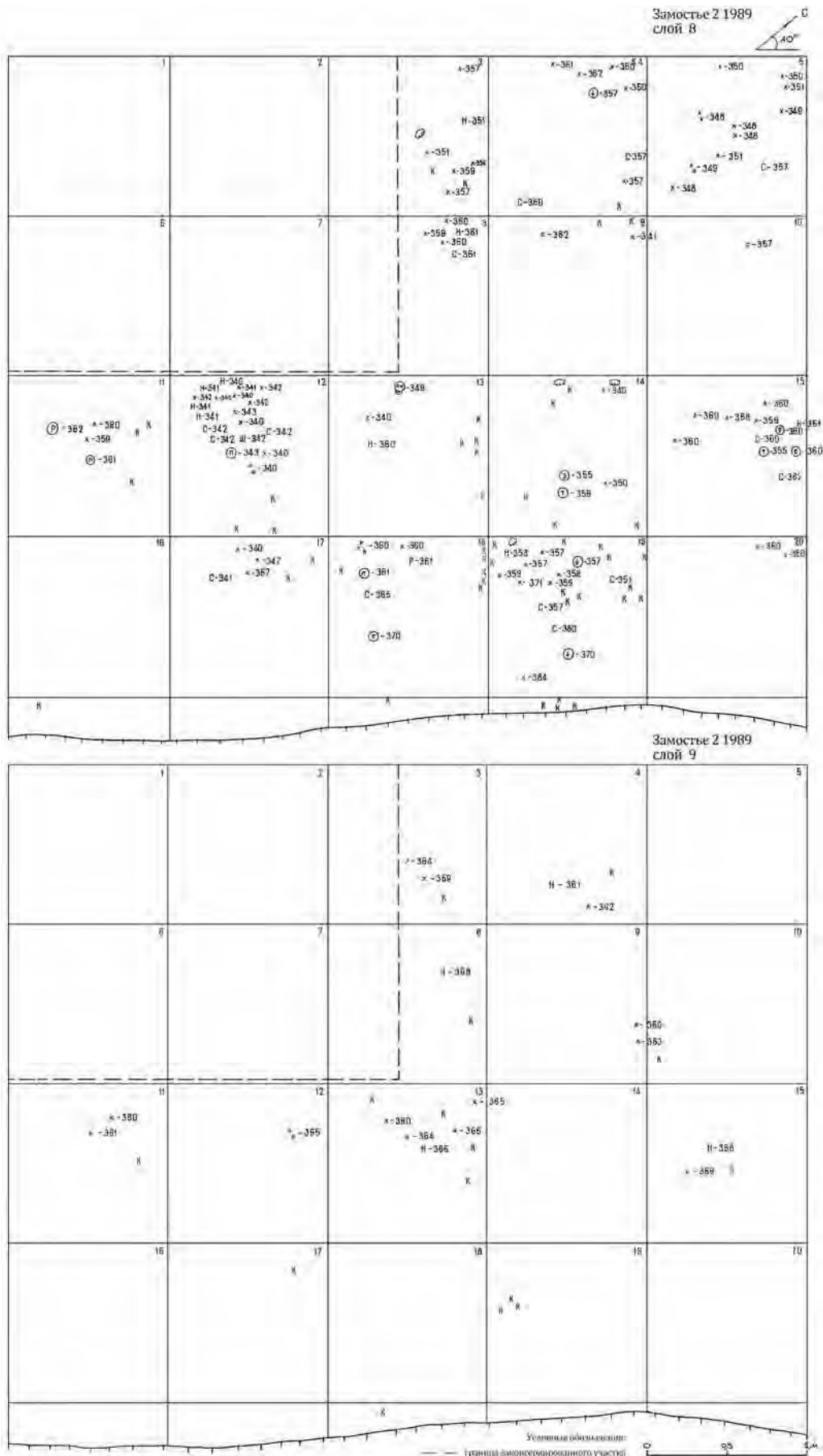


Рис. 30. Замостье 2, раскоп 1989 г. План находок слоев 8 (сверху) и 9 (снизу). Условные обозначения см. рис. 10. Рисунок В. Лозовского, 1989.

Fig. 30. Zamostje 2, 1989 Artefacts distribution in layer 8 (above) and 9 (below). See the legend on fig. 10. Fig. by V. Lozovski, 1989.

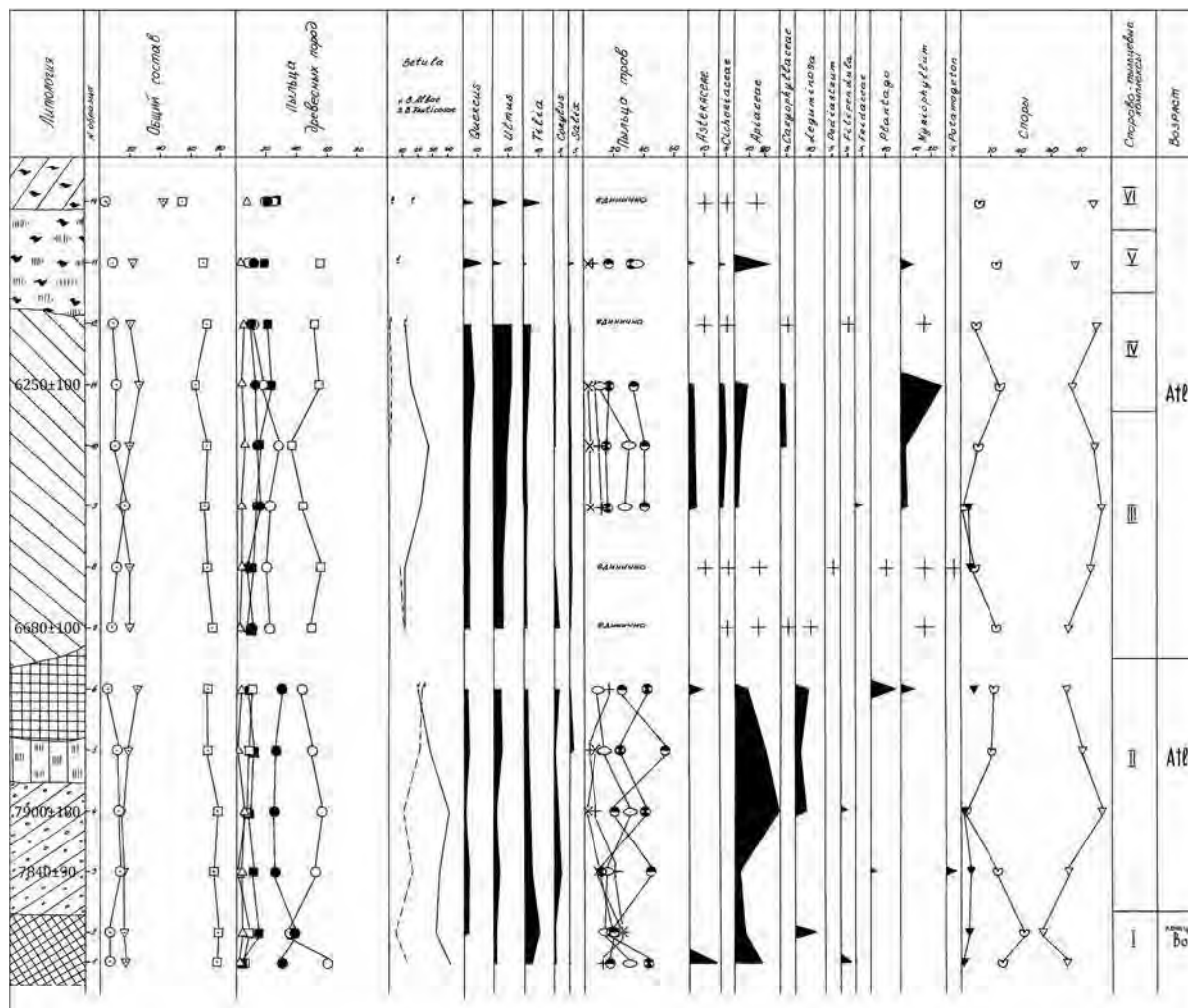


Рис. 31. Замостье 2, раскоп 1989 г. Пыльцевая диаграмма. Е.А. Спиридонова, 1989.
 Fig. 31. Zamostje 2, 1989. Pollen diagram by E.A. Spiridonova, 1989.

РАСКОП С ВЕРШАМИ, ИССЛЕДОВАНИЯ 2010–2013 ГГ.

Исследования этого участка (который получил рабочее название «раскоп с вершами») были продолжены в 2010–2011 и 2013 гг. экспедицией ИИМК РАН и Сергиево-Посадского музея-заповедника¹. Целью археологических работ было изучение рыболовной зоны поселения² и получение новых естественнонаучных данных для реконструкции палеоландшафта³. С запада было прирезано шесть квадратов (3x2 кв. м, АБ/8'–10')⁴ (рис. 5). Кроме того, были расконсер-

вированы и изучены верши 1989 г., раскопаны подстилающие горизонты под вершами и на прилегающей площади (кв. 1–4, 6–9, 11–14, 44 и 50) до уровня слоистых озерных сапропелей без находок, а также проведены подводные изыскания (А.Н. Мазуркевич, Е.В. Долбунова) на прилегающем к раскопу с вершами участке дна реки Дубна (рис. 32), сохранившем как следы от ковша экскаватора, так и остатки древних деревянных конструкций (Лозовский и др., 2013).

Помимо сенсационной находки третьей конусовидной ловушки из расщепленных лучин сосны со случайно попавшим внутрь веслом с крупной асимметричной лопастью (рис. 33) (Лозовский и др., 2013), были проведены интересные наблюдения за поведением культурных слоев. Прежде всего, это касается верхнего мезолитического горизонта (5а). Если слой раннего неолита (4а), вмещающий вершу, содержал единичные артефакты, то поверхность мезолитического слоя фиксировалась по крайне плотному скоплению находок, местами почти лишенному собственно седимента, например, на кв. Б8' (рис. 34). В то же время площадь распространения находок не была равномерной, а отличалась прерывистостью и выраженной неровностью рельефа. Самым высоким участком было «холмообразное» возвышение на кв. А9', перепад высот с соседним скоплением на кв. Б9' составлял не менее 50 см (рис. 35а и 36).

¹ Под руководством О.В. Лозовской, Открытый лист №№ 134 (2010), 632 (2011) и 203 (2013), и В.М. Лозовского.

² В рамках проекта I+D+I HAR 2008–04461/Hist Ministerio de ciencia e innovación, España 2009–2011 «Recursos olvidados en el estudio de grupos prehistóricos: el caso de la pesca en las sociedades meso-neolíticas de la llanura rusa» (рук. И. Клементе Конте, IMF CSIC)

³ В рамках исследовательского проекта РФФИ № 11–06–00090а «Структура и экология озерных поселений в верхнем течении реки Волги и Западной Двины в среднем голоцене (междисциплинарное исследование)» (рук. О.В. Лозовская), и при поддержке грантов №№ 11–06–100030к, 12–06–00013к, 13–06–10007к.

⁴ Раскоп на этом участке (5x2 кв. м) был разбит в 1991 г., но удалось снять только балласт и дойти до слоя среднего неолита.



Рис. 32. Замостье 2, 2011 г., участок SubA. а — фиксация подводных объектов; б — фрагмент деревянной конструкции на кв. ИК XVII. Фото О. Лозовской (а) и А. Мазуркевича (б).

Fig. 32. Zamostje 2, 2011, SubA. Recording of underwater objects (a); fragment of a wooden construction in sq. ИК XVII (b). Photo by O. Lozovskaya (a) and A. Mazurkevich (b).



Рис. 33. Замостье 2, 2011 г., раскоп II. Новая верша с застрявшим внутри веслом. Вид с запада. Фото О. Лозовской.

Fig. 33. Zamostje 2, 2011. New fish trap with a paddle stuck inside. View from W. Photo by O. Lozovskaya.

Понижения и выклинивание слоя на отдельных участках сопровождались наклонным расположением различных крупных древесных остатков в низах слоя раннего неолита (рис. 35) и, видимо, могут быть связаны с активными водными процессами в береговой зоне. В частности фиксируется «промоина», идущая в направлении с ЗСЗ на ВЮВ на кв. Б10' — А9'/10'. Устье новой «верши» непосредственно лежало на остатках слоя мезолита (рис. 36 и 37), из чего можно сделать вывод о времени появления здесь протоки — после накопления остатков позднемезолитического поселения и до устройства рыболовной конструкции в раннем неолите.

Отчетливо фиксировалось падение слоя ВМ в восточном — юго-восточном направлении, что объясняется уклоном берега в сторону палеоводоёма (озера, крупной протоки). По крайней мере, в непосредственной близости (в 7–10 м на ЮВ) от раскопа с вершами на дне современного русла найдены остатки переносной загородки (fish-screen; рис. 32) (Lozovski, Lozovskaya, 2016: 86–87) и других объектов из лучин, связываемых с обустройством рыболовной хозяйственной зоны в период бытования мезолитического поселения. Глубина их залегания более чем на 1 м ниже основания вершей и культурного слоя ВМ под ними.

Важным археологическим аргументом в пользу трактовки этого участка стоянки как прибрежного водоёма в самом конце мезолита — раннем неолите, являются найденные остатки сетей в виде десятков сохранившихся узелков (на кв. А8', А9', 7087±45 ВР (Уа-50259), кв. 7 и др.) (рис. 38), скопления под лучинами вершей полных скелетов, в т. ч. с чешуей, небольших рыб (кв. 7 и Б9') (Lozovski, Lozovskaya, 2016: 89–90) (рис. 39 и 40), а также большое число небольших галек и камней (рис. 41), расположенных группами (или в определенном порядке, о чем упоминалось

выше), которые могут трактоваться как груз для установки в рабочее положение рыболовных ловушек или фиксации сетей. Необходимо подчеркнуть, что все камни на стоянке являются принесенными, на других участках стоянки скоплений галек не выявлено, и что типологические грузила в инвентаре памятника полностью отсутствуют. Однако стратиграфически они в основном связываются с нижним горизонтом слоя ВМ (6а и 6).

В отличие от раскопа 1989 г. нижний мезолитический слой (НМ) залегал равномерно и характеризовался слабой насыщенностью находками.

Описание разреза западной стенки раскопа 2010–2013 гг. дается по границе кв. А8' и А9' (рис. 42), верхние слои по границе кв. 70 и 71 (прирезка с запада); глубина от дневной поверхности (или –115 от «0», с 2010 г. за нулевой репер принят верх гидротехнического колодца, установлены три стационарные координатные точки на территории памятника).

0–0,13 м — дерн, мощность варьирует от 10 до 20 см.

0,13–0,50 м — слоистая светло-желтая супесь. Мощность составляет от 25 до 40 см. Образование этого слоя связано с регуляризацией русла р. Дубна и периодическими промывками, когда намытый песок со дна реки откидывался по ее берегам. Нижняя граница слоя неровная, по разрезу наблюдаются своего рода языки-затеки, которые глубоко проникают в нижележащий слой.

0,50–1,10 м — железненная серо-желтая супесь. Генезис аналогичен предыдущему слою, изменение окраски связано с накоплением окислов железа.

1,10–1,17 м — горизонт ржавой оторфованной супеси с ракушкой, мощность 5–10 см.

1,17–1,45 м — горизонт коричневого торфа с ракушкой, связанный с процессами торфообразования начала второго тысячелетия н. э. (даты см. ниже).



Рис. 34. Замостье 2, 2011 г., раскоп II. Скопление находок на поверхности верхнего слоя позднего мезолита (5а) на кв. Б8'. Вид с востока (сверху) и с севера (снизу). Фото О. Лозовской.

Fig. 34. Zamostje 2, 2011. Concentration of artefacts on the surface of Late Mesolithic Upper layer (5a) in sq. B8'. View from E (above) and N (below). Photo by O. Lozovskaya.



Рис. 35. Замостье 2, 2011 г., раскоп II. Нижние горизонты слоя 4а и высокие участки позднемезолитического слоя 5а. Вид с востока (сверху) и с запада (снизу). Фото О. Лозовской.

Fig. 35. Zamostje 2, 2011. Bottom of layer 4a and elevated areas of Late Mesolithic layer 5a. View from E (above) and W (below). Photo by O. Lozovskaya.



Рис. 36. Замостье 2, 2011 г., раскоп II. Перепад высот участков позднемезолитического слоя 5а на уровне низа слоя раннего неолита (сверху) и фрагмент слоя, уходящий под лучины верши 2011 г. (снизу). Фото О. Лозовской.

Fig. 36. Zamostje 2, 2011. Altitude difference of Late Mesolithic layer 5a and the low part of the Early Neolithic layer (above) and a layer fragment, which goes below fish trap splinters (below). Photo by O. Lozovskaya.



Рис. 37. Замостье 2, 2013 г., раскоп II. Фрагменты верши 2011 г., нижние лучины лежат непосредственно на артефактах из верхнего позднемезолитического слоя 5а. Вид с юга (сверху) и с запада (снизу). Фото О. Лозовской.

Fig. 37. Zamostje 2, 2013. Fish trap fragments; lower splinters rest directly on artefacts from Late Mesolithic layer 5a. View from S (above) and W (below). Photo by O. Lozovskaya.



Рис. 38. Замостье 2, 2011 г., раскоп II, кв. А8'. Узелки от сетей. Фото Е. Гири (n1-n9) и О. Лозовской (n10-n12).

Fig. 38. Zamostje 2, 2011, sq. A8'. Net knots. Photo by E. Girya (n1-n9) and O. Lozovskaya (n10-n12).

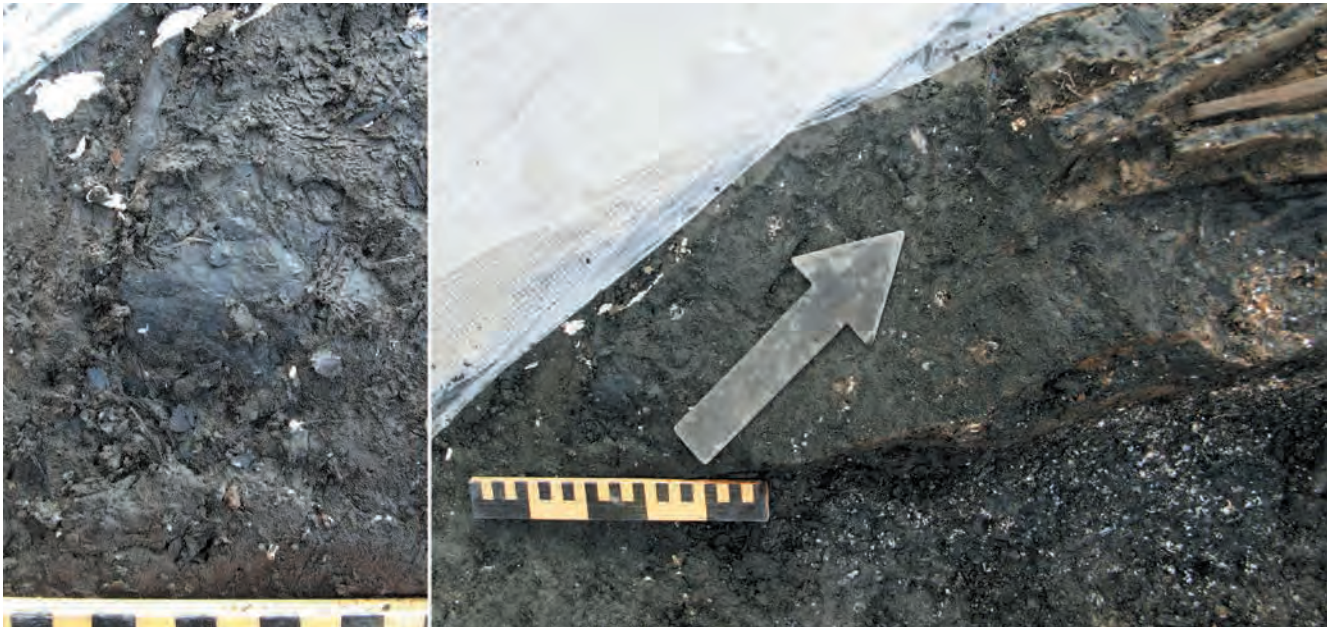


Рис. 39. Замостье 2, 2011 г., раскоп I, кв. 7, -420. Тушка окуня (определение Э. Ляшкевич) непосредственно под лучинами восточной верши. Центральная верша укреплена гипсом. Фото О. Лозовской.

Fig. 39. Zamostje 2, 2011, sq. 7, -420. Remains of perch (determination by E. Lyashkevich) directly below splinters of the eastern fish trap. The central fish trap is covered with plaster. Photo by O. Lozovskaya.



Рис. 40. Замостье 2, 2011 г., раскоп I, кв. 7, -428–435. Прослойка из скелетов и тушек мелких рыб под восточной вершей. Фото О. Лозовской.

Fig. 40. Zamostje 2, 2011, sq. 7, -428–435. Interlayer consisting of small fish skeletons and carcasses under the eastern fish trap. Photo by O. Lozovskaya.



Рис. 41. Замостье 2, 2011 г., раскоп I, кв. 7. Скопление камней под устьем восточной верши. Фото В. Лозовского.

Fig. 41. Zamostje 2, 2011, sq. 7. Group of stones under the eastern fish trap. Photo by V. Lozovski.

1,45–1,55 м — горизонт темно-коричневого торфа. Нижняя граница слоя довольно четкая и резко отличается от нижележащего слоя. Генезис слоя аналогичен выше лежащему и отражает процесс заболачивания обширного водоема, покрывшего всю озерную котловину.

1,55–>1,83 м — горизонт серого суглинка без находок, по всему разрезу представлен однородной толщей, мощностью 50–60 см. На кв. А8' отмечается затек этого слоя в нижележащие. Формирование этого горизонта датировано по пыльце суббореальной трансгрессией, которая перекрыла всю озерную котловину (Алешинская и др., 2001).

Разрыв в стратиграфии в связи с образовавшейся ступенькой. Далее описание стратиграфии приводится, начиная от ее поверхности на глубине 1,83 м.

1,83–2,16 м — засыпка раскопа 1991 г. На кв. А9' фиксируются остатки грабительской ямы (до глубины 2,25 м) и шурф 1992 г. на кв. А10' и А9' (до -2,75 м).

2,16–2,27 м — темно-серый оторфованный суглинок с песчаными включениями. Мощность составляет от 10 до 14 см. На квадрате А8' отмечается его нарушение выше лежащим слоем серого суглинка. Формирование слоя происходило в период бытования льяловской культуры среднего неолита (слой 3а).

2,27–2,32 м — черно-серый сапропель с песком, небольшими линзами ракушки и многочисленными древесными и мелкими растительными остатками (листьями, семенами растений), однако мелкая разрозненная щепка единична. В небольшом количестве встречается чешуя и кости рыб, в отдельных случаях они образуют скопления или тонкие прослойки. На кв. Б8' (-374) в останце крупной ветки (корня) найдены позвонки и чешуя окуня в анатомическом порядке (определение Э. Ляшкевич, ИИ НАН Беларуси).

Верхняя граница слоя относительно ровная, если не считать крупный затек серого суглинка на кв. А8'. Однако мощность слоя неоднородна за счет значительных перепадов нижней границы. На квадрате А10' она колеблется от 18 до 25 см, на кв. А9' и А8' от 5 до 40 см. Понижение слоя в кв. Б10' — А9'/10' отражает существование древней промоины, идущей в направлении с ЗСЗ на ВЮВ. С этой промоиной связан наклон большей части длинных веток и фрагментов стволов (рис. 35, 43 и 44). Все древесные остатки залегают хаотично, концами перекрывая друг друга. Многие ветки сильно сплюснуты, один вертикальный «кол» на кв. Б8' петлеобразно искривлен (рис. 44). В основании слоя на кв. Б8'–Б9' отмечена прослойка из мелких фрагментов коры (рис. 45). Низы слоя отличаются меньшим количеством семян растений (в основном, *Nuphar lutea*) и отсутствием прелых листьев. Формирование слоя датируется временем верхневолжской культуры раннего неолита (слой 4а), радиоуглеродный возраст отложений — 6450±80 и 6579±80 ВР (см. глава 5).

✧ Культурные остатки малочисленны. Единственным древним объектом, связанным с этим слоем, явилась конусовидная конструкция из сосновых лучин (определение М.И. Колосовой, ГЭ), которая располагалась в основном на квадрате Б9' и частично — на Б8' и Б10', вплотную к вершам 1989 г. Общая протяженность конструкции 1,95 м. Она отличается более узкой формой (0,8 м), значительными высотными перепадами между разными группами лучин (до 7–10 см) и отсутствием крупных расколотых плах и веток над лучинами. Верша залегала наклонно, разница высот 35–45 см: северный узкий конец фиксируется на глубине -370–373 от «0», концы лучин в устьевой части показывают резкое падение на юг до -405–417. В нижней части слоя,

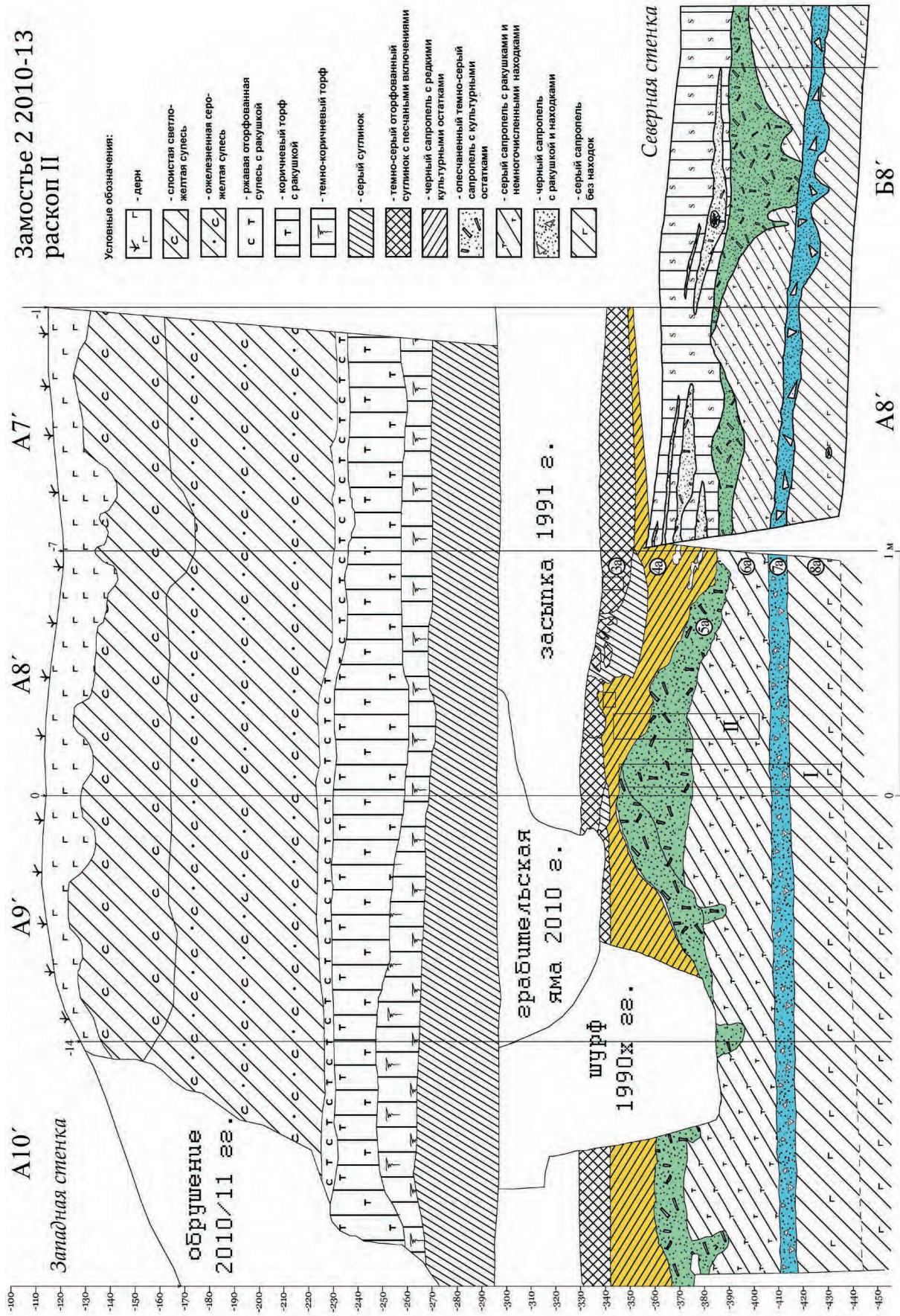


Рис. 42. Замостье 2, 2010–2013 гг. Стратиграфический разрез западной и северной стенок раскопа II. Цифрами обозначены номера культурных слоев. I — спорово-пыльцевая колонка, II — колонка для геохимического и радиоуглеродного анализа. Рисунок коллектива авторов.

Fig. 42. Zamoshtye 2, 2010–2013. Western and northern stratigraphic sections. Figures indicate layers numbers. I — pollen column, II — geochemical and radiocarbon analysis.



Рис. 43. Замостье 2, 2010 г. Условные горизонты слоя 4а. Фото О. Лозовской.

Fig. 43. Zamostje 2, 2010. Different horizons of layer 4a. Photo by O. Lozovskaya.



Рис. 44. Замостье 2, 2010 г. Поверхность нижнего горизонта слоя 4а с наклонными ветками, выраженным поднятием позднемезолитического слоя на кв. А9', первыми лучинами верши 2011 г. и искривленным «колом». Фото О. Лозовской.

Fig. 44. Zamostje 2, 2010. Low horizon of layer 4a with inclined branches and pronounced elevation of the Late Mesolithic layer in sq. A9'. Photo by O. Lozovskaya.



Рис. 45. Замостье 2, 2011 г., кв. Б8'. Березовый кол с датами 6730±150 и 6646±39 ВР (см. табл. 2) на прослойке из фрагментов коры, вид с севера. Фото О. Лозовской.

Fig. 45. Zamostje 2, 2011, sq. Б8'. Birch pile dated to 6730±150 and 6646±39 BP (see table 2) on interlayer of bark fragments, view from N. Photo by O. Lozovskaya.

Замостье 2 2011-2013. Раскоп I и II.

План находок из кости и рога.

Верхний слой мезолита 5а-6а (II) и 6-7 (I).

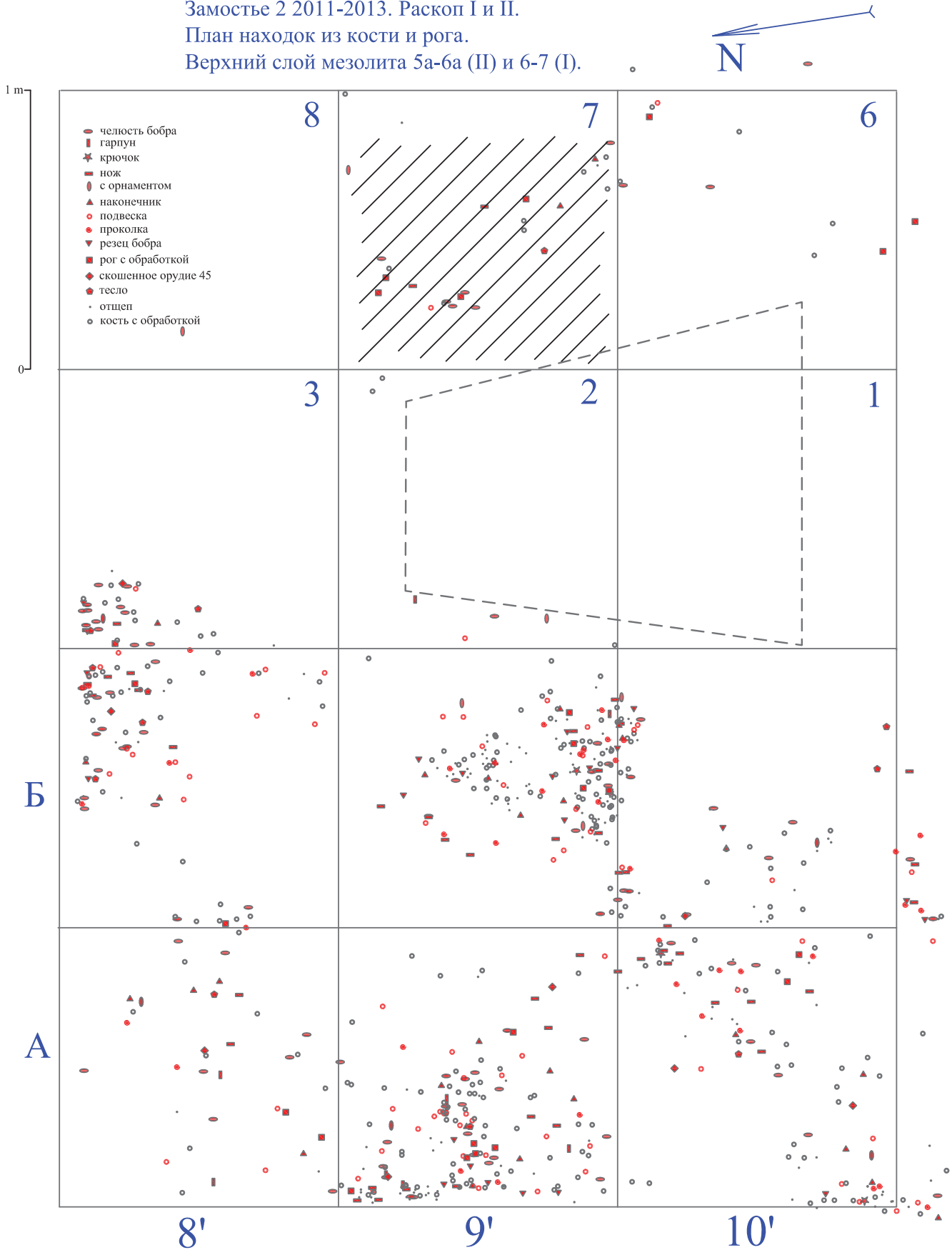


Рис. 48. Замостье 2, 2011–2013, раскоп I и II. Верхний мезолитический слой. План находок орудий из кости и рога. Рисунок О. Лозовской.

Fig. 48. Zamostje 2, 2011–2013. Upper Mesolithic layer. Bone and antler artefacts distribution. Fig. by O. Lozovskaya.

Замостье 2 2011-2013. Раскоп I и II.
 План находок из кремня и камня.
 Верхний слой мезолита 5а-6а (II) и 6-7 (I).

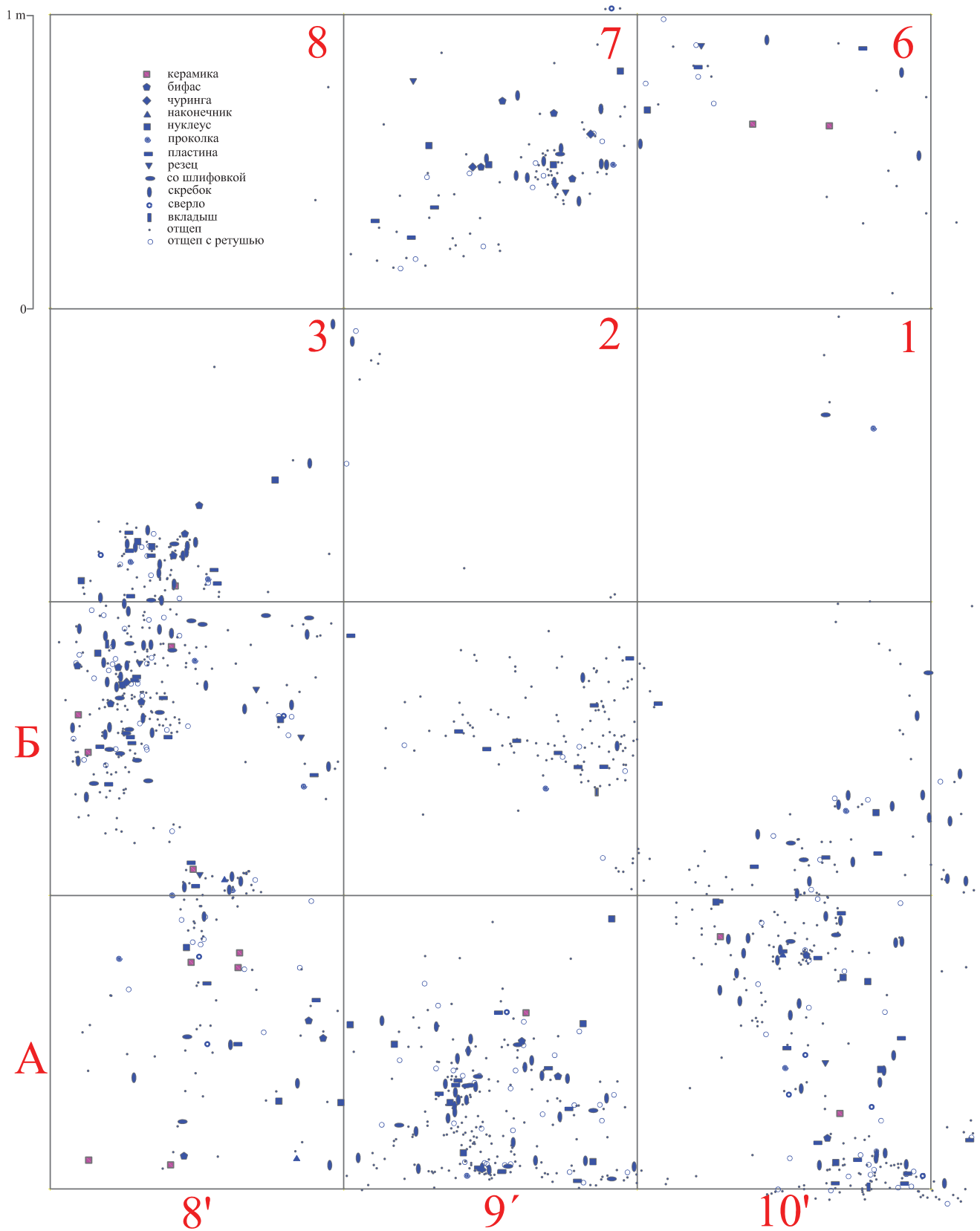


Рис. 49. Замостье 2, 2011–2013, раскоп I и II. Верхний мезолитический слой. План находок орудий из кремня. Рисунок О. Лозовской.

Fig. 49. Zamostje 2, 2011–2013. Upper Mesolithic layer. Flint artefacts distribution. Fig. by O. Lozovskaya.

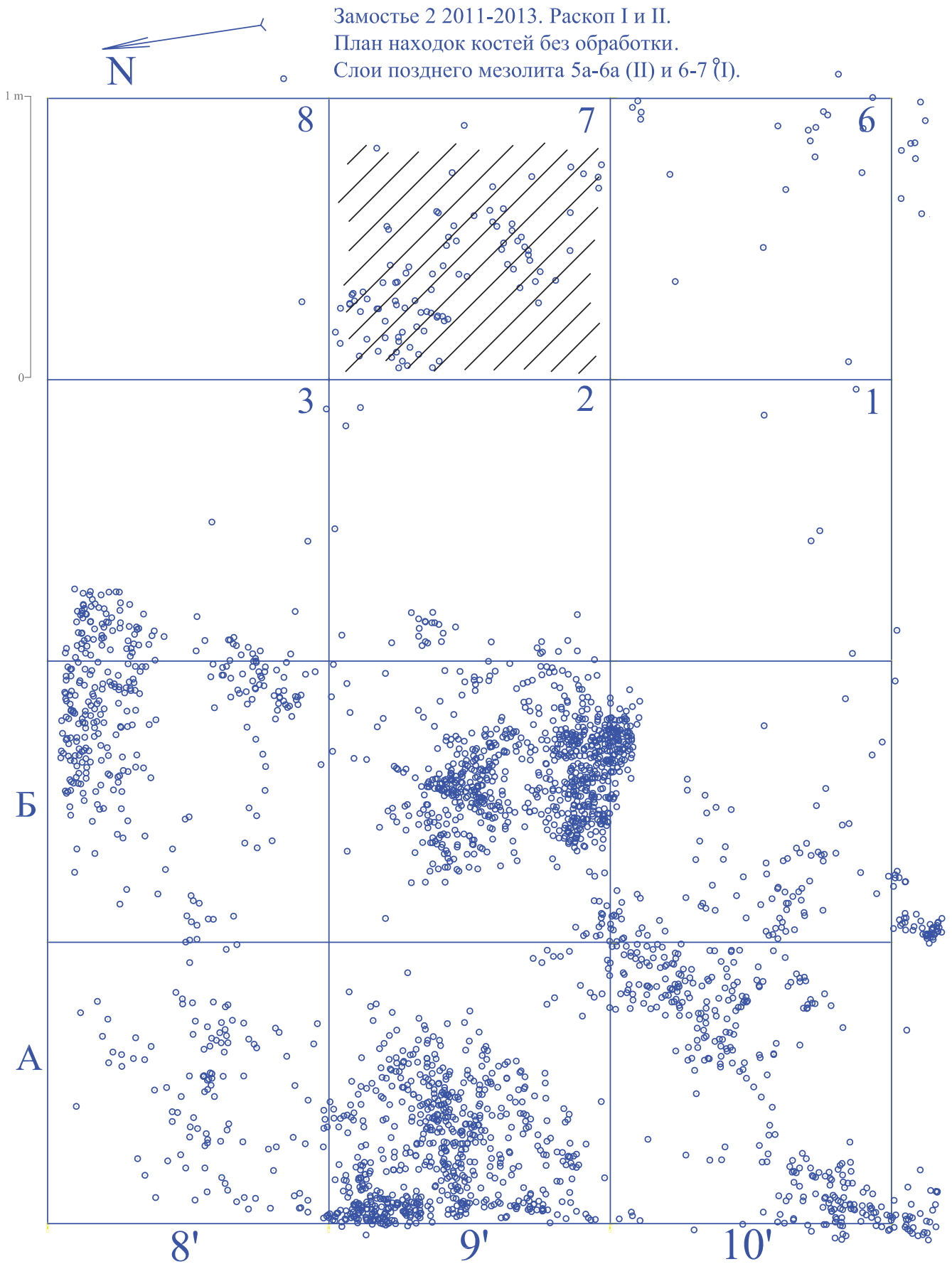


Рис. 50. Замостье 2, 2011–2013, раскоп I и II. Верхний мезолитический слой. План фаунистических остатков. Штриховкой показано распространение прослойки из рыбных костей. Рисунок О. Лозовской.

Fig. 50. Zamostje 2, 2011–2013. Upper Mesolithic layer. Faunal remains. Hatching shows the distribution of the fish bone interlayer. Fig. by O. Lozovskaya.



Рис. 51. Замостье 2, 2011, раскоп I, слой 6, кв. 6. Фрагмент верхневолжской керамики с обвязкой (N1357), использовавшийся в качестве грузила. Фото О. Лозовской.

Fig. 51. Zamostje 2, 2011, layer 6, sq. 6. Upper Volga sherd with binding (N1357), used as a weighting. Photo by O. Lozovskaya.



Рис. 52. Замостье 2, 2011, раскоп II, слой 6а, кв. АБ10', -418-420. Деревянная лучина, обернутая берестой. Фото О. Лозовской.

Fig. 52. Zamostje 2, 2011, layer 6a, sq. АБ10', -418-420. Wooden splinter wrapped with birch bark. Photo by O. Lozovskaya.

среди лучин ловушки, никаких артефактов найдено не было. В верхней части найдено 27 фрагментов керамики (15 ввк, 12 льял) и несколько фрагментов костей без обработки (рис. 46).

2,32–2,62 м — опесчаненный темно-серый сапропель с многочисленными культурными остатками в верхней части. Содержит ракушки и большое число мелких растительных остатков, чешую, кости рыб и животных. Крупные фрагменты древесины в слое почти не встречаются. Щепка, характерная для заполнения слоя на северных участках стоянки, здесь малочисленна. Верхняя граница неровная, отмечается резкое повышение слоя на кв. А8'-А9'. Как на кв. А9', так и на некоторых участках поверхности слоя встречены линзы крупного

песка и мелких камешков с ржавым налетом. Мощность слоя крайне неоднородная. Если на кв. А10' он залегает относительно ровно и его мощность составляет в среднем 12 см, то в районе бугорка она меняется от 5 до 30 см на границе с кв. А8', и далее опять уменьшается, а на границе с кв. А7' слой выклинивается. На остальной площади слой также распространяется пятнами. Нижняя граница неровная, отмечаются затеки глубиной до 10 см в нижележащий слой. На северной стенке раскопа (кв. Б8') наблюдается затек-яма, плотно заполненная артефактами (рис. 34 и 47). Представляет собой верхний культурный слой позднего мезолита (слой 5а). Даты для сапропеля по разрезу 7253 ± 70 и 7220 ± 80 ВР (см. глава 5)



Рис. 53. Замостье 2, 2013, раскоп I и II. Нижний мезолитический слой. План находок орудий из кремня и кости. Рисунок О. Лозовской.

Fig. 53. Zamostje 2, 2013. Lower Mesolithic layer. Flint and bone artefacts distribution. Fig. by O. Lozovskaya.



Рис. 54. Замостье 2. Орудия из панциря черепахи: а — 1990, слой 8, кв. 29, б — 2013, слой 9, кв. 12–13. Фото И. Клемента Конте (а) и О. Лозовской (б).

Fig. 54. Zamostje 2. Turtle shell tools: a — 1990, layer 8, sq. 29, b — 2013, layer 9, sq. 12–13 Photo by I. Clemente Conte (a) and O. Lozovskaya (b).

✧ Слой чрезвычайно насыщен находками. На площади 6 кв. м найдено 712 изделий из кости и рога, 1180 предметов из кремня (рис. 48 и 49), а также 12 фрагментов керамики, попавших в слой в результате повреждения или разрушения его поверхности в раннеолитическое время (например, кв. А8¹). Наиболее многочисленны кости без обработки, в основном, обломки — более 2400 экз. (рис. 50). Под разрушенной (восточной) вершей раскопа I, на кв. 7, также было исследовано скопление артефактов, в кровле слоя находилась прослойка (глубина -428–437 от «0») из остатков скелетов рыб, в т. ч. с сохранившейся чешуей (Lozovski, Lozovskaya, 2016) (рис. 40); рядом также найдены две группы камней на кв. 7 и 6 (40 экз.) (рис. 41), предположительно связанных с рыболовной деятельностью, и вместе с ними фрагмент керамики¹ с остатками обвязки (Лозовская, Ло-

зовский, 2014), который, вероятно, служил грузилом (рис. 51).

2,62–2,93 м — серый сапропель с мелкими ракушками, от вышележащего отличается большей гомогенностью, значительно меньшим количеством растительных и древесных остатков и очень немногочисленными культурными находками. На участках, где мезолитический слой отсутствовал, располагался непосредственно под темно-серым сапропелем раннеолитического времени, контакт расплывчатый. Нижняя граница ровная, контакт с нижележащим слоем в разрезе отчетлив. Мощность слоя неодинаковая, колеблется в среднем от 12 до 35 см; на небольшом участке северной стенки отмечается перерыв из-за проседания вышележащего слоя с находками. Формирование слоя можно связать с трансгрессивной фазой бытования древнего водоема (слой ба). Полученные ¹⁴C даты 7773±80 и 7759±70 ВР (см. глава 5) указывают на более древний возраст отложений, чем вмес- тимый материал.

✧ Находки единичны, выраженных скоплений не образуют, некоторые кости в вертикальном положении. Преобладают изделия из кремня

¹ Стенка раннеолитического сосуда (58x52x9 мм) с двойным ободком разряженных ямочных вдавлений, полевой номер N1357 (2011 г.), кв. 6, -438.



Рис. 55. Замостье 2, 2013, раскоп II. Места отбора образцов на кв. А8', западная стенка (слева) и Б7', северная стенка (справа). Фото О. Лозовской.

Fig. 55. Zamostje 2, 2013. Sampling points in sq. А8', western section (left) and Б7', northern section (right). Photo by O. Lozovskaya.

(72 предмета) и кости без обработки (46 экз.), костяная индустрия представлена всего 14 предметами (см. рис. 48–50). Найдено также 18 камней. Заслуживает внимания деревянная широкая лучина, обернутая по спирали полоской бересты (рис. 52). Длинная палка в верхней части слоя на кв. Б8' — А10' получила дату 7270 ± 120 ВР (Ле-9524).

2,93–3,00 м — темно-серый сапропель с незначительной примесью песка и мелкой ракушкой, рыбы кости и мелкие растительные остатки очень немногочисленны; встречаются отдельные деревянные ветки, тонкие, преимущественно в коре, и единичные находки мезолитического возраста; соответствует нижнему мезолитическому слою (слой 7а). Слой залегает ровно с незначительным уклоном на В, мощность составляет около 7 см; на северной стенке (кв. Б8') нижняя граница слоя волнистая, здесь мощность колеблется от 5 до 11 см.

✧ Артефакты равномерно распределены в толще слоя и искусственного горизонта находок не образуют (рис. 53). Всего найдено 118 предметов, большую часть составляют изделия из кремня (71 экз.) и кости без обработки (29 экз.). По 9 экз. костяных изделий и камней.

Этот культурный слой был исследован также и в раскопе I (1989 г.) на квадратах, примыкавших к вершам и под снятыми вершами, т. е. на кв. 1–3, 6–8, 11–13, а также 44 и 50 (под стенками соседних раскопов). Непотронутого слоя начался с глубины ок. –450–470 (от «0» 2010 г.), на этой площади были найдены фрагменты весел, обломок угловой рукояти, а также кремневые и костяные артефакты,

включая рассыпавшееся орудие из панциря черепахи¹, кв. 12–13, гл. –479–481 (рис. 54).

3,00 — глубже 3,30 м — темно-серый сапропель, ниже светлеет и приобретает более или менее выраженную горизонтальную слоистость, не содержит ни рыбных костей, ни щепы, ни семян растений; в верхней части встречаются крупные обломки древесины, в основном ветки, в коре и без нее, диаметром 3–5 см, в горизонтальном или наклонном залегании. Достаточно часты копролиты. Артефактов практически нет (слой 8а).

✧ Найдено несколько фрагментов дерева со следами обработки и 19 изделий из кремня (и еще 2 в раскопе I). Последние представляют собой случайно попавшие в древний водоем предметы и находившиеся на различной глубине от –420 до –510 от «0» (от дневной поверхности соответственно –305–395 см). Вглубь уходят вертикально вбитые колья. В раскопе I некоторые из них (колья закола 1989 г. № 11, 24 и 25) удалось извлечь полностью: они были вбиты в слоистый сапропель на глубину более 1,5 м, до –612, –619 и –602 от «0» соответственно (рис. 7 и 8); некоторые участки искривлены и смяты в силу естественных процессов.

В рамках исследовательского проекта РФФИ № 11–06–00090а на описанном выше разрезе были отобраны образцы для изучения условий осадконакопления и реконструкции палеоландшафта на древнем поселении и в его ближайших окрестностях (рис. 5). В том числе (рис. 55): палинологическая колонка была изучена Е.Г. Ершовой (Ершова, 2013;

¹ Первое такое орудие из панциря *Emys orbicularis* найдено в 1990 г., слой 8 (НМ), кв. 29 (хранится в СПГИХМЗ, № 1044нв), см. Lozovski, 1996: photo 20 и Кlemente Конте, 2001.



Рис. 56. Замостье 2, 2011–2013, разрез останца верши 2011 г. (а) и верши 1989 г. (б), вид с В. Фото О. Лозовской и В. Лозовского.

Fig. 56. Zamostje 2, 2011–2013, underlying layers below fish trap 2011 (a) and 1989 (b), view from E. Photo by O. Lozovskaya and V. Lozovski.

Таблица 2. Радиоуглеродные даты по материалам 2010–2013 гг. для «раскопа с вершами».
Table 2. 14C dates for fish-trap zone in 2010–2013.

происхождение	материал	индекс	¹⁴ C	cal BC*
Зам 2 10, верша, № 86 (лучина), слой 4, кв. 1, –423	дерево	Beta-283033	6550±40	6052–5885
		CNA-1081	6452±43	5483–5331
Зам 2 11, весло в верше, слой 4а, кв. Б9´/2, –383	дерево	CNA-1342	6676±47	5671–5511
Зам 2 11, верша, лучины над веслом, слой 4а, кв. Б9´, –383–389	дерево	Ле-9557	6670±80	5714–5483
		CNA-1341	6539±43	5614–5383
Зам 2 11, кол вертикальный, кв. Б10´, –412	дерево	Ле-9522	6180±290	5644–4464
		CNA-1343	7352±34	6354–6085
		Ua-50258	6617±44	5622–5488
Зам 2 11, кол вертикальный, кв. 44, –421	дерево	CNA-1344	6637±38	5630–5493
Зам 2 11, кол вертикальный, кв. А10´	дерево	Ле-10099	6600±40	5617–5485
Зам 2 13, кол вертикальный 9/89 г., кв. 14	дерево	Ле-10266	5600±45	4518–4350
Зам 2 13, кол вертикальный 10/89 г., кв. 14	дерево	Ле-10265	5440±60	4446–4067
Зам 2 13, кол вертикальный 11/89 г., кв. 14	дерево	Ле-10097	5580±20	4455–4361
Зам 2 13, кол вертикальный 21/89 г., кв. 4	дерево	Ле-10268	6630±40	5626–5491
Зам 2 13, кол вертикальный 24/89 г., кв. 9	дерево	Ле-10098	5500±70	4496–4176
Зам 2 13, кол вертикальный 25/89 г., кв. 9	дерево	Ле-10267	6440±50	5482–5322
Зам 2 11, кол горизонтальный, слой 5а, кв. АБ8´, –383–399	дерево	Ле-9523	6730±150	5977–5380
		CNA-1345	6646±39	5636–5495
Зам 2 11, ветка, слой 6а, кв. Б8´-А10´, –399–411	дерево	Ле-9524	7270±120	6406–5916
Зам 2 11, узелок сети, слой 5а, кв. А8´	раст. волокна	Ua-50259	7087±45	6052–5885
Зам 2 13, щепа из заполнения слоя 5а, кв. Б8´/Б9´	дерево	Ле-10094	7460±20	6399–6251
Зам 2 13, две ветки, слой 6а, кв. Б8´/3, –411–418	дерево	Ле-10264	7360±50	6369–6088
Зам 2 13, ветка, слой 7, кв. 7, –463–476	дерево	Ле-10262	7400±75	6420–6095
Зам 2 13, ветка, слой 8а, кв. А9´/Б9´/Б10´, –428–450	дерево	Ле-10263	7440±40	6403–6232
Зам 2 13, горизонтальная ветка, слой 7, кв. 4	дерево	Ле-10096	7440±20	6381–6245
Зам 2 13, культурный слой, слой 7, кв. 7, –459–465	сапропель	Ле-10095	8600±160	8211–7342
Зам 2 13, культурный слой, слой 6а, кв. Б8´	сапропель	Ле-10261	8210±80	7460–7059

* — OxCal v4.2.4 Bronk Ramsey (2013); r.5; IntCal13 atmospheric curve (Reimer et al. 2013)



Рис. 57. Замостье 2, 2000, раскоп II. Культурные слои в профиле западной стенки раскопа. Ступенька соответствует поверхности слоя 3 среднего неолита. Фото О. Лозовской.

Fig. 57. Zamostje 2, 2000. Cultural layers on the western stratigraphic section. The step corresponds to the surface of Middle Neolithic layer 3. Photo by O. Lozovskaya.

см. глава 2); образцы на геохимический анализ (8 обр.) и для радиоуглеродного датирования (8 обр.) были отобраны и проанализированы М.А. Кульковой (Кулькова, 2014; см. глава 5); 6 образцов для серии почвенных анализов были взяты А.Л. Александровским (Александровский, 2014).

Дополнительные образцы происходили также из зачищенного разреза восточной стенки останца верши 2011 г. (рис. 56а) (до нижнего мезолитического слоя). Интересно сравнить его с аналогичным разрезом верши 1989 г. (до верха верхнего мезолитического слоя) (рис. 56б); расстояние между ними менее 1 м.

Кроме радиоуглеродной колонки для раскопа с вершами было получено 27 новых дат ^{14}C , в основном, по дереву (табл. 2). Часть из них, относящаяся к ловушкам, уже была неоднократно опубликована (Лозовский и др., 2013; Lozovski et al., 2014 и др.). Возраст вертикальных кольев указывает, по меньшей мере, на два эпизода строительства здесь деревянных сооружений, один из которых совпадает со временем бытования вершей, другой относится к льяловской эпохе среднего неолита. Даты по щепе и веткам, горизонтально-залегающим в слоях мезолита, напротив, оказываются очень близки между собой, несмотря на различный культурный контекст; а также соответствуют возрасту деревянной палки из раскопа 1989 г. Даты по сапропелю, по нашему мнению, сильно удревнены, но здесь мы не будем углубляться в их анализ. Возраст узелка от сетей как раз и может указывать на высокий уровень воды на финальном этапе мезолита.

РАСКОП 1995–2000 ГГ.

Исследования 1990–2000 гг. территории стоянки к северу от раскопа с вершами вдоль русла реки Дубна (на протяжении более 20 м, раскоп II) показали иные условия осадконакопления и характеристики культурных слоев. Наиболее подробно был исследован участок площадью 20 кв. м, который раскапывался экспедицией Сергеево-Посадского музея-заповедника (СПГИХМЗ) под руководством В.М. Лозовского и О.В. Лозовской в 1995–1998 и 2000 гг.¹ Раскопки проводились с трехмерной фиксацией артефактов и полной промывкой седимента для мезолитических слоев (и трех квадратов для слоя раннего неолита), что дало дополнительные возможности для проведения различных палеоэкологических исследований (Radu, Desse-Berset, 2012; Замостье 2..., 2013: 194–229; Berihuete Azorin, Лозовская, 2014; см. глава 4).

Главной особенностью раскопа 1995 г. (кв. АБВГД/9–12) и прилегающих к нему участков (из раскопов 1990 г. АБВГ/1–8 и 1991 г. АБВГД/13–16) было регулярное горизонтальное залегание слоев, без каких-либо нарушений в нижней части разреза (рис. 57). В то же время культурные горизонты отличались насыщенностью артефактами и выразительностью комплексов. Было выделено 10 культурно-литологических горизонтов (слои 3–11), которые

¹ Архив ИА РАН, №№19330 (1995), 20262 (1996), 19856 (1997), 23140 (1998), 6/н (2000)

Замостье 2 1995-2000
Раскоп II. Западная стенка

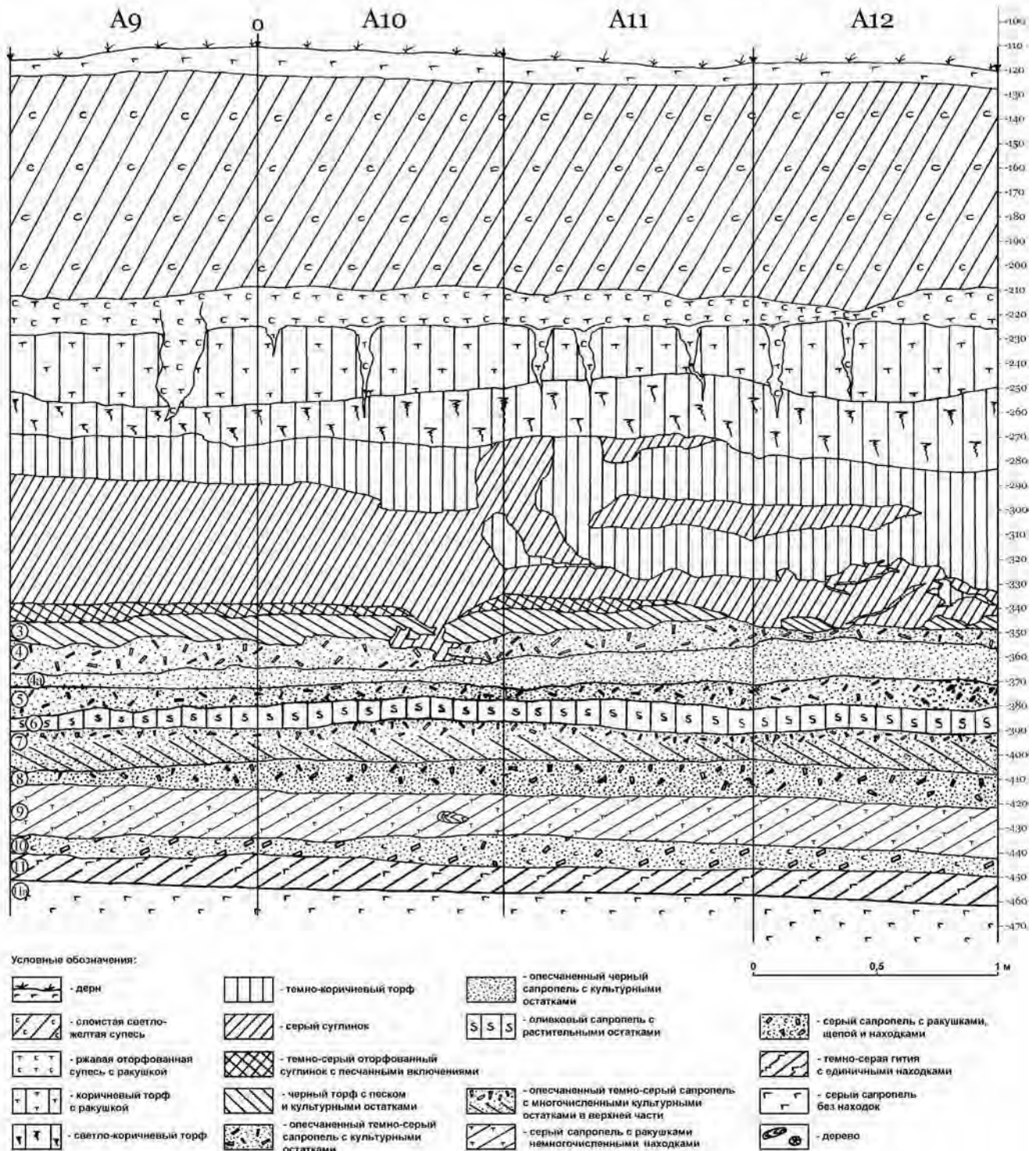


Рис. 58. Замостье 2, 1995–2000, раскоп II. Стратиграфический разрез западной стенки. Цифрами обозначены номера культурных слоев. Рисунок В. Лозовского и О. Лозовской.

Fig. 58. Zamostye 2, 1995–2000. Western stratigraphic section. Figures indicate layers numbers. Fig. by V. Lozovski and O. Lozovskaya.

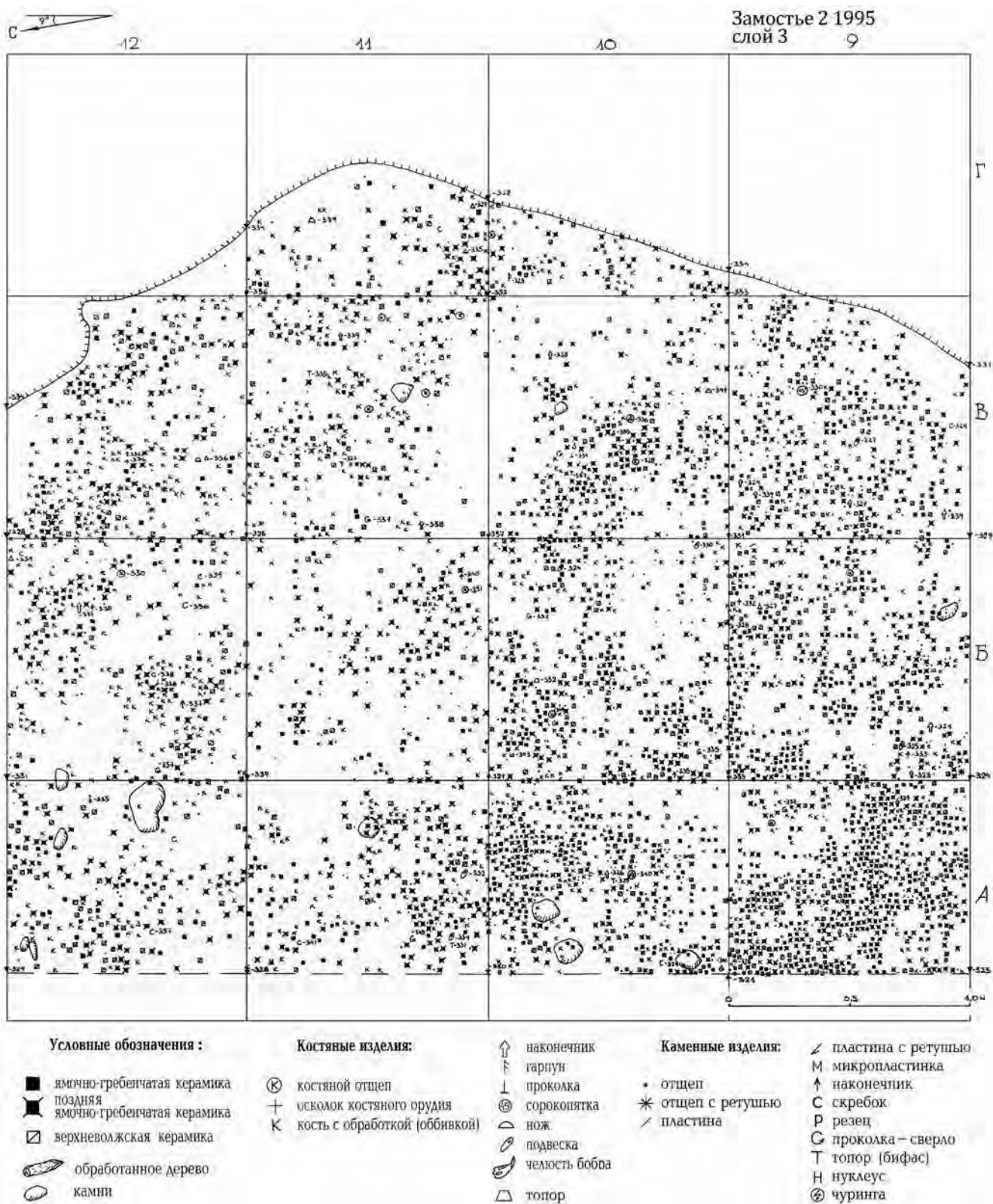


Рис. 59. Замостье 2, 1995, слой 3. План находок. Рисунок В. Лозовского.

Fig. 59. Zamostje 2, 1995, layer 3. Artefacts distribution. Fig. by V. Lozovski.



Рис. 60. Замостье 2, 2000, кв. АА10–11 (ступенька). Поверхность слоя 3 среднего неолита, вид с запада сверху. Фото О. Лозовской.

Fig. 60. Zamostje 2, 2000, sq. AA10–11 (step). Surface of Middle Neolithic layer 3, top-down view from W. Photo by O. Lozovskaya.

включали комплексы пяти основных культурных слоев — нижнего мезолитического слоя (9–11), верхнего мезолитического слоя (7–8), слоя финального мезолита (5–6), раннего (4–4а) и среднего (3) неолита¹.

В отличие от южного участка характер залегания находок на поверхности верхнего мезолитического слоя и в средней части слоя раннего неолита — в последнем случае это послужило основанием для выделения отдельного горизонта 4а — позволяет, по нашему мнению, говорить о «жилой площадке», или остатках дневной поверхности древних поселений.

В раскопе, особенно в нижних слоях, найдено большое количество деревянных артефактов (более 200) (Лозовская, 2008). В то же время вертикальные колья единичны, и их нижние концы не выходят за пределы культурных слоев.

Здесь не было найдено никаких хозяйственных конструкций, в т. ч. рыболовных, однако щепы — небольшие фрагменты лучин с подпрямоугольным сечением — являлась наиболее частым и объемным заполнением культурных слоев. Ее происхождение всегда вызывало вопросы. Хаотично расположенная и без видимых следов намеренной обработки, она, тем не менее, всегда связана с культуросодержащими слоями и, по мнению Л.И. Абрамовой (МГУ им. М.В. Ломоносова), имеет антропогенное происхождение (Ершова, 2013: 183–184).

Дополнительно следует подчеркнуть, что в заполнении культурных слоев (в первую очередь, РН и ВМ), найдены тысячи кремневых чешуек (см. Лозовская, Лозовский, 2015b), мелкие костяные отщепы и осколки орудий, десятки тысяч рыбных костей, семена растений, древесный уголь и т. д., что указывает на спокойные условия формирования культурных отложений.

Описание стратиграфии дается по разрезу западной стенки А9-А12 (верхняя пачка по состоянию на 1995 г.), глубина от дневной поверхности для границы кв. А9/А10 (рис. 58).

0–0,07 м — дерн

0,07–0,97 м — слоистая светло-желтая супесь. Формирование слоя связано с прочистками русла р. Дубны и современными паводками. Единичные находки из разных культурных слоев (слой 1).

0,97–1,15 м — горизонт ржавой оторфованной супеси. Нижняя граница слоя неровная, по разрезу наблюдаются затеки, которые глубоко проникают в нижележащий слой.

1,15–1,44 м — горизонт коричнево-бурого хорошо разложившегося торфа слоистой структуры, с многочисленными ожелезненными включениями, прорезан языками затеками из вышележащего слоя (слой 2).

1,44–1,60 м — горизонт светловато-коричневого торфа, в нижней части с плохо разложившимися крупными древесными остатками. Нижняя граница слоя довольно четкая; к северу его мощность увеличивается до 35 см.

1,60–1,73 м — горизонт темно-коричневого — серо-коричневого торфа без находок с крупными линзами рыжего ракушечника. На кв. А9/10 мощность его почти одинакова — 15–25 см, севернее отмечаются разрывы за счет поднятия нижележащего горизонта серого суглинка, который далее линзами включается в толщу темно-коричневого слоя, мощность последнего при этом резко увеличивается до 40–50 см. В пятнах рыжего ракушечника содержится большое количество разновременных культурных остатков, в основном кремнь (480) и фрагменты керамики (более 1000), часто в вертикальном положении (слой 2а).

¹Слои обозначены арабскими цифрами на рис. 58.



Рис. 61. Замостье 2, 1995. Соотношение слоев среднего (3) и раннего (4) неолита на южной стенке раскопа, кв. БВ9, вид с Ю. Фото В. Лозовского.

Fig. 61. Zamostje 2, 1995. Correlation of the Middle (3) and Early (4) Neolithic layers on the southern section of sq. B9, view from S. Photo by V. Lozovski.



Рис. 62. Замостье 2, 1995. Поверхность слоя 4 на кв. В11. Вид с С. Фото О. Лозовской.

Fig. 62. Zamostje 2, 1995. Surface of layer 4 in sq. B11. View from N. Photo by O. Lozovskaya.

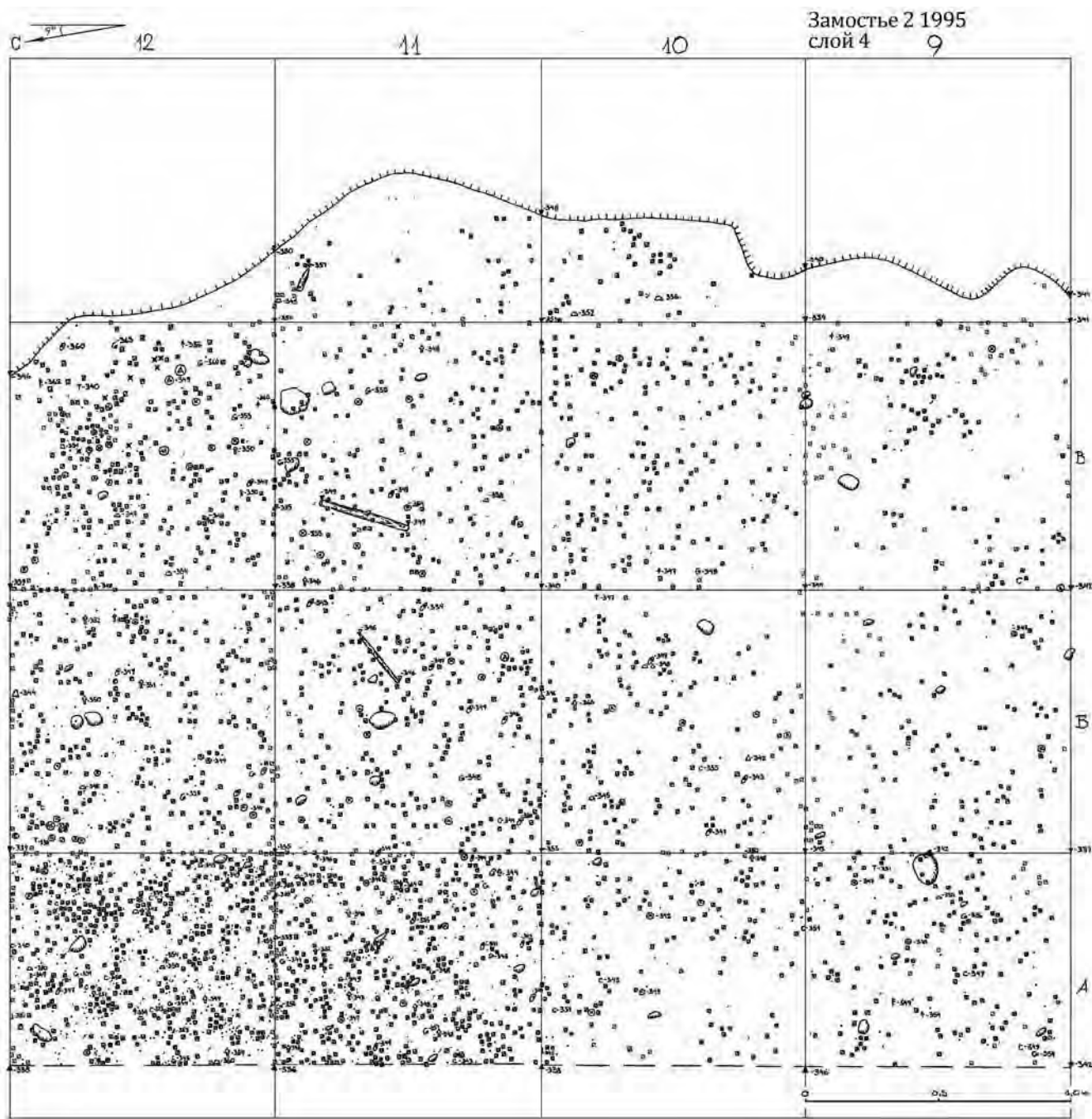


Рис. 63. Замостье 2, 1995, слой 4. План находок (без костей без обработки). Рисунок В. Лозовского.

Fig. 63. Zamostje 2, 1995, layer 4. Artefacts distribution (excluding unworked bones). Fig. by V. Lozovski.

Калиброванные радиоуглеродные даты помещают формирование этой пачки торфянистых отложений в первую половину второго тысячелетия нашей эры (табл. 3); образцы происходят из кв. А8, где их общая мощность составляла всего 40 см.

1,73–2,30 м — слой серого суглинка без находок. В южной части разреза этот слой представлен однородной толщей, мощностью 40–50 см, однако, далее к северу эта толща разделяется на отдельные линзы, и мощность ее снижается до 12–20 см. На кв. А12 четко фиксируются следы разрушения нижележащих слоев; в южной части в основании слоя, напротив, в результате их переработки выделяется небольшая прослойка из темно-серого оторфованного суглинка с песчаными включениями. На кв. А10 отмечается затек глубиной 20 см. Формирование этого горизонта датирова-

но по пыльце суббореальной трансгрессией (Алешинская и др., 2001). Без находок.

2,30–2,40 м — слой черно-коричневого хорошо разложившегося торфа с песком и культурными остатками, прорезан суглинистыми прослойками, верхняя граница размывта за счет переработки аллювиальными процессами, в северной части раскопа местами почти целиком уничтожен (кв. А12) и был выражен только по находкам керамики. Очевидно, что этот горизонт подвергся частичному разрушению и переотложению на месте, многие находки залежали вертикально или наклонно. Нижняя граница более стабильна и четко отделялась от нижележащего слоя (рис. 61). С этим горизонтом связан слой льяловской культуры среднего неолита, исключительно насыщенный находками (слой 3) (рис. 60).

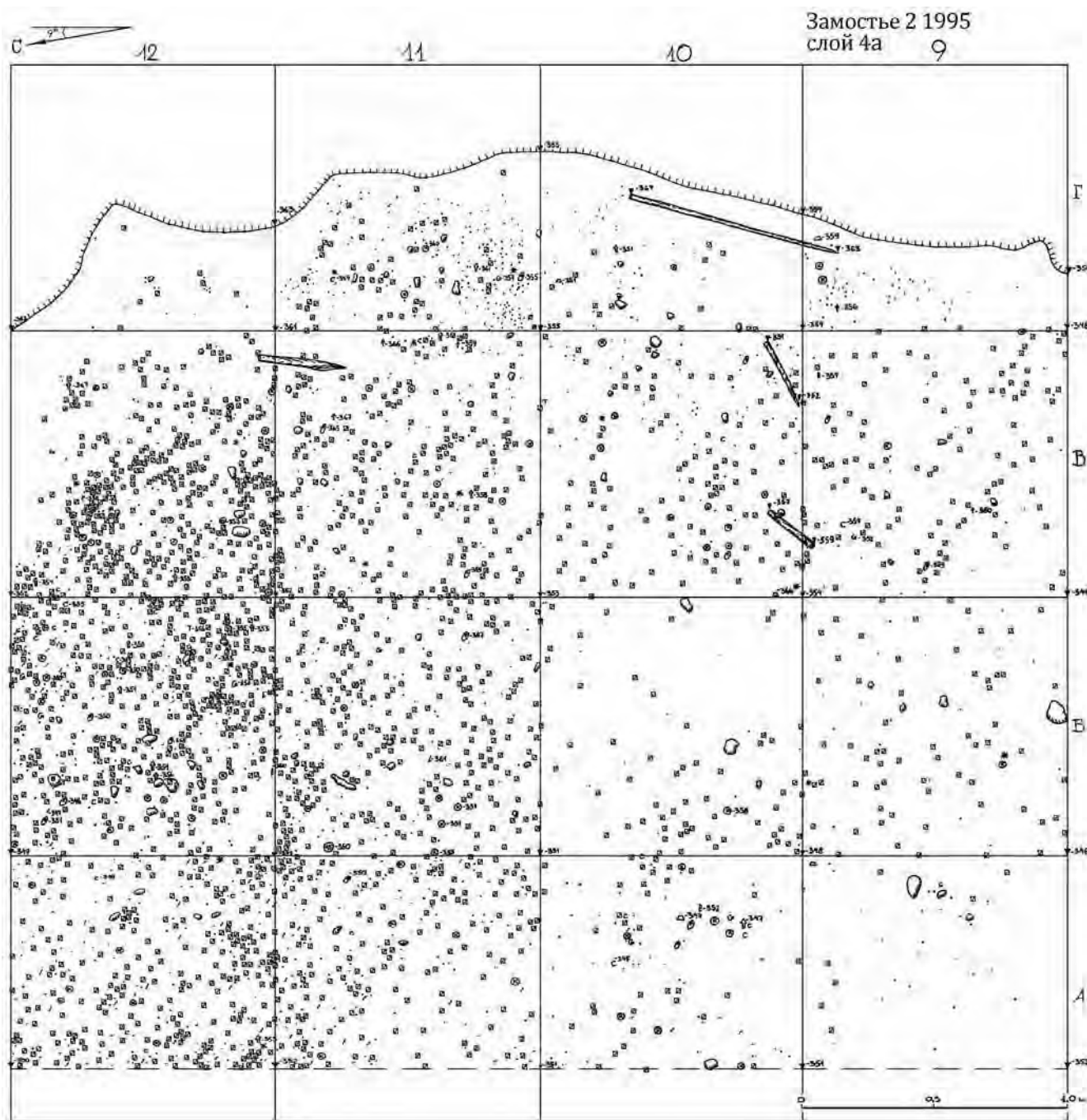


Рис. 64. Замостье 2, 1995, слой 4а. План находок (без костей без обработки). Рисунок В. Лозовского.

Fig. 64. Zamostje 2, 1995, layer 4a. Artefacts distribution (excluding unworked bones). Fig. by V. Lozovski.

✧ Несмотря на то, что площадь культурного слоя составляла менее 15 кв. м (рис. 59), найдено 650 изделий из кремня, 84 из кости и рога (10 наконечников стрел) и один предмет с обработкой из дерева. Среди фрагментов льяловской керамики (1396 экз.) преобладали горшки позднего этапа (1004 экз.); черепки других типов немногочисленны (волосово 12, ввк 84).

2,40–2,50 м — горизонт опесчаненного сапропеля темно-серого цвета с примесью щепы, прослеживается по линии квадратов А, Б, В и частично Г, далее уничтожен обрывом берега. Отличается от предыдущего обилием плохо разложившихся мелких растительных остатков, в т. ч. фрагментов коры, листьев, скорлупы лесных орехов, корешков и семян, щепы мелкая, обломки веток

единичны. В заполнении слоя много рыбьих костей, но скоплений они не образуют. Мощность слоя около 10 см, лишь на кв. А12 падает до 5 см. Со слоем связаны находки верхневолжской керамики (рис. 62); насыщенность его культурными остатками велика (рис. 63). Формирование этого слоя связано, по всей видимости, с обводнением этой территории и затоплением участка берега, где располагалась стоянка верхневолжской культуры (слой 4).

✧ Верхневолжская керамика включает 2274 фрагмента: преобладает накольчатая (1048 экз.) и неорнаментированная (658 экз.), 206 черепков украшены оттисками мелкозубчатого штампа, нанесенных в технике отступающей лопаточки. Для четырех сосудов был получен радиоуглеродный возраст



Рис. 65. Замостье 2, 1995, кв. БВ9–12. Поверхность слоя 4а раннего неолита, вид с запада сверху. Фото О. Лозовской.
Fig. 65. Zamostje 2, 1995, sq. БВ 9–12. Surface of Early Neolithic layer 4a, view from the top west. Photo by O. Lozovskaya.



Рис. 66. Замостье 2, 1995, слой 4а. Фрагменты ложечки (кв. А12) и рыболовного крючка (кв. В12) из дерева. Фото О. Лозовской.

Fig. 66. Zamostje 2, 1995, layer 4a. Spoon (sq. A12) and fish hook fragments (sq. B12) made of wood. Photo by O. Lozovskaya.

по нагару¹, в одном случае скорректированный на основе даты растительной обвязки в ремонтном отверстии (Meadows et al., 2015). Керамики среднего неолита найдено не было. Кремневая индустрия (более 4000 изделий, в т. ч. 220 орудий) представлена в основном мелкими отщепами (Лозовская, Лозовский, 2015b). Найдено более 220 костяных изделий, не считая костяных отщепов: это наконечники стрел, проколки, ножи из ребер, подвески, орудия их челюстей бобра.

2,50–2,57 м — слой черного опесчаненного сапропеля с культурными остатками. Щепка мелкая, и ее количество меньше, чем в вышележащем горизонте; обломки веток единичны. Много мелкой чешуи и рыбьих костей, осколков крупных костей и угольков, а также керамической крошки. Судя по тому, что фрагменты керамики залежали на поверхности слоя в строго горизонтальном положении (рис. 65) — этот слой не подвергался воздействию воды и может быть охарактеризован, как уровень жилой площадки поселения верхневолжской культуры (слой 4а).

¹ SPb-718, 719, 726 и KIA 50906, см. Радиоуглеродная хронология..., 2016: 190–192, 194.

В южной части данного разреза мощность слоя минимальна, к северу она увеличивается почти в два раза, в среднем она составляла 7–10 см.

✧ Кроме верхневолжской керамики (1194 экз.) — преобладает с накольчатой орнаментацией (598) и без орнамента (388)² — найдено много кремня (более 5000), более половины из которого составляют отщепы меньше 2 см и чешуйки до 0,5–1 см. Костяной инвентарь немногочислен — 150 орудий и много костяных отщепов (рис. 64). Среди деревянных изделий следует отметить фрагменты ложечки и рыболовного крючка (рис. 66).

2,57–2,66 м — слой сапропеля темно-серого цвета, опесчаненного, с мелкой дресвой, обильной примесью щепы и культурными остатками. Есть крупные угли (углей много) и семена растений, много рыбьих костей и чешуи, ракушек нет. Большое число палок и веток в горизонтальном залегании, щепка мелкая и распределена равномерно по всей толще; в этом слое найдено несколько обрывков скрученных веревочек из волокон ивы (опре-

² Даты по нагару неорнаментированных фрагментов SPb-721–723, 725 и 728, см. Радиоуглеродная хронология..., 2016: 190–191, 193.



Рис. 67. Замостье 2, 1995, слой 5. Скрученные веревочки из волокон ивы (три определения М.И. Колосовой), кв. А11, А12 и Б11. Фото О. Лозовской.

Fig. 67. Zamostje 2, 1995, layer 5. Twisted ropes made of willow fibre (determination of three samples by M. I. Kolosova), sq. A11, A12 and B11. Photo by O. Lozovskaya.



Рис. 68. Замостье 2, 1996, слой 5, кв. А11 и А12. Вид с запада. Фото О. Лозовской.

Fig. 68. Zamostje 2, 1996, layer 5, sq. A11 and A12. View from W. Photo by O. Lozovskaya.

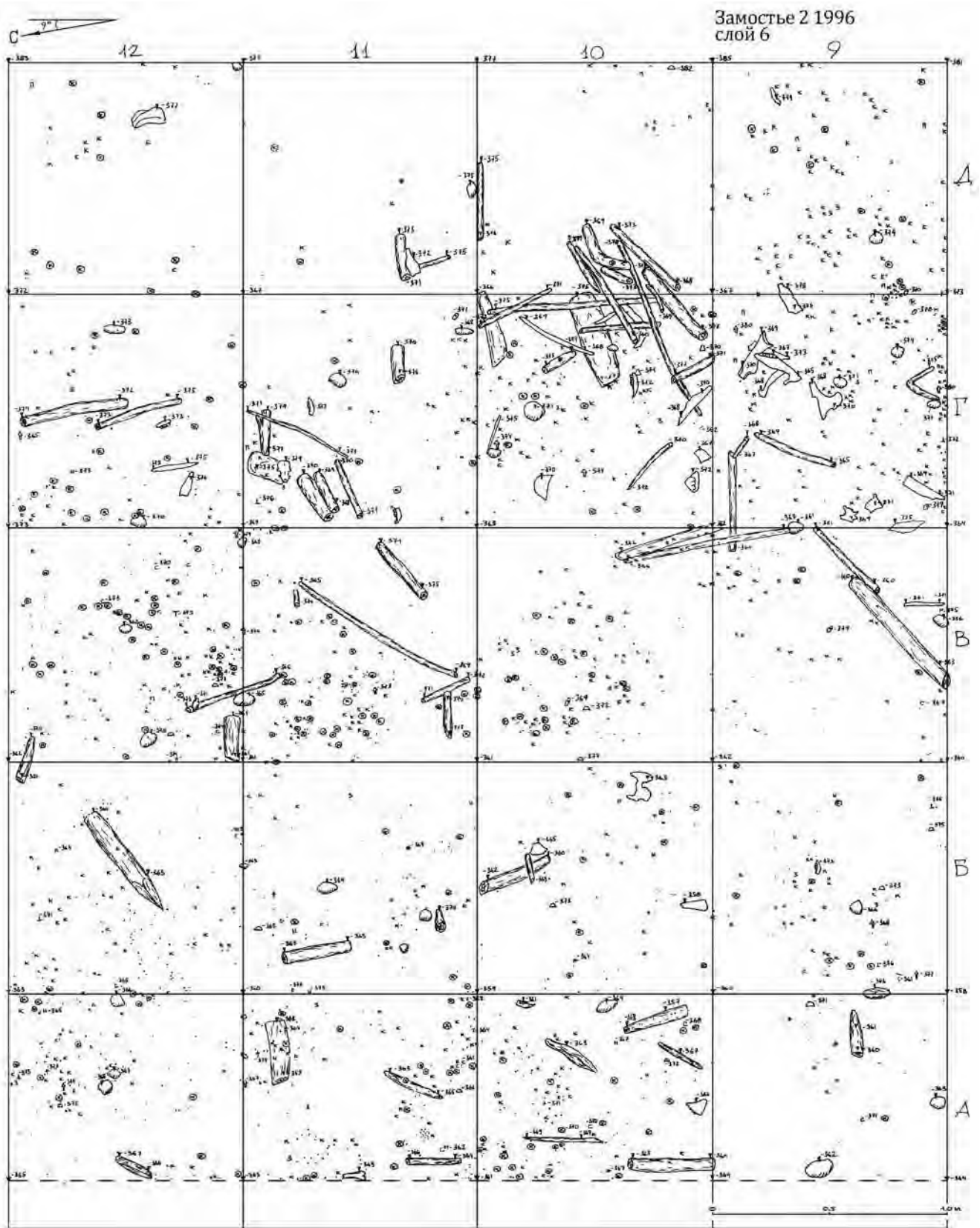


Рис. 70. Замостье 2, 1996, слой 6. Общий план находок. Рисунок В. Лозовского.

Fig. 70. Zamostje 2, 1996, layer 6. General plan of artefacts distribution. Fig. by V. Lozovski.



Рис. 71. Замостье 2, 1996. Поверхность слоя 7 на кв. Б12 (сверху) и Б10-Б11 (снизу). Вид с З. Фото О. Лозовской.

Fig. 71. Zamostje 2, 1996. Surface of layer 7 in sq. B12 (above) and B10-11 (below). View from W. Photo by O. Lozovskaya.



Рис. 72. Замостье 2, 1996–1997. Поверхность слоя 7 (сверху) и зачистка нижнего горизонта (снизу), вид с ССВ. Фото О. Лозовской.

Fig. 72. Zamostje 2, 1996–1997. Surface (above) and lower horizon (below) of layer 7, view from NNE. Photo by O. Lozovskaya.



Рис. 73. Замостье 2, 1997, скопления находок в нижней части слоя 7. Вид с В. Фото О. Лозовской.

Fig. 73. Zamostje 2, 1997, artefacts concentrations in the lower part of layer 7. View from E. Photo by O. Lozovskaya.

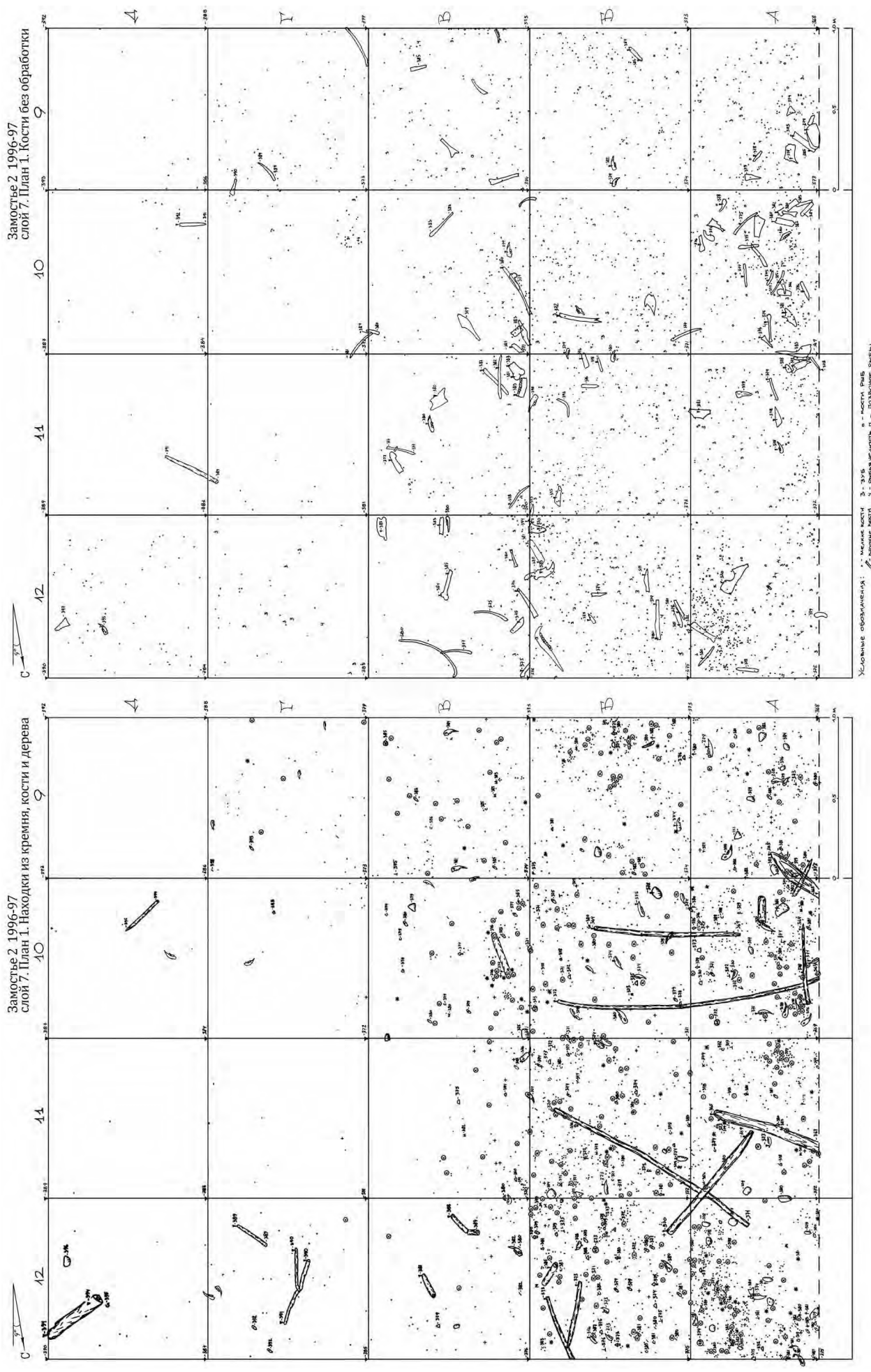


Рис. 74. Замостье 2, 1996–1997, слой 7. План находок в верхней части слоя. Рисунок В. Лозовского.
Fig. 74. Zamostje 2, 1996–1997, layer 7. Artefacts distribution in the upper part of the layer. Fig. by V. Lozovski.

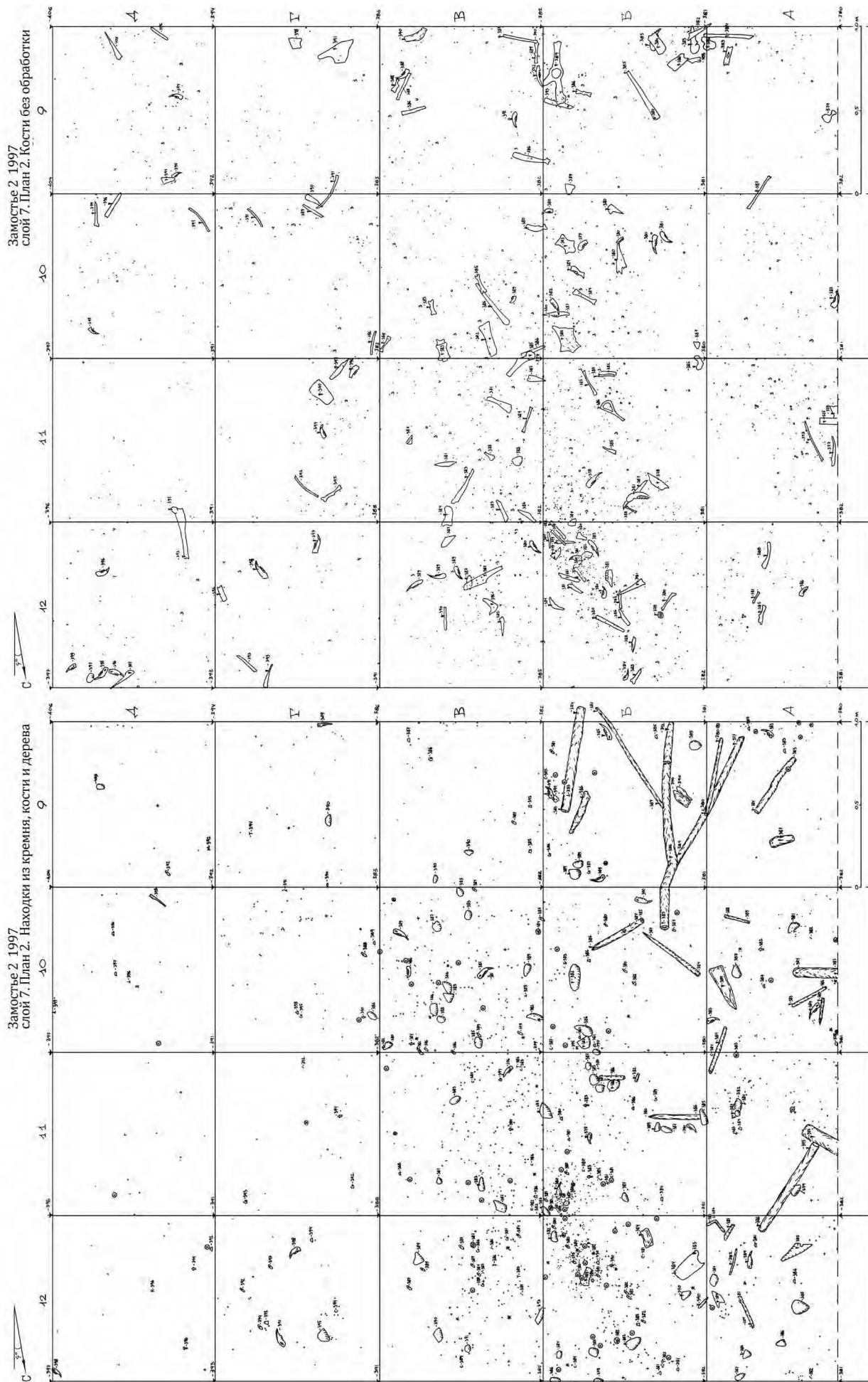


Рис. 75. Замостье 2, 1996–1997, слой 7. План находок в нижней части слоя. Рисунок В. Лозовского.

Fig. 75. Zamostje 2, 1996–1997, layer 7. Artefacts distribution in lower part of the layer. Fig. by V. Lozovski.



Рис. 76. Замостье 2, 1997, слой 8. Поверхность верхнего (а) и нижнего (б) горизонтов; скопление на кв. БВ9-10 (с). Вид с севера (а), юга (б) и запада (с). Фото О. Лозовской.

Fig. 76. Zamostje 2, 1997, layer 8. Surface of the upper (a) and lower (b) horizons; artefacts concentration in sq. БВ9-10 (c). View from N (a), S (b) and W (c). Photo by O. Lozovskaya.

деление М.И. Колосовой, ГЭ) (рис. 67). Мощность слоя колеблется от 7 до 13 см. Насыщенность культурными остатками средняя (рис. 68). Судя по практически полному отсутствию находок керамики, можно отнести этот горизонт к мезолиту. Даты по сапропелю и дереву показали близкий возраст: 6850 ± 40 BP и 6890 ± 50 BP (табл. 3). Предварительная интерпретация — финальномезолитический слой (слой 5).

✧ Найдены 260 орудий из кости-рога (наконечники стрел и острог, ножи, проколки, подвески и др.) и более 5,5 тыс. кремневых изделий (без осколков и чешуек) (рис. 69).

2,66–2,75 м — горизонт оливкового сапропеля с растительными остатками в виде остатков листьев и корешков, многочисленными фрагментами мелких веток и крупными кусками коры, в т. ч. расположенными скоплениями (многочисленными находками крупных необработанных древесных остатков). В отличие от предыдущих слоев, характеризуется практически полным отсутствием в своем составе песчаных включений. Мощность слоя около 10 см, местами (кв. А9) падает до 5 см. Культурные остатки немногочисленны (слой 6). По заключению Ю.А. Лаврушина и Е.А. Спиридоновой этот горизонт представляет собой отложения грязевого потока, в который попали культурные остатки (Алешинская и др., 2001: 250).

✧ Инвентарь слоя относительно бедный (рис. 70): 70 изделий из кости-рога (наконечники метательного вооружения, проколки, ножи), не считая отщепов и технологических отбросов, и 945 кремневых изделий (без чешуек). Единственный достоверный предмет из дерева — модель лодочки с заостренными концами (Лозовская, 2008: рис. 1–20).

2,75–2,91 м — горизонт темно-серого сапропеля со щепой, фрагментами коры, обломками веток и другими растительными остатками, в большом количестве встречается чешуя и кости рыб, мелкие угли. Насыщенность горизонта песчаными включениями меняется от высокой вверху до относительно небольшой в нижней части. Культурные остатки многочисленны, в кровле слоя плотность находок в горизонтальном залегании исключительно велика (рис. 71 и 72), что позволяет говорить о поверхности жилой площадки позднемезолитического поселения. Это верхний мезолитический слой стоянки (слой 7). Мощность слоя колеблется от 10 до 15 см. В нижнем горизонте слоя концентрация находок заметно падает (рис. 72 и 73).

✧ Костяной инвентарь (рис. 74 и 75) включал более 600 орудий и обломков, в основном ножей из ребер, проколки, подвески и орудий из челюстей бобра, скошенных орудий, наконечников, тесел, но также отдельные уникальные экземпляры: орнаментированную рукоять, пазовые наконечники с шипами и крючки. Кроме того было найдено более 400 технологических фрагментов и более 300 костяных отщепов. Кремневая индустрия слоя (без учета результатов промывки) насчитывает около 6 тысяч артефактов, в т. ч. 470 ретушированных орудий. Изделия из дерева немногочисленны (10 экз.) (Лозовская, 2008).

2,91–3,01 м — горизонт темного серого сапропеля с включениями плохо разложившихся растительных и древесных остатков, щепы очень много, в слое она распределена равномерно и плотно. Насыщенность крупными фрагментами деревьев и ветками по сравнению с предыдущим слоем выше; количество культурных, наоборот, несколько уменьшается. Много костей и ломаной рыбьей чешуи, в небольшом количестве встречаются мелкие дву-

створчатые ракушки. Этот горизонт представляет собой нижнюю часть вышележащего верхнего мезолитического слоя (слой 8), при этом более высокая плотность находок смещается в сторону реки. Залегание слоя в целом горизонтальное (рис. 76).

✧ Численность находок заметно падает по сравнению с верхней частью слоя (рис. 77 и 78): насчитывается 321 экземпляр костяных орудий и более 300 костей с обработкой и сколов оббивки. Среди 1,7 тыс. кремневых изделий (без чешуек) всего около 250 орудий. Деревянный инвентарь, напротив, оказался более информативным: помимо 19 тонких кольшкков, найденных в лежачем положении, были зафиксированы верхушки четырех кольев, уходящих вертикально вглубь; на границе раскопа у реки найден фрагмент крупного подрубленного по краям бревна с застрявшим острием костяного орудия (вероятно, стрелы).

3,01–3,11 м — горизонт серого сапропеля с большим количеством мелких ракушек разной формы, в т. ч. целых, и крупной разрозненной щепой. В заполнении слоя встречается немногочисленная, но крупная чешуя и целые кости рыб, отдельные древесные угли, корешки. Мощность слоя 5–10 см. Археологических находок немного (рис. 79 и 80), они отличаются отсутствием мелких фракций (слой 9). Они располагаются в средней и нижней части слоя. Большинство изделий имеет горизонтальное залегание. Значительно чаще, чем в верхних слоях, встречаются крупные целые кости лося. Много камней и галек, особенно на линии квадратов Б и В. Крупные фрагменты дерева (ветки, палки, куски коры) и деревянные кольшкки встречены по всей территории раскопа, при этом наиболее насыщенными оказались квадраты Б12–В12 и В9–В10. По мнению Е.А. Спиридоновой, формирование этого слоя происходило в трансгрессивную фазу существования древнего водоема.

✧ Очевидно, что все артефакты попали в слой случайно. Среди 84 костяных орудий и фрагментов не встречено ни одного наконечника стрелы, лучше других представлены челюсти бобра, ножи и тесла; костяные отщепы насчитывают 17 экз. Число изделий из кремня составляет 475 предметов, в том числе 130 мелких отщепов из промывки, гальки без обработки (8) и расколотые обломки неопределенной формы. Определимые изделия (282) включают 11 нуклеидных предметов, 32 пластины и 36 орудий на отщепах. Среди деревянных изделий (37 экз.) распространены колья, уплощенные острия, найдена также уникальная пластина с двусторонним орнаментом и угловая рукоять для тесла (Лозовская, 2008). В целом материал близок инвентарю нижнего слоя стоянки.

3,11–3,26 м — горизонт темно-серого сапропеля, сильно насыщенный древесной щепой и другими растительными остатками (кора, веточки, корешки). В заполнении слоя также встречаются рыбьи кости, крупная чешуя, редкие крупные угольки и разнообразные ракушки. Мощность по разрезу колеблется от 10 до 15 см. Поверхность слоя ровная по всей площади (рис. 81). В нижней части вдоль восточной границы раскопа (квадраты линии Г и Д) начинается хаотичное скопление крупных фрагментов древесины (ветки, палки, кора) (рис. 82), в т. ч. деревянных изделий, связанное, вероятно, с прибрежно-волновой деятельностью; скопление уходит в нижележащий слой (рис. 84). Количество культурных остатков, по сравнению с предыдущим, заметно возрастает (рис. 83). Этот гори-

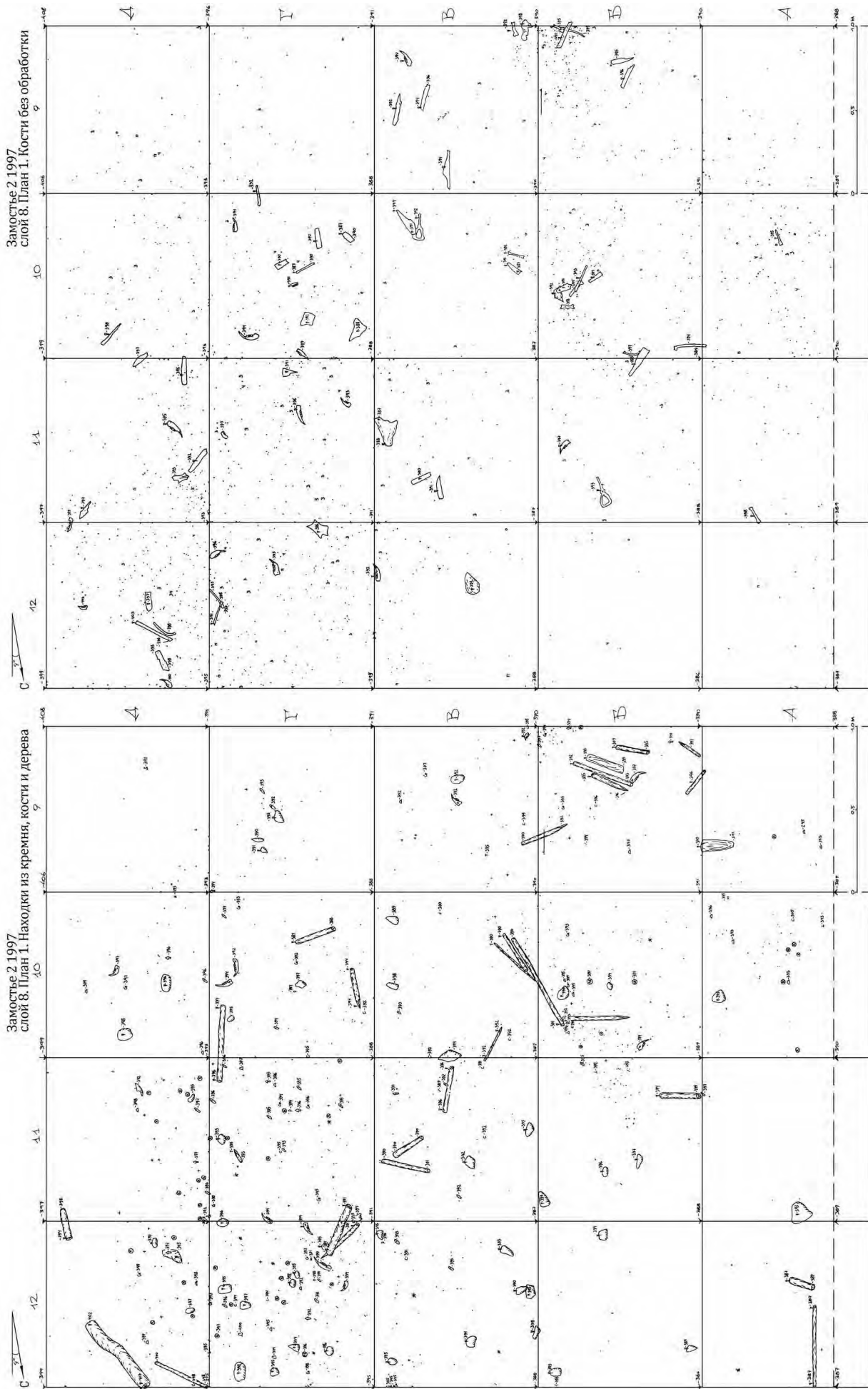


Рис. 77. Замостье 2, 1997, слой 8. План находок в верхней части слоя. Рисунок В. Лозовского.
 Fig. 77. Zamostje 2, 1997, layer 8. Artefacts distribution, upper part of the layer. Fig. by V. Lozovski.

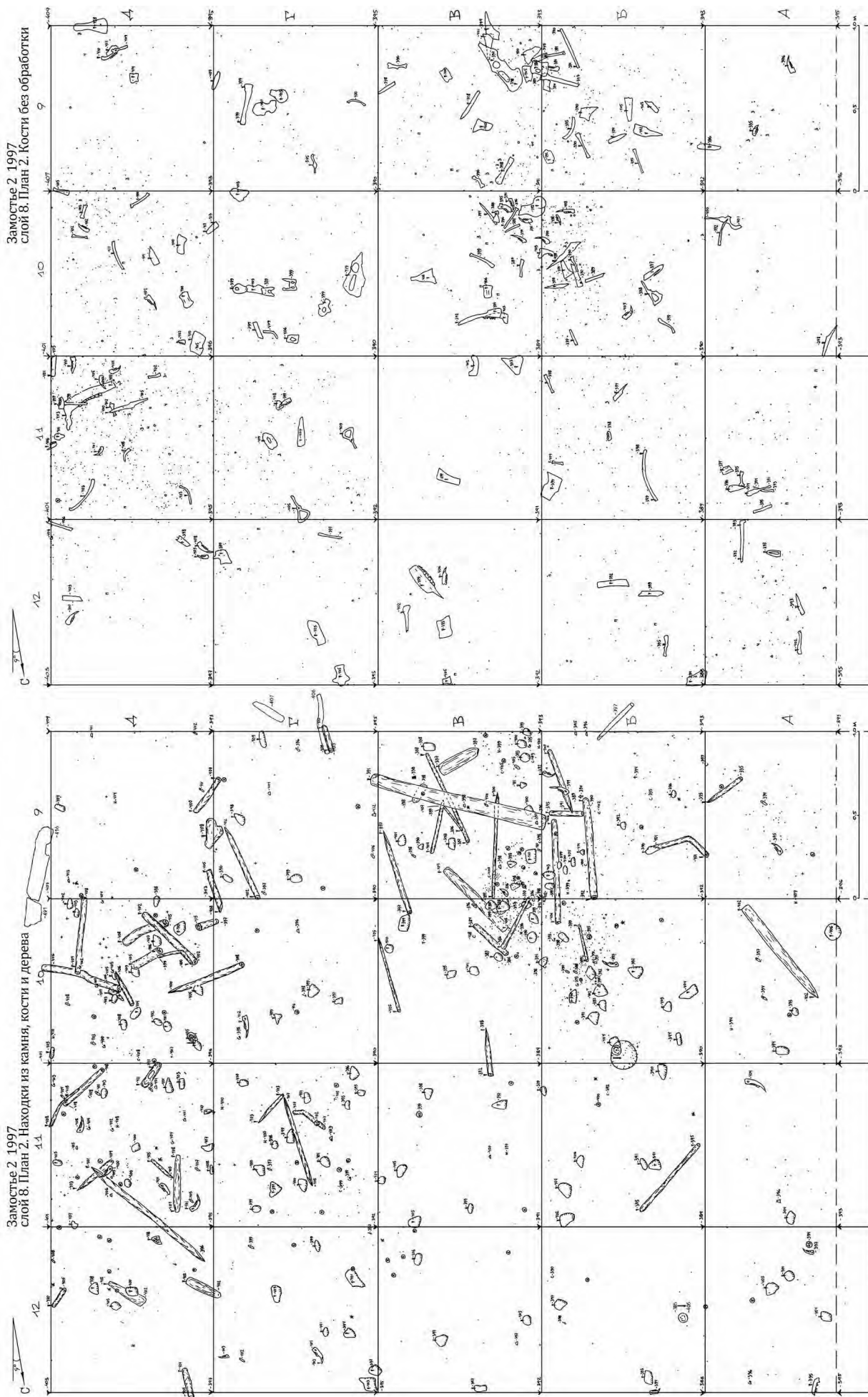


Рис. 78. Замостье 2, 1997, слой 8. План находок в нижней части слоя. Рисунок В. Лозовского.
 Fig. 78. Zamostje 2, 1997, layer 8. Artefacts distribution, lower part of the layer. Fig. by V. Lozovski.

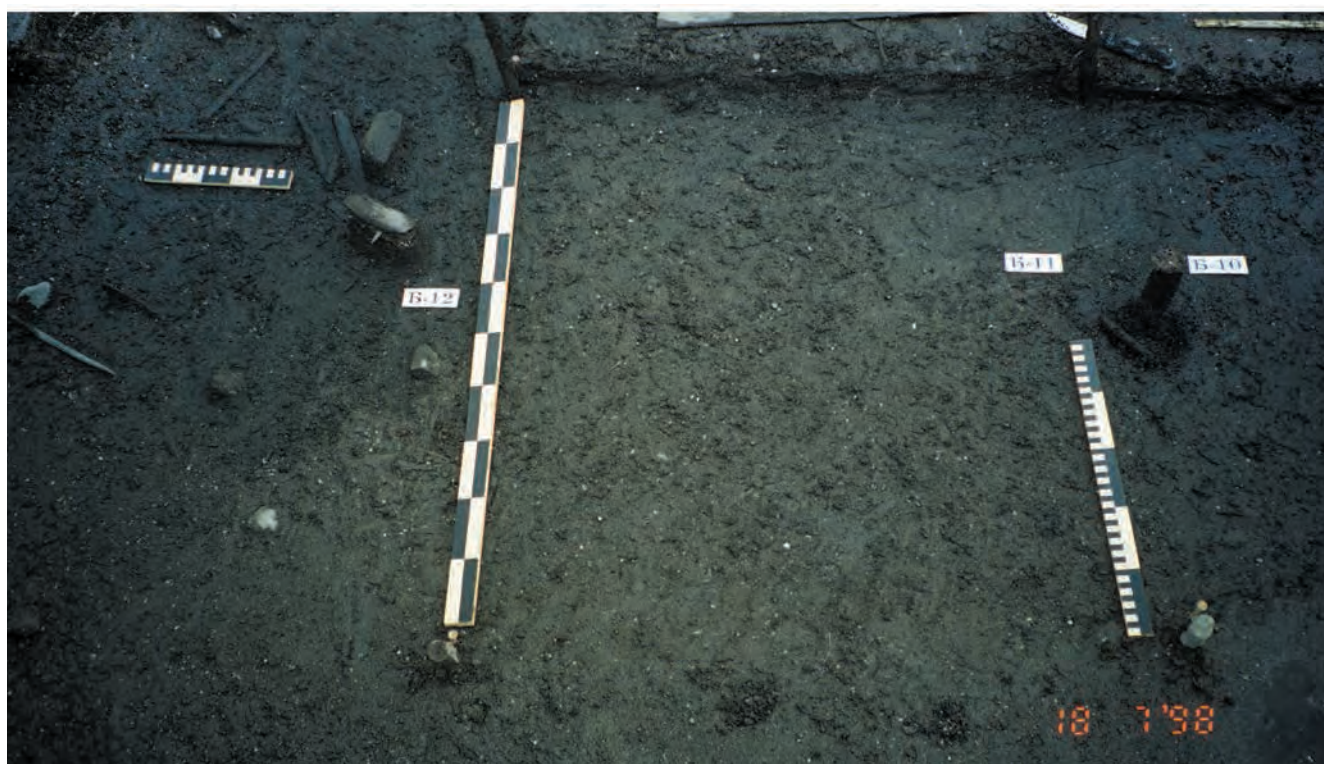


Рис. 79. Замостье 2, 1998, слой 9. Деревянные артефакты на кв. А9 и Б10-Б12, вид с З. Фото О. Лозовской.

Fig. 79. Zamostje 2, 1998, layer 9. Wooden artefacts in sq. А9 and Б10-Б12, view from W. Photo by O. Lozovskaya.

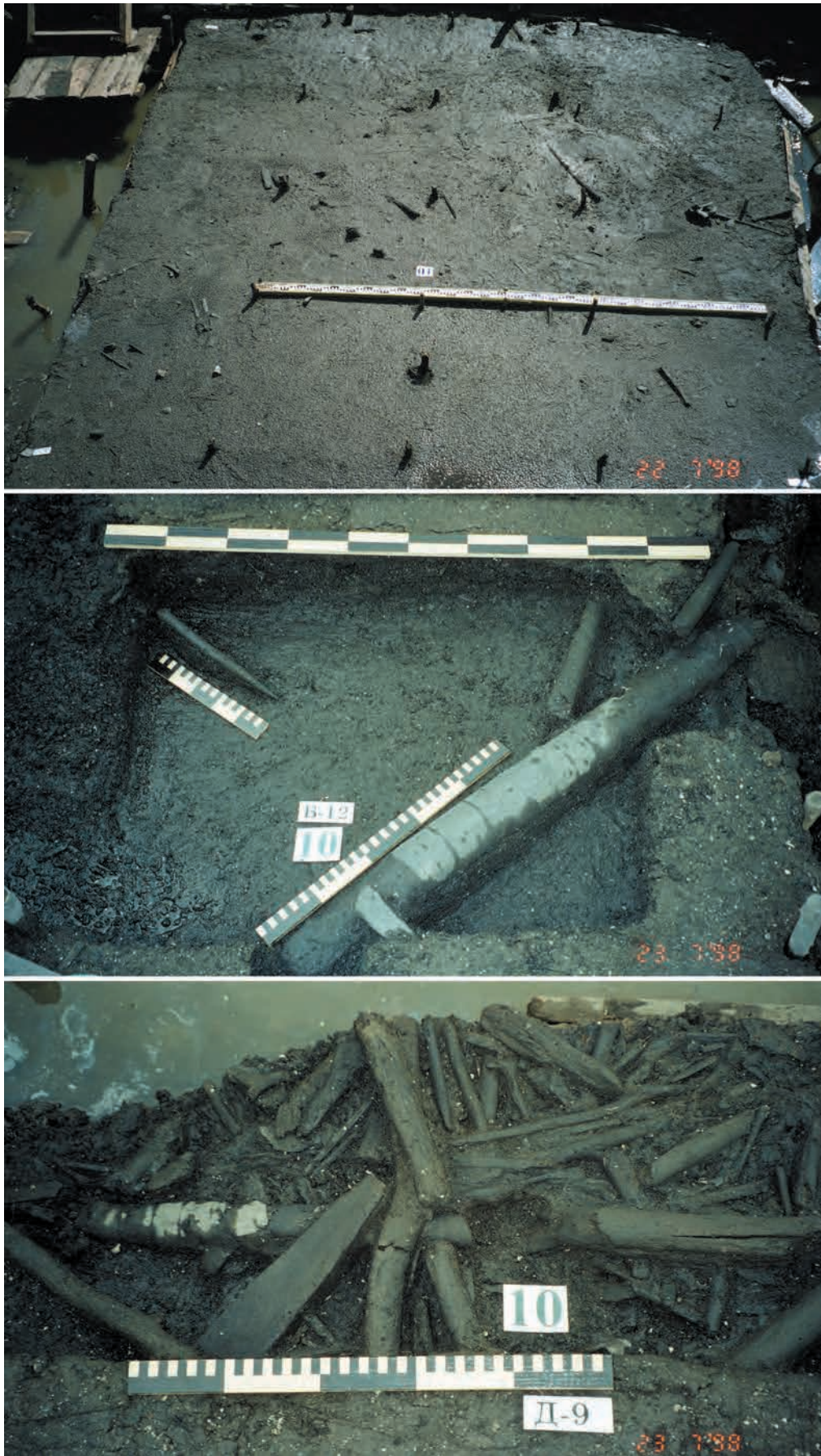


Рис. 81. Замостье 2, 1998, слой 10. Поверхность слоя (а) и деревянные находки на кв. Б12 (крупный кол) и Д8, вид с З и С (с). Фото О. Лозовской.

Fig. 81. Zamostje 2, 1998, layer 10. Surface of the layer (a) and wooden artefacts in sq. B12 (big pile) and D8, view from W and N (c). Photo by O. Lozovskaya.



Рис. 82. Замостье 2, 2000, слой 10. Скопление древесины по линии квадратов Г и Д (сверху) и деталь скопления на кв. Д11 (снизу). Вид с З и В. Фото О. Лозовской.

Fig. 82. Zamostje 2, 2000, layer 10. Concentration of wood along squares Г and Д (above) and a part of the concentration in sq. Д11 (below). View from W and E. Photo by O. Lozovskaya.

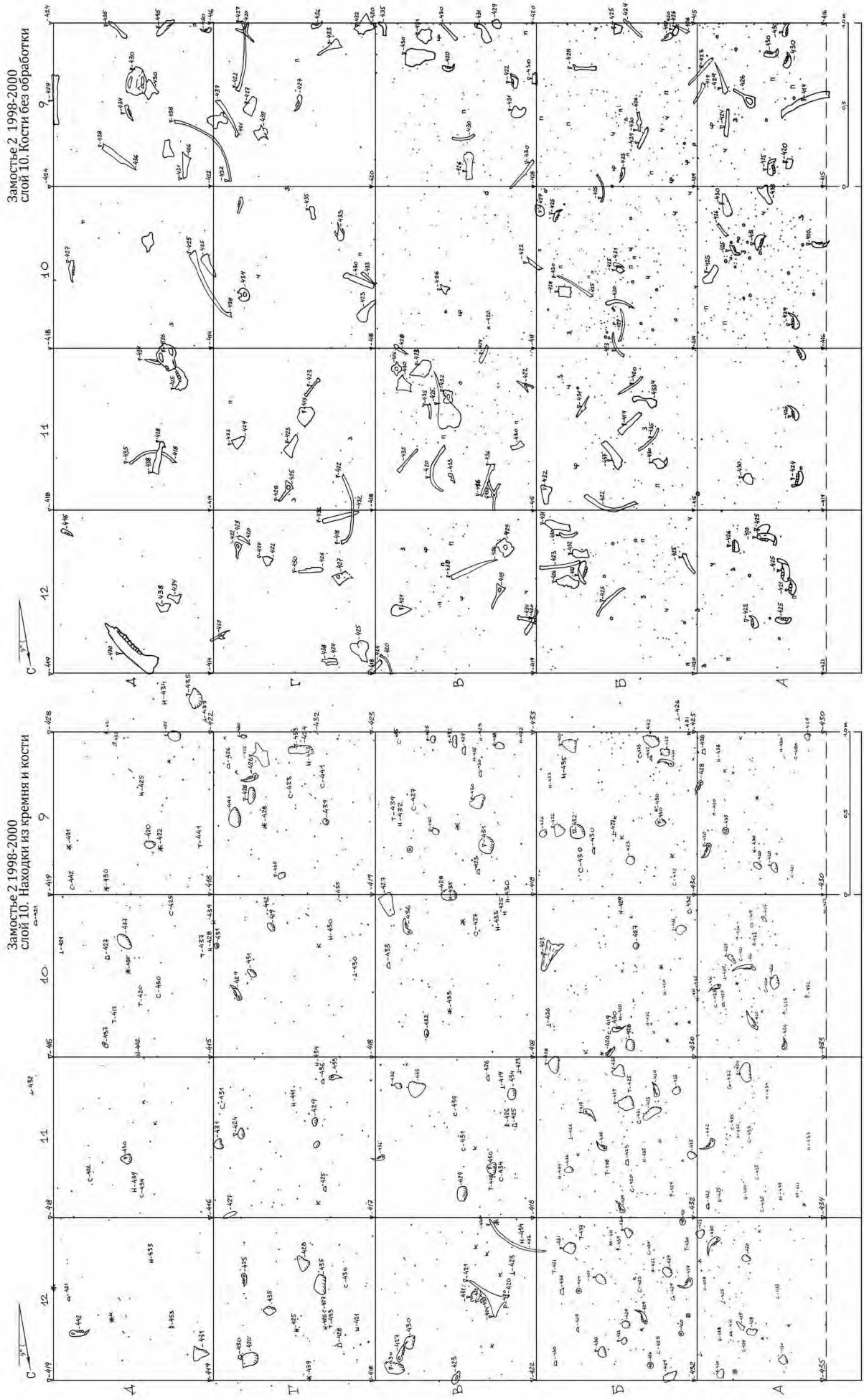


Рис. 83. Замостье 2, 2000, слой 10. План находок. Рисунок В. Лозовского.
Fig. 83. Zamostje 2, 2000, layer 10. Artefacts distribution. Fig. by V. Lozovski.

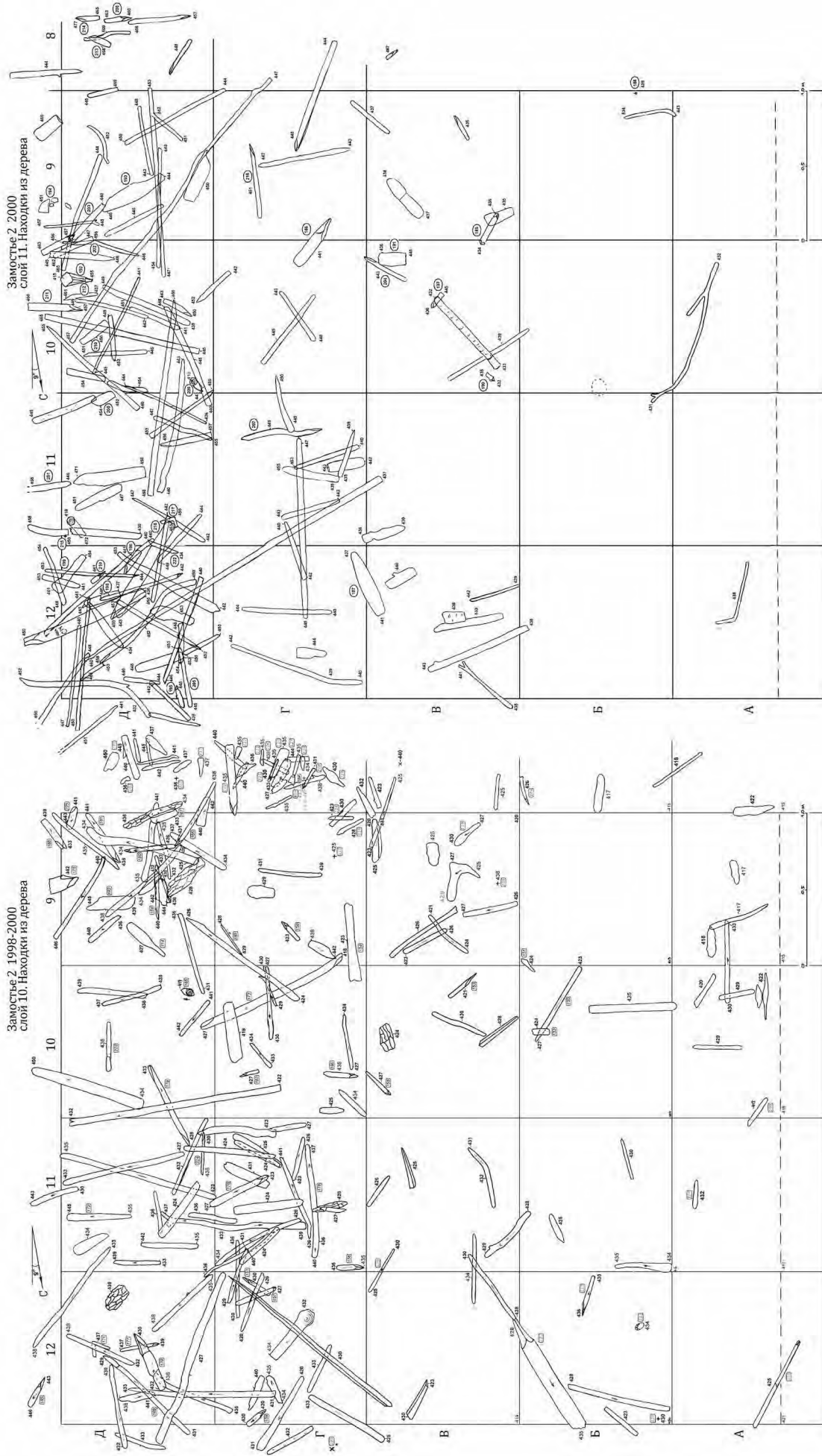


Рис. 84. Замостье 2, 2000, слои 10 и 11. План находок из дерева. Рисунок О. Лозовской.
 Fig. 84. Zamostje 2, 2000, layer 10 and 11. Wooden artefacts distribution. Fig. by O. Lozovskaya.



Рис. 85. Замостье 2, 2000, слой 11. Поверхность слоя и процесс расчистки деревянных артефактов на кв. Д9. Вид с Ю. Фото О. Лозовской.

Fig. 85. Zamostje 2, 2000, layer 11. Surface of the layer and wooden artefacts during excavation in sq. Д9. View from S. Photo by O. Lozovskaya.

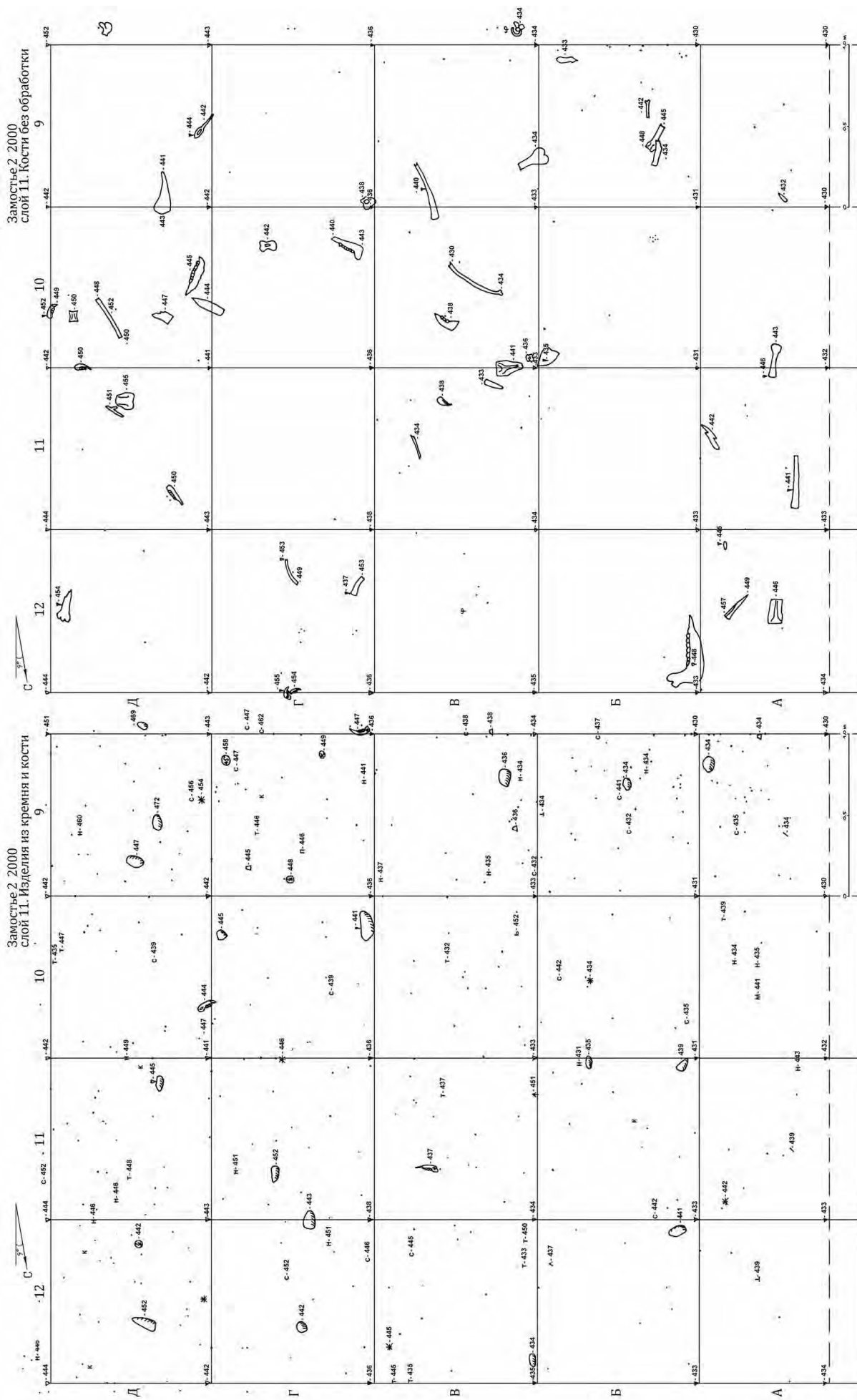
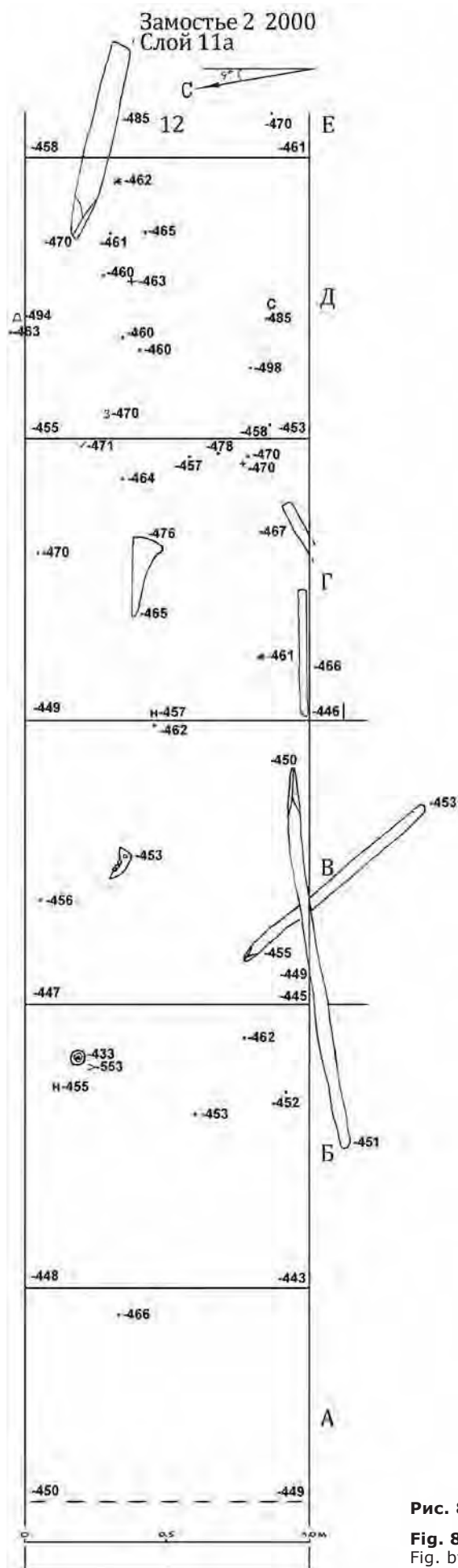


Рис. 86. Замостье 2, 2000, слой 11. План находок. Рисунок В. Лозовского.
 Fig. 86. Zamostje 2, 2000, layer 11. Artefacts distribution. Fig. by V. Lozovski.



зонт представляет собой нижний мезолитический слой (слой 10). Слой особенно сильно насыщен гуминовыми кислотами, которые в виде плотной сажистой пленки (или окрашенной в черный цвет карбонатной корки) покрывают поверхность не только деревянных предметов, но и многих изделий из камня и кости.

✧ Коллекция костяных/роговых изделий включает 256 экз. без отщепов (66) — это в первую очередь челюсти бобра, ножи из ребер, наконечники стрел и острог, проколки, тесла; в то время как подвески, ножи из лопаток и крупных трубчатых отсутствуют. Кремневый инвентарь насчитывает 1261 изделие. Комплекс отличается большим процентом нуклеидных и бифасиально обработанных предметов (83 экз.), а также крупных отщепов и почти полным отсутствием мелких чешуек длиной до 1 см. Найдено 48 пластины и 74 орудия, в основном на отщепках. Из дерева изготовлено 70 изделий (Лозовская, 2008).

3,26–3,36 м — сапрпель серо-стального цвета, в отличие от предыдущего слоя практически не насыщенный растительными остатками, является кровлей мощного слоя озерной гитии светло-серого цвета (рис. 85). Поверхность слоя ровная и имеет слабый уклон в сторону реки (на восток) 10–12 см. В верхней части содержатся редкие артефакты, проникшие из вышележащего культурного слоя. В восточной части раскопа (квадраты линии Д) продолжается хаотичное скопление крупных древесных остатков (ветки, палки) (рис. 84), связанное с выраженным наклоном к реке. Скопление заканчивается на глубине около 3,60–3,65 м от поверхности¹ (слой 11).

✧ В этом слое были зафиксированы нижние заостренные концы двух последних вертикально стоящих кольев (кв. Д10). Правда, судьба еще одного деревянного «ствола» или кола (кв. Б12) не была выяснена в момент раскопок, поскольку его верхний поврежденный конец был обнаружен лишь в данном слое, а нижний конец уходил глубже отметки 4,53 м, тогда он был отнесен к естественным. В культурном плане инвентарь полностью идентичен материалам слоя 10 (рис. 86). Кремневый комплекс насчитывает всего 415 изделий (28 орудий, 14 нуклеусов), костяной и роговой — 35 орудий и обломков, единично представлены все основные категории; деревянный — 34 предмета с обработкой. В слое достаточно много крупных камней от 8 до 15 см в диаметре. Среди фаунистических остатков представлены в основном крупные фрагменты трубчатых и ребер лося, целые нижние челюсти и черепа небольших животных.

Ниже отметки -3,36 м по разрезу продолжают отложения однородной серой гитии без каких-либо мелких включений, ниже появляется слабая слоистость. Общая мощность слоя неизвестна. На глубине ок. 40 см от поверхности

¹ Глубина -460–465 от «0» 1995 г. (верх бетонного колодца) соответствует -475–480 от «0» постоянного репера 2010 г. (вычисления 2014 г.). Отсутствие единой системы глубин до 2010 г. связано с неконтролируемым погружением бетонного кольца на территории памятника, которое было обнаружено случайно в 2000 г.

Рис. 87. Замостье 2, 2000, слой 11а. План находок. Рисунок О. Лозовской.
Fig. 87. Zamostje 2, 2000, layer 11a. Artefacts distribution.
Fig. by O. Lozovskaya.



Рис. 88. Замостье 2, 1996. Ю.А. Лаврушин и Е.А. Спиридонова работают на разрезе стоянки. Фото О. Лозовской
Fig. 88. Zamostje 2, 1996. Y.A. Lavrushin and E.A. Spiridonov during work on site. Photo by O. Lozovskaya

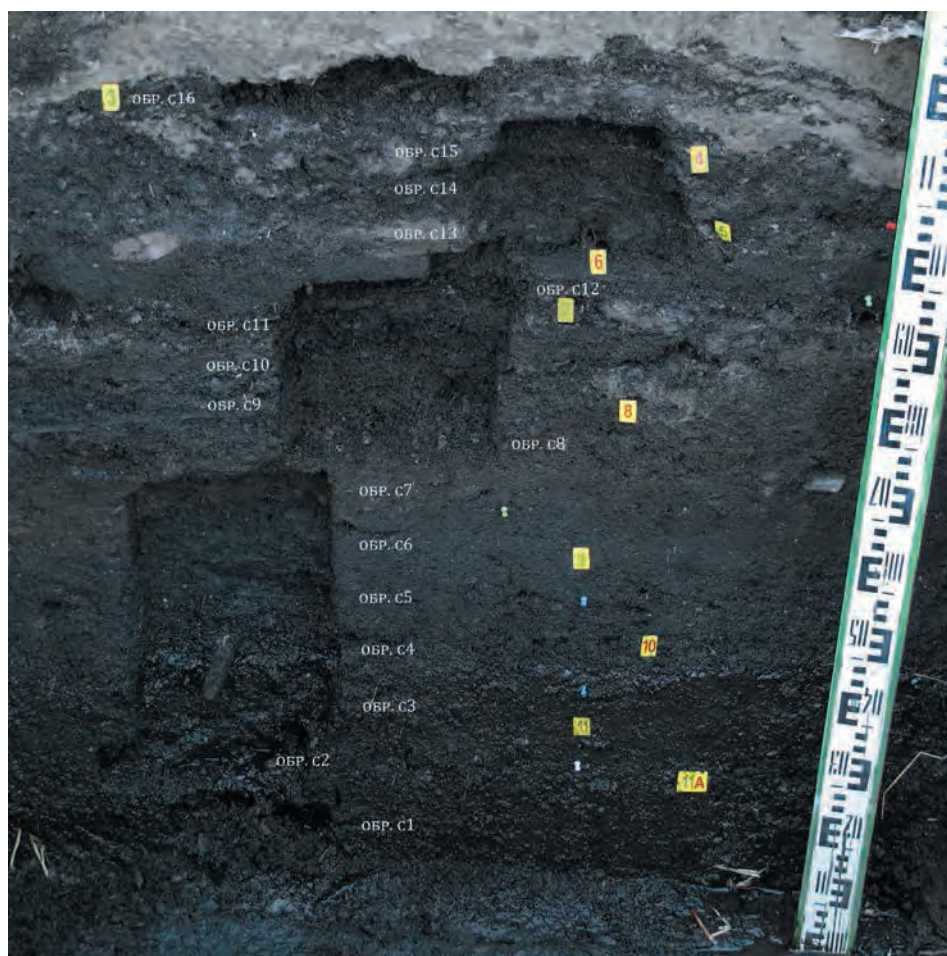
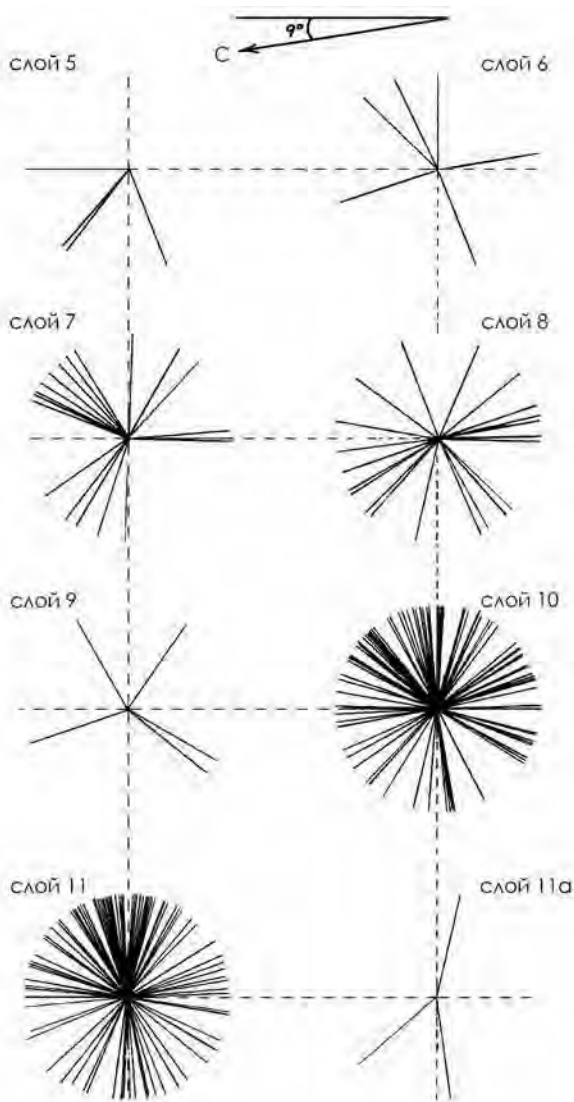


Рис. 89. Замостье 2, 2014. Схема отбора образцов ^{14}C на разрезе 2000 г., кв. А9–10. Фото О. Лозовской.
Fig. 89. Zamostje 2, 2014. ^{14}C sampling at the western section of 2000, sq. A9–10. Photo by O. Lozovskaya.

Таблица 3. Радиоуглеродные даты для раскопа 1995–2000 гг.
Table 3. 14C dates for Zamostje 2, 1995–2000.

происхождение	материал	индекс	¹⁴ C	cal AD*
Зам 2 98, обр. торфа 1, кв. А9, –220–230 от «0» (1995 г.)	торф	ГИН-10071	770±40	1185–1290
Зам 2 98, обр. торфа 2, кв. А9, –230–240 от «0» (1995 г.)	торф	ГИН-10074	640±50	1278–1405
Зам 2 98, обр. торфа 3, кв. А9, –240–250 от «0» (1995 г.)	торф	ГИН-10073	560±40	1300–1435
Зам 2 98, обр. торфа 4, кв. А9, –250–260 от «0» (1995 г.)	торф	ГИН-10072	830±30	1161–1264
<i>cal BC*</i>				
Зам 2 96, слой 5, кв. А11–12, ок. –360–367 от «0» (1995 г.)	сапропель	ГИН-10065	6850±40	5837–5659
Зам 2 96, щепка, слой 5, кв. А11–12	дерево	ГИН-10067	6890±50	5886–5674
Зам 2 96, слой 5 или 6, древесный уголь из промывки	уголь	SPb-1875	7030±70	6022–5752
Зам 2 96, щепка, слой 6, кв. А12–Б12, ок. –370–380 от «0»	дерево	ГИН-10064	6980±40	5981–5753
Зам 2 96, слой 7, верхний горизонт, кв. А12–Б12	сапропель	ГИН-10066	7100±120	6217–5743
Зам 2 96, щепка, слой 7, верхний горизонт, кв. А12–Б12	дерево	ГИН-10068	7050±60	6033–5789

* — OxCal v4.2.4 Bronk Ramsey (2013); r.5; IntCal13 atmospheric curve (Reimer et al. 2013)



слоя отчетливо выражена песчанистая желтоватая прослойка с ракушкой, которая падает в сторону реки (–494–524 на кв. Д12). Три длинных деревянных кола, залегающих горизонтально на глубинах около –3,50–3,85 м (с учетом заметного падения слоя в сторону реки) и несколько артефактов отнесены к культурному слою 11а (рис. 87). Это две челюсти бобра, тесло, поделка из рога и кость с обработкой. Находки из кремня (39) включали 2 нуклеуса, 4 бифаса и 6 орудий. Среди разрозненных фаунистических остатков три позвонка, фрагменты крупных трубчатых и целый череп лося с рогами на глубине 3,93 м (кв. Г13/–493).

Разрез был описан и проанализирован в 1996 г. Ю.А. Лаврушиным (рис. 88). Е.А. Спиридоновой были выборочно отобраны палинологические образцы (36 обр.) (см. рис. 5 и 72). Результаты анализов были представлены на обсуждение участникам конференции 1997 г. на открытом разрезе и позже вошли в итоговую статью (Алешинская и др., 2001). Образцы на ¹⁴C происходили из западной (слой 5, кв. А11–12) и северной (слои 6 и 7, кв. А12–Б12) стенок. Они включали щепу из заполнения культурного слоя и сапропель. На основании полученных дат был выделен хронологический отрезок, соответствующий слоям финального мезолита (5 и 6 данного разреза) — ок. 7050–6850 BP / 5950–5750 cal BC (табл. 3).

Благодаря двум отобранным в 1997 и 2000 гг. колонкам отложений (désarages, см. рис. 57), площадью 25x25 см каждый, рядом с кв. А9 и А12 (получившим названия соответственно SF9 и SF12), были получены полноценные данные о составе ихтиофауны для основных культурных слоев (Radu, Desse-Berset, 2012; 2013). Угли из промывки слоев 5–10 послужили основой для антракологического анализа, проведенного А.Л. Александровским в 2015–2016 гг. (см. глава 4). Наконец,

Рис. 90. Замостье 2. Направления наклона длинных деревянных палок и веток по слоям для раскопа 1995–2000 г. Рисунки О. Лозовской.

Fig. 90. Zamostje 2. Inclination direction of long wooden sticks and branches in different layers of excavations 1995–2000. Fig. by O. Lozovskaya.

в 2014 году описанный разрез был вскрыт повторно с целью отбора образцов сапропеля и его органических включений (дерево, кость) для датирования в лабораториях ИИМК РАН и Кильского университета, Германия (рис. 89).

Таким образом, раскоп 1995–2000 гг. может рассматриваться как центральный участок стоянки с наиболее регулярным режимом седиментации (кроме слоя среднего неолита) и наиболее полным набором представленных культурных слоев. Большинство слоев залегали горизонтально как в направлении С-Ю, так и на В, за исключением самых нижних слоев, в которых понижение крайних восточных квадратов сопровождалось хаотичными скоплениями длинных деревянных веток. Возможно, это указывает на близость палеоводоёма, расположение которого частично совпадало с современным руслом реки Дубна. Анализ направления наклона длинных деревянных палок и веток по слоям показал в целом равномерное распределение по странам света, лишь для слоев 10 и 11 приоритетными видятся направления В и СВ (рис. 90).

ШУРФ АА17–19, РАСКОПКИ 2013 Г.

Наконец, последний опорный разрез, на котором основываются важные заключения о палеоэкологических условиях существования древних поселений, расположен с севера изученной площади стоянки, в 5 м от предыдущего. Этот разрез является западной стенкой шурфа 3х2 м, разбитого на месте глубокой грабительской ямы именно с целью получения серии образцов для естественнонаучных анализов¹. Шурф был вписан в сетку квадратов и получил название АА17–19 (рис. 5). Культурные слои до верхнего мезолитического включительно были сильно повреждены перекопами, и общая численность находок составила всего около 500 предметов².

Данный разрез заметно отличается от профилей центрального и южного участков поселения. Это касается и верхней, и нижней частей колонки. В первую очередь следует отметить большую мощность торфяных отложений и почти полное отсутствие серых суглинков, которые представлены тонким, местами прерывающимся слоем (рис. 91 и 92). Здесь также отсутствует выраженный горизонт среднего неолита, который обычно связывался с маломощной прослойкой коричневого оторфованного суглинка. Слой раннего неолита, напротив, мощный по сравнению с предыдущим разрезом, но бедный артефактами. Впервые, в этом разрезе, была выявлена прослойка черного сапропеля без макроостатков внутри верхнего мезолитического слоя. Залегание слоев в средней части разреза неровное. Нижние культурные слои слабо насыщены находками. В целом остатков древесины в виде палок и веток на этом участке было значительно меньше, чем на остальных.

Важным подтверждением перерыва между накоплениями материалов неолитического и позднемезолитического времени является значительная мощность отложений слоя ФМ, на данном участке почти лишенного находок, что исключительно важно для изучения проблем перехода к неолиту.

¹ Раскопки 2013 г. в рамках проекта РФФИ №11–06–00090а, см. *сноску выше*.

² В 2010 г. из отвала этой грабительской ямы было также собрано 35 фрагментов керамики, 173 кремневых изделий, 49 обломков костяных орудий и 141 расколота кость без обработки — см. О.В. Лозовская Отчет о раскопках стоянки Замостье 2 в Сергиево-Посадском р-не Московской обл. в 2010 г., 2011, с. 13–14, рис. 41–44.

Описание отложений дается по западной стенке, по верхней границе кв. АА19 (рис. 91) Все глубины также приведены от дневной поверхности (-100 от «0»).

0–0,25 м — дерн

0,25–1,30 м — светлая серо-желтая супесь, в верхней части слоистая, образована в результате искусственных выбросов из реки и ежегодных паводков, датируется современностью. Содержит отдельные разновременные находки.

1,30–2,35 м — пачка темно-коричневого, местами черного, хорошо разложившегося торфа. Средний горизонт с крупными растительными остатками в виде горизонтально лежащих веток и небольших стволов деревьев. По аналогии с раскопом 1995–2000 гг. может датироваться I половиной II тыс. н. э., но также возможно, что начало ее формирования случилось намного раньше, если судить по одной новой дате для нижней части торфа (на глубине 2,20–2,30 м) — 3180±70 ВР (табл. 4). Граница с нижележащим слоем неровная. Культурные остатки отсутствуют.

2,36–2,43 м — слой серого суглинка, который на контакте с нижележащим слоем приобретает коричневатую окраску. Мощность этого горизонта неравномерная — от 5 до 15 см.

2,45–2,68 м — слой темно-серого, почти черного сапропеля, с растительными остатками, чешуей и мелкими костями. Содержит находки ранне-неолитической верхневожской культуры, а также и средне-неолитической ямочно-гребенчатой керамики (слой 4). В нижней части слоя (ниже глубины 3,52 м) керамика отсутствовала, за исключением скопления в северо-восточном углу шурфа, где черепки в наклонном и вертикальном положении достигали глубины 3,59 м. Мощность слоя неодинакова, к югу она увеличивается до 30–40 см.

✧ Керамика раннего неолита преобладает (137) над льяловской (41 экз.), найден также один черепок сетчатой керамики. Кремня очень мало — 12 отщепов, грубый бифас, скребок и осколок шлифовальника. На границе с перестилающим суглинком на квадрате АА19 был найден фигурный кремь типа лунницы, характерный для волосовской культуры. Из костяного инвентаря орудие из челюсти бобра, обломок черешка наконечника, две заготовки и шесть осколков костей без обработки.

2,68–2,87 м — темно-серый сапропель с многочисленными растительными и мелкими деревянными остатками в виде коры и деревянной крошки, с ломаной рыбьей чешуей; немногочисленные мелкие ветки и отдельные лучины начинаются с глубины 2,60 м ближе к западной стенке, граница с вышележащим слоем неровная; мощность слоя значительно увеличивается к западу (до 30 см) и уменьшается к югу (до 6 см); содержит единичные находки, относящиеся к финальному мезолиту (слой 5/6).

✧ Керамика отсутствует. Наиболее выразительной находкой в слое является деревянный полоз саней длиной более 1 м с отверстиями для протягивания ремня, он залегал горизонтально на глубине -376 от «0». Найдены также биконический наконечник с орнаментом; 8 кремней, в т. ч. два орудия, и 7 расколотых костей, одна из которых со следами оббивки.

2,87–3,23 м — черный опесчаненный сапропель с макроостатками в виде мелкой древесной щепы и коры, чешуи и костей рыб, редкими мелкими ракушками и углями, и немногочисленными из-за расширения грабительской ямы археологическими находками — верхний мезолитический горизонт (слой 7/8). В нижней своей части (на глубине 3,10 м) этот слой местами разделяется тонкой менее 5 см прослойкой темно-серого сапропеля без крупных макроостатков. На некоторых участках эта прослойка

Таблица 4. Радиоуглеродные даты для шурфа AA17–19, 2013 г.
Table 4. 14C dates for AA17–19, 2013.

происхождение	материал	индекс	¹⁴ C	cal BC*
Зам 2 13, шурф, слой 7, щепка из слоя	дерево	Ле-10260	7400±75	6420–6095
Зам 2 13, шурф, слой 8, дерево из промывки	дерево	Ле-10090	7350±45	6361–6079
Зам 2 13, шурф, слой 8–9, ВМ, дерево из промывки	дерево	Ле-10091	7450±70	6453–6117
Зам 2 13, шурф, слой 9, дерево из промывки	дерево	Ле-10092	7440±60	6438–6214
Зам 2 13, шурф, палка Pal 53–54; -453–455, кв. AA19, НМ	дерево	Ле-10093	7700±45	6630–6460
Зам 2 13, шурф, слой 6/находок	сапропель	Ле-10815	8100+300	7787–6391
Зам 2 13, шурф, разрез AA18, ок. -320–330, слой 6/находок	торф	SPb-882	3180±70	1617–1282
Зам 2 13, шурф, разрез AA18, ок. -330–340, слой 6/находок	сапропель	SPb-1329	3400±80	1897–1506
Зам 2 13, шурф, разрез AA18, ок. -340–350, слой 4	сапропель	SPb-1231	6397±80	5509–5217
Зам 2 13, шурф, разрез AA18, ок. -350–360, слой 4	сапропель	SPb-1212	6446±80	5559–5230
Зам 2 13, шурф, разрез AA18, ок. -360–372, слой 4	сапропель	SPb-1230	6622±80	5711–5392
Зам 2 13, шурф, разрез AA18, ок. -372–380, слой 5/6	сапропель	SPb-881	7010±80	6021–5733
Зам 2 13, шурф, разрез AA18, ок. -380–390, слой 7	сапропель	SPb-879	7200±70	6226–5927
Зам 2 13, шурф, разрез AA18, ок. -390–400, слой 7	сапропель	SPb-1328	7280±80	6356–6005
Зам 2 13, шурф, разрез AA18, ок. -400–410, слой 7	сапропель	SPb-1213	7700±70	6651–6435
Зам 2 13, шурф, разрез AA18, ок. -410–420, слой 8	сапропель	SPb-1327	7750±80	6804–6437
Зам 2 13, шурф, разрез AA18, ок. -420–430, слой 9	сапропель	SPb-1326	7100±80	6203–5783
Зам 2 13, шурф, разрез AA18, ок. -430–440, слой 10/11	сапропель	SPb-1063	8300±80	7527–7085

* — OxCal v4.2.4 Bronk Ramsey (2013); r.5; IntCal13 atmospheric curve (Reimer et al. 2013)

✧ Ниже культурного слоя из артефактов найдено орудие из челюсти бобра (-476), а также фрагменты черепов лося и бобра.

На кв. AA18–19, проводился отбор образцов (рис. 92): для палинологического анализа (Е.Г. Ершова) колонка из 80 образцов с глубины -230–467 от «0», для 6 образцов был также проведен ботанический анализ отложений (Л.И. Абрамова, МГУ) (Ершова, 2013). Рядом были взяты: колонка (-300–437) на анализ макроостатков семян (М. Verihuetе Azorin) (Verihuetе Azorin, Лозовская, 2014; см. глава 3); серия образцов (24) на геохимический анализ (М.А. Кулькова) (Кулькова, 2014; см. глава 5), 18 образцов на анализ почв (А.Л. Александровский) (Александровский, 2014) и колонка (12 обр., -320–440) на радиоуглеродное датирование (М.А. Кулькова). Кроме того было проведено бурение отложений с уровня дна шурфа на глубину около 1,5 м (Е.Г. Ершова) для анализа пыльцы и определения возраста (см. глава 2).

Радиоуглеродные даты по сапропелю показали прерывистость в осадконакоплении на этом участке поселения, выделяется пять хронологических групп, включая перестигающие и подстигающие отложения без культурных остатков (табл. 4). В то же время остатки дерева из заполнения культурных слоев 7, 8 и 9 показали очень близкие между собой даты, но которые относятся к другому хронологическому интервалу.

Таким образом, необходимо отметить существенные различия в стратиграфии на участках, разделенных в общей сложности расстоянием 25–30 м. Остальные расплывчатые участки стоянки в целом вписываются в заданный диапазон, и на них мы останавливаться подробно не будем. Для естественнонаучных анализов использовалась западная стенка раскопа II 1990 г. (кв. А2 — диатомеи и карпология, Э.А. Крутоус и Г.К. Хурсевич, Институт геохимии и геофизики АН БССР, кв. А5 — пыльца и ¹⁴C) и подстилающие горизонты на кв. В15 раскопа 1991 г. (пыльца и ¹⁴C, Е.А. Спиридонова и лаборатория ГИН РАН). Особого внимания заслуживают две даты: 8640±100 ВР (ГИН-7984) для озерных сапропелей и 6850±60 ВР (ГИН-6557) для поверхности культурного слоя без керамики на кв. В2 (слой 5 с ракушкой, глубина 2,59 см от «0» 1989 г.¹), которая маркирует верхнюю границу слоя ФМ (Lozovski et al., 2014). Результаты диатомового и карпологияческого анализа, к сожалению, не включают нижние культурные слои памятника (см. приложение 1) и не имеют четкой привязки к культурным слоям, что существенно ограничивает их значение для широких реконструкций. Что касается выявленных деревянных конструкций на дне реки (раскоп III SubA), то они уже были подробно описаны в ряде работ (Лозовский и др., 2013).

¹ Площадка на месте исчезнувшей трубы возле ю-з угла раскопа 1989 г., см. *сноску выше*.



Рис. 92. Замостье 2, 2013, шурф AA17–19. Место отбора образцов на западной стенке (слева) и северная стенка (справа). Фото О. Лозовской.

Fig. 92. Zamostje 2, 2013, pit AA17–19. Sampling point on the western (left) and the northern (right) stratigraphic sections. Photo by O. Lozovskaya.

АНАЛИЗ АРХЕОЛОГИЧЕСКИХ СВИДЕТЕЛЬСТВ ДРЕВНЕГО ПАЛЕОРЕЛЬЕФА

Наиболее существенным источником для палеоландшафтной реконструкции территории стоянки являются, несомненно, деревянные конструкции, завалы веток, скопления щепы и вертикально стоящие колья, взаимное расположение и состояние которых позволяет делать некоторые выводы об их функциональной нагрузке или влиянии окружающей среды.

Прежде всего, можно утверждать, что особая конструктивная деятельность древнего населения (для интервала не менее двух тысяч лет, с конца VII по конец V тыс. cal BC) была сосредоточена на южном участке изученной площади поселения. Об этом свидетельствуют: 1. три расположенные рядом конические ловушки из расщепленных лучин раннего неолита. Можно осторожно добавить, что с СВ и ЮЗ они были окружены более или менее регулярными скоплениями щепы (рис. 93), которые также могут трактоваться как разрушенные объекты, учитывая, что они расположены в одну линию и что на других участках поселения ничего подобного не найдено. Однако их абсолютная датировка неясна, а стратиграфически они относятся к мезолитическому слою. В конструкцию с вершами входили также

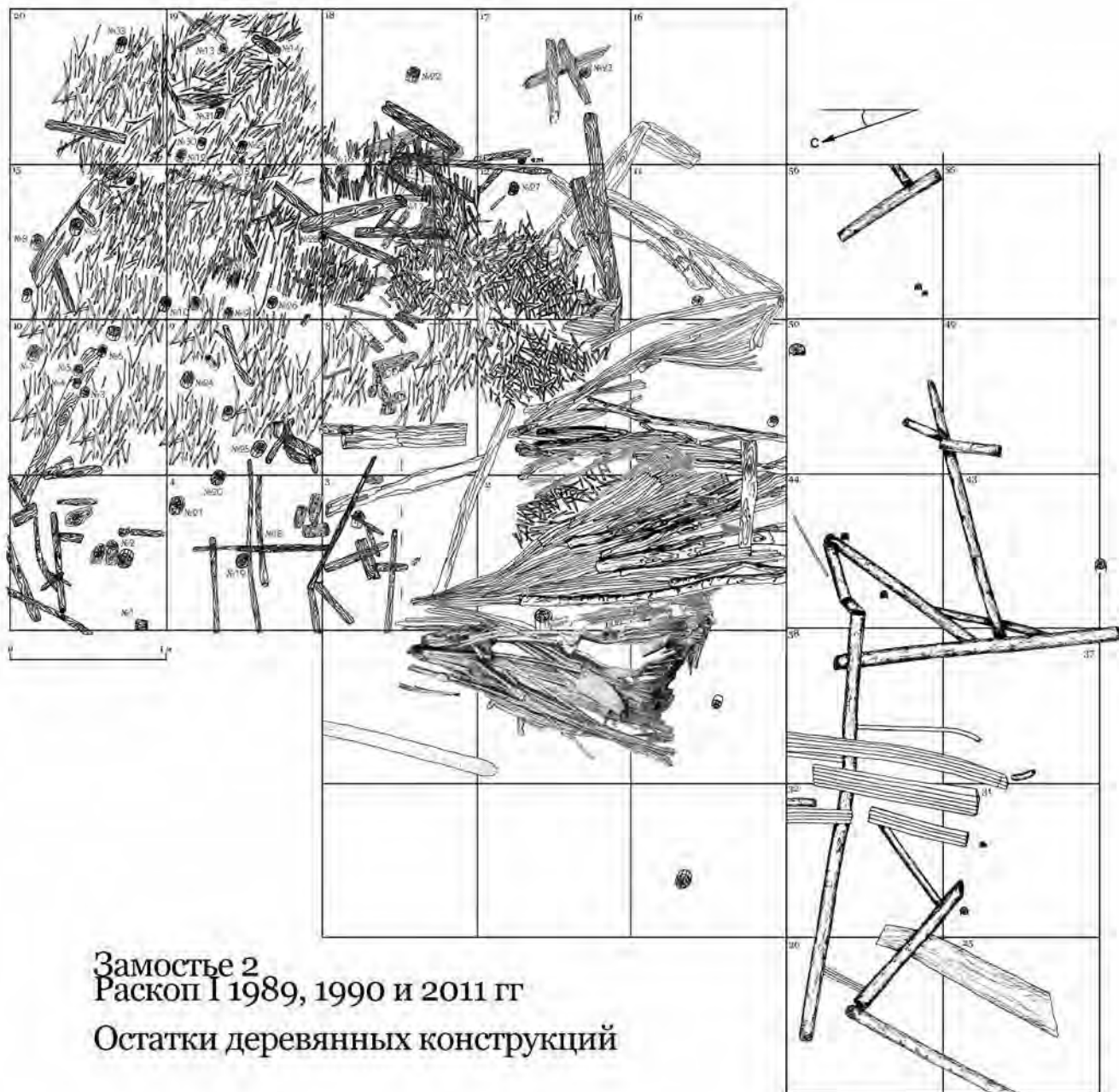
расщепленные плашки и ветки (одна с остатками обвязки из лыка над восточной вершей, рис. 94), как, очевидно, и длинные прямые массивные колья с обтесанным концом (в нескольких случаях, березы), отмеченные и в раскопе с вершами, и в комплексе с лучинами в северо-западном углу раскопа I 1990 года¹.

Можно также утверждать, что, по крайней мере, часть этих конструкций была связана с рыбной ловлей (пассивной), о чем говорит прослойка из полных скелетов (мумий) рыб², а также узелки от сетей в низах ранне-неолитического слоя (рис. 38, 40). Стратиграфический контекст и взаимное расположение находок указывают на то, что ловушки сохранились в рабочем положении, по всей видимости, *in situ* (подробнее см. Лозовский и др., 2013).

Вторым аргументом в пользу хозяйственной обустроенной зоны водоема являются многочисленные вертикально колья, вбитые иногда на большую глубину.

¹ Вдоль северной стенки одно бревно длиной 3 м было перекрыто тремя наклонными пучками щепы длиной 1,2–1,4 м, другие короткие бревна лежали под углом к первому.

² По данным полевых исследований 2011 года и дневниковым записям 1989 года она фиксировалась на кв. 7, 11–13 и 18–19, что совпадает с площадью регулярных скоплений щепы и остатков восточной верши.



Замостье 2
Раскоп I 1989, 1990 и 2011 гг
Остатки деревянных конструкций

Рис. 93. Замостье 2, раскоп I. Остатки деревянных конструкции, общая схема для слоев раннего неолита и позднего мезолита.

Fig. 93. Zamostje 2, excavation I. Wooden construction remains, general map for Early Neolithic and Late Mesolithic layers.

В общей сложности в южной зоне раскопанной части поселения в настоящий момент зафиксировано 220 кольев (140 в реке и не менее 80 в раскопе I), в то время как на остальной изученной площади (раскоп II) — 21. Одно скопление из 40 кольев найдено с СВ от вершей, там же отмечались элементы забутовки ветками (закол), но колья оказались разновременными (рис. 8). В то время как единичные колья с Ю и З соотносятся с ними по времени. Вторая группа из 18–20 кольев на расстоянии 4–5 м с юга (Лозовский и др., 2013, рис. 3), расположена в виде цепочки направлением ЮЗ-СВ, но ее возраст неизвестен, поскольку все вертикальные колья нуждаются в прямом датировании. Стоит еще сказать, что верхушки двух кольев (№11/89, 24/89) льяловского времени, забитых на глубину -612 и -619 см (от «0»), появились выше уровня вершей, и глубина их погружения

ниже льяловского слоя составила, таким образом, более 2,3 м. В то время как имеющиеся данные о ранне-неолитических кольях показывают меньшую глубину — зафиксированы значения нижних заострений на глубине -482 (кв. Б10' и 44), -510 (№21/89) и -602 (№25/89). Вопрос интерпретации сооружений среднего неолита остается дискуссионным.

В русле Дубны известно в настоящий момент 140 кольев, среди которых выделяются две угловые конструкции, совпадающие по направлению, и разрозненные экземпляры, в которых можно видеть отдельные цепочки (Лозовский и др., 2013: рис. 30). Основные хронологические интервалы не совпадают с возрастом вершей: это верхний мезолитический слой с двумя конструкциями из лучин, но с признаками не ловушек, а легких заслонов-перегородок, и средний неолит, колья этого пери-



Рис. 94. Замостье 2, 2011. Ветка с перевязкой из лыка. Фото О. Лозовской.

Fig. 94. Zamostje 2, 2011. Branch with a bast binding. Photo by O. Lozovskaya.

ода преобладают (Лозовский и др., 2013: 74–75; Радиоуглеродная хронология..., 2016: 182–189).

Форма рельефа поверхности на этом участке по археологическим данным может быть реконструирована как склон в восточном направлении, разница между поверхностью ВМ слоя на кв. А9' (-350) и синхронной ему конструкции в русле реки (-511) составляет более 1,5 м, что может указывать на приблизительную глубину водоема в прибрежной зоне. Функционирование ловушек связано с трансгрессивным этапом палеоводоема, но оценить уровень подъема воды в этот период только археологическими данными не представляется возможным. Очевидно, однако, что в этот период поселение должно было располагаться дальше вглубь берега, поскольку абсолютная высота культурного слоя в центральной части стоянки лишь на 40 см превышает вершины точки вершей.

Вторым свидетельством близости берега может служить завал веток в нижних слоях раскопа 1995 года. Как и в предыдущем случае, уклон заметно усиливается вдоль восточной границы раскопа, примыкающей к современному руслу реки. В свою очередь в северном шурфе характер залегания находок указывает на то, что они попадали туда нерегулярно, возможно, в результате смыва или иных факторов природного или антропогенного свойства. Важно при этом, что общая последовательность культурных слоев оказалась ненарушенной, а отсутствие выраженного льяловского слоя может быть результатом постдепозиционных процессов.

Существенным фактором для понимания условий существования поселений и условий накопления культурных остатков является сохранность древесины. Известно, что в аэробных условиях древесина быстро разрушается под воздействием колебаний влажности и температуры, а также биологических факторов в виде различных грибов, бактерий и насекомых. Скорость разрушения определяется природной стойкостью древесины в зависимости от породы. К стойким породам относятся сосна, дуб, ясень; к малостойким и нестой-

ким — граб, вяз, береза, ольха, осина, липа и др. Срок жизни древесины в естественных условиях зависит еще от многих дополнительных факторов, но в среднем можно сказать, что речь идет очень приблизительно о десятках лет для первых и нескольких лет (не более 5–10) — для вторых. Это касается необработанного дерева, что нами неоднократно подчеркивалось при изучении деревянного инвентаря. Изделия, подвергшиеся значительной обработке (а также особым условиям эксплуатации) сохранили порой почти идеальную структуру волокон и даже не требовали консервации после извлечения (например, ложка и плошки, крючок из слоя ВВК (рис 66), орнаментированная пластина из ВМ слоя).

Хотя специального исследования до-погребенного состояния деревянных остатков не проводилось, в целом можно сказать, что естественная древесина (ветки с корой и без, фрагменты стволов, щепы, веточки и листья), а также многие слабо обработанные артефакты, отражали различную степень сохранности вне зависимости от породы (мягкая-твердая, с гладкой или корродированной поверхностью, с более или менее сохранившейся структурой волокон), что могло отражать их состояние до попадания в анаэробную среду (воду). В любом случае время их нахождения на открытом воздухе может оцениваться в десяток лет или меньше, учитывая присутствие малостойких к гниению пород (береза, осина, ива, ольха и др.). Следует также учесть остатки разрушенной древесины в заполнении культурных слоев, что позволяет несколько удлинить период возможной экспозиции дневной поверхности. Близкие расчеты — несколько десятков лет для накопления осадков низкого пологого побережья — предложил также Ю.А. Лаврушин (Алешинская и др., 2001: 148).

Таким образом, рассматриваемый участок поселения лишь эпизодически мог находиться выше уровня воды. И речь в данном случае может идти об эпизодах, связанных со временем формирования поверхности ВМ слоя в центральной и южной части и ранне-неолитического слоя в раскопе 1995 (и 1991 г.). В обоих случаях число со-

хранившихся здесь деревянных изделий незначительно.

Далее вопрос встает о сезонности. Сезонность можно оценить только на основании фаунистических и ботанических остатков. В таблице представлены по слоям имеющиеся свидетельства присутствия активности на поселении в разные времена года.

Сезон для лосей определен по индивидуальному возрасту молодых особей (лето-зима), а также по периоду сбора рогов (сентябрь-январь); представлены все кости скелета, что указывает на разделку туш на месте (Chaix, 2009: 192). Большинство найденных на стоянке видов птиц являются перелетными, а кости молодых особей представлены на разных этапах развития (весна-осень) (Маннермаа, 2013: 226); охота на самцов глухаря предпочтительна зимой и ранней весной. Сезон рыбной ловли хорошо устанавливается для щук, как весна-начало лета (Раду, Десс-Берсе, 2013: 208); в целом промысел, очевидно, занимал все теплое время года. Остатки семян ягод и скорлупы лесных орехов указывают на время их созревания в конце лета — начале осени.

Таким образом, для всех трех основных слоев стоянки есть указания на круглогодичное присутствие человека. К этому надо добавить, что инвентарь из кремня, кости и рога включал орудийный набор для всех сфер деятельности на поселении: оружие, рыболовные принадлежности, орудия для домашних промыслов, для изготовления орудий, обработки дерева, а также посуду и предметы неутилитарного назначения (чуринги, зооморфные фигурки). Многочисленные технологические отбросы отражают весь цикл изготовления кремневых и костяных орудий. Все это указывает на признаки базового долговременного поселения.

Однако несмотря на многочисленные отходы костяного и кремневого производства, кухонные отбросы, древесный уголь и другие следы разнообразной человеческой деятельности, на раскопанной площадке стоянке не были выявлены ни производственные площадки, очаги или кострища, ни тем более остатки жилых конструкций. Напротив, обустроенная зона древнего водоема с рыболовными вершами для неолита и заслонками

для позднего мезолита указывают на то, что речь идет непосредственно о береговой зоне, большую часть времени находившейся под водой. При этом рассмотренные выше особенности в накопления культурных слоев на разных участках 35-метрового разреза позволяют предположить извилистый характер береговой кромки и наличие выступа или мыса в северной половине раскопанной площади (рис. 95).

Для археологического материала стоянки характерно большое количество микроинвентаря из кремня и кости, а также очень хорошая сохранность поверхности большинства орудий, без каких-либо следов окатанности или побитости водой, что полностью исключает вероятность длительного (по времени и расстоянию) перемещения артефактов с потоками воды. Исключение составляет некоторое количество керамики с омытой поверхностью (в основном раннеляловской), но это может быть связано с недостатками ее производства.

СОПОСТАВЛЕНИЕ ЕСТЕСТВЕННОНАУЧНЫХ ДАННЫХ И РЕКОНСТРУКЦИЯ СРЕДЫ ОБИТАНИЯ

Важным источником для реконструкции палеоэкологической ситуации в районе древнего поселения охотников-рыболовов служит местная флора и фауна, остатки которых в виде кухонных отбросов, поделочного материала для орудий или заполнения культурного слоя, дошли до нас во влажных отложениях стоянки во всем своем многообразии.

Особо следует отметить, что все костные остатки, в т. ч. осколки и костная труха крупных животных, а также чешуя и кости рыб, обязаны присутствию человека. Наблюдается прямая зависимость между насыщенностью культурных слоев артефактами и количеством рыбных и других мелких костей. Стерильные слои не имеют в заполнении какого-либо костного материала. То же самое, кажется, можно сказать и о фрагментах щепы.

Экология млекопитающих и особенно основных охотничьих объектов — лося, бобра и пушных хищников —

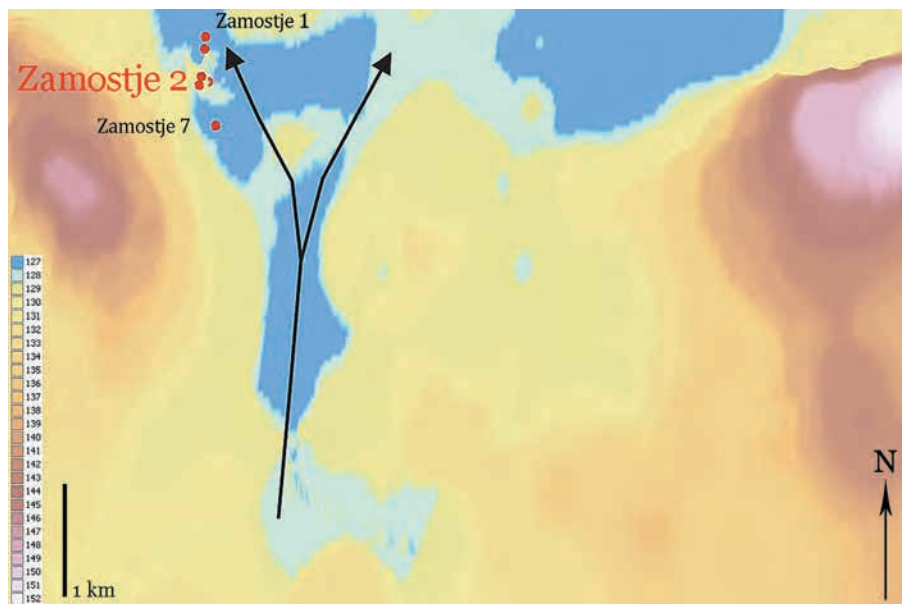


Рис. 95. 3D модель рельефа в районе памятников Замостье 1, 2 и 7 с указанием течения в палеоводоеме. Рисунок К. Мазуркевича.

Fig. 95. 3D relief model of sites Zamostje 1, 2 and 7 including indication of the paleolake stream. Fig. by K. Mazurkevich.

Таблица 5. Свидетельства сезонности по слоям.
Table 5. Evidences of seasonality in layers.

слои/ сезон	НМ	ВМ	РН
Зима	охота на лося	охота на лося охота на глухаря (?)	охота на глухаря (?)
Весна	охота на перелетных птиц рыбная ловля	охота на перелетных птиц рыбная ловля	охота на перелетных птиц рыбная ловля
Лето	охота на лося охота на перелетных птиц рыбная ловля	охота на лося охота на перелетных птиц рыбная ловля ягоды (малина, черемуха)	охота на перелетных птиц рыбная ловля ягоды (малина, черемуха)
Осень	охота на лося охота на перелетных птиц	охота на лося, рога охота на перелетных птиц ягоды (калина)	охота на перелетных птиц ягоды (калина) лесной орех

По данным Л. Шэ (2003, 2009), В. Раду и Н. Десс-Берсе (2013), К. Маннермаа (2013) и М. Бериуэте-Асорин (2014, см. глава 3).

куницы, барсука и выдры однозначно указывают на лесные (лиственные или смешанные) и водно-болотные условия обитания. Не исключено, что лося могли бить летом на воде, в реке или озере, а зимой в лесу (Лозовская, Лозовский, 2017). Подробности охоты на бобра пока не ясны¹, однако вся жизнь бобра связана с водой. Сугубо лесными представителями являются барсук и куница, а также получивший распространение в неолите кабан.

Большинство представленных на стоянке птиц являются водоплавающими или болотными (утки, поганки, выпь, цапли и др.), экотопами для которых были травянистые берега озер, болота, запруженные водоемы, затопляемые поймы и речные долины. Лесные виды, за исключением глухаря, представлены в небольшом количестве (Маннермаа, 2013). Зафиксированные на стоянке виды рыб, главными из которых являются щука, окунь и карповые, одинаково приспособлены для обитания в стоячей и проточной воде, но метать икру предпочитают в затопленных местах, с теплой мелкой водой и большим количеством растительной пищи (Раду, Десс-Берсе, 2013).

Таким образом, анализ фауны указывает на существование открытой воды, а также узких протоков, окруженных древесно-кустарниковой растительностью. Помимо прибрежных травянистых зарослей вблизи водоемов могли существовать и заболоченные участки. Лесные массивы, в свою очередь, также должны были находиться в доступной близости. Эти предположения хорошо согласуются с данными, полученными для растительности. Источником для палеоландшафтных реконструкций служат результаты анализа пыльцы древесных растений, макроостатков семян и ботанического определения фрагментов древесины, угля и состава торфа.

В отличие от фауны, растительность в окружении стоянки претерпевала более или менее значительные изменения на протяжении атлантического периода. По данным Е.А. Спиридоновой (разрезы 1989, 1990, 1991 и 1996 гг.), в конце бореала господствовали березовые и сосновые леса с участием широколиственных (липа, вяз) и лещиной в подлеске. Большое количество осок,

рогоза и споровых (зеленых мхов) указывает на широкое развитие болот и прибрежно-водной растительности (Алешинская и др., 2001: 252–253). Других данных² для этого периода нет. Потепление начала атлантикума отмечается в увеличении разнотравья и появлении луговой растительности, понижение уровня грунтовых вод, доля широколиственных постепенно растет; во второй половине VII тыс. ВС фиксируется резкое кратковременное увеличение процентного содержания пыльцы сосны.

К концу мезолита (рубеж VII-VII тыс. ВС) господствующими становятся смешанные умеренные леса из березы, сосны, а также дуба, вяза, липы и лещины в подлеске. К концу VI тыс. все более значительную роль начинает играть ольха. Наряду с лесами существовали луга различного состава, вплоть до заболоченных ценозов.

Ольха и широколиственные породы отражают период климатического максимума атлантического периода (средний неолит); в смешанные и широколиственные леса входили дуб, вяз, липа, лещина, а также сосна и береза (первая половина V тыс. ВС). Дальнейшие изменения в составе растительности связаны с обширной региональной трансгрессией: споровые растения составили высокий процент (до 90%), что указывает на повсеместное распространение озер. Широколиственные породы достигли своего максимума на этой территории (до 38%). К концу атлантика отмечено похолодание, в составе смешанных лесов преобладают сосна и ольха, появляется ель.

Для начала суббореала характерно широкое распространение ели (до 75%) при незначительном участии широколиственных, и высоком проценте споровых (до 98%) в общем составе. Это отражает трансгрессивную фазу развития водоемов. В более теплые этапы развитие получали леса из черной ольхи. В субатлантический период сложились условия, предположительно близкие к современным: сосново-березовые леса с примесью ели и во влажных местах заросли ольхи (Алешинская и др., 2001).

Многочисленные остатки растений и древесины позволяют значительно дополнить или уточнить данные палинологического анализа. Так, присутствие в нижнем позднемезолитическом слое сосновых шишек (рис. 96) однозначно указывает на существование поблизости сосны. Как и грибы-трутовики они, вероятно, были принесены

¹ Одним из возможных способов охоты является охота на воде, учитывая известную находку черепа бобра с воткнутым обломком зубчатого острья (или гарпуна) со стоянки Сахтыш I (АМУ ИВГУ 14/2472).

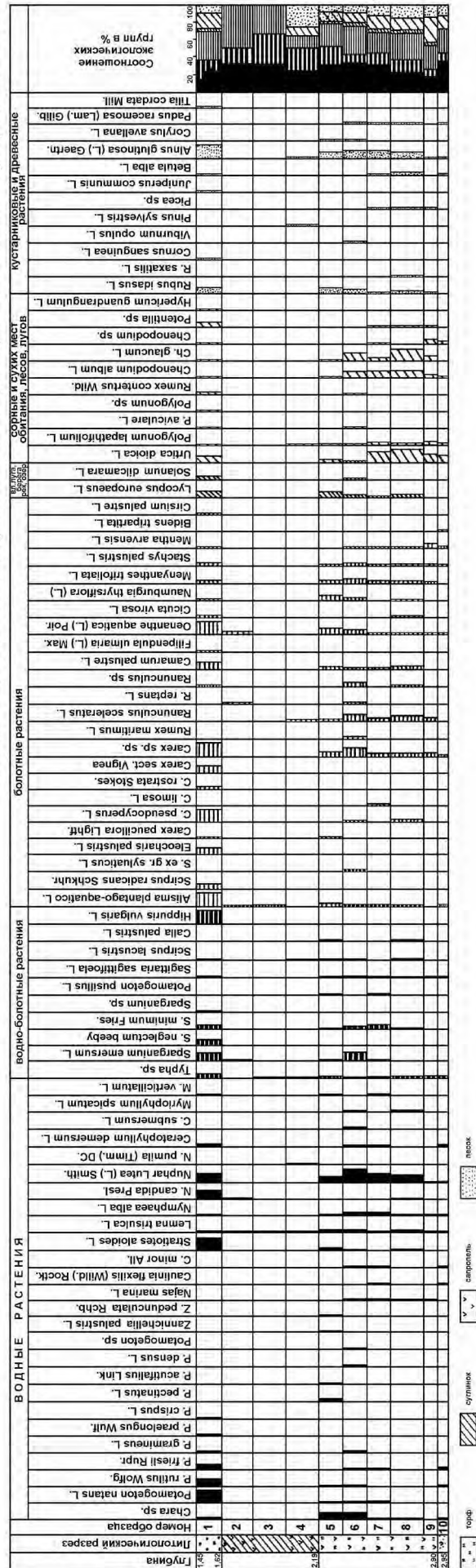
² Согласно схеме Блитта-Сернандера.



Рис. 96. Замостье 2. Остатки сосновых шишек (нижний слой мезолита), лесных орехов и трутовиков (разные слои). Фото О. Лозовской.

Fig. 96. Zamostje 2. Remains of pine cones (Late Mesolithic Lower layer), hazelnuts and tinder fungi (various layers). Photo by O. Lozovskaya.

Замостье 2, 1990. Палеокарпологическая диаграмма отложений разреза на кв. А2



на стоянку людьми. Последние, хоть и в малом количестве, но встречены во всех слоях мезолита. Лесные орехи единичны, как среди археологических находок, так и в образцах, отобранных для изучения макроостатков растений и семян (Лозовский, 2003: рис. 27; Berihuete Azorin, Lozovskaya, 2014: 76).

К существенным дополнениям к реконструкции ландшафта, окружающего поселение, следует отнести семена и плоды лесных деревьев и кустарников, не зафиксированных спорово-пыльцевым анализом. Это в первую очередь черемуха, калина и малина, косточки которых исчисляются сотнями (Berihuete Azorin, Lozovskaya, 2014: 76)¹; они присутствуют в слоях и мезолита, и неолита; но если косточки малины чаще встречаются в мезолитических отложениях, то обугленные зерна калины — в пищевом нагаре ранненеолитических сосудов (Лозовская, Лозовский, 2014: рис. 1). Одними из наиболее многочисленных среди ботанических макроостатков являются семена желтой кубышки (кувшинки) (*Nuphar lutea* L.) (рис. 97, см. приложение 1), водного растения, живущего в заводях, по берегам озер и медленно текущих рек глубиной от 0,5 до 1 м, со съедобными корневищами². А также маревых (см. глава 3), сорных растений, указывающих на сухие условия обитания. Здесь следует также обратить внимание на существенные отличия количественных показателей некоторых видов растений в зависимости от места взятия образцов, что указывает на неоднородную топографию памятника. Выборочный ботанический анализ состава торфа показал для слоев ФМ и ВМ 5–10% содержание тростника (*Phragmites australis*) (Ершова, 2013: 185).

Важным, хотя и объективно ограниченным, источником информации является список пород деревьев, использованных для изготовления орудий и хозяйственных конструкций (см. глава 2, табл. 1). Очевиден преднамеренный выбор древесины в соответствии с механическими свойствами и эксплуатационными требованиями. В то же время он показывает реальные возможности населения в использовании окружающего ландшафта и лесных ресурсов с учетом доступности и качества сырья. Определения пород для 121 деревянного артефакта, выполненные Д. Пиллонелем в 1994 (10 экз.) и М.И. Колосовой в 2009–11 гг., показали целый ряд особенностей, которые могут характеризовать как культурные традиции обитателей поселения, так и видовой состав окрестных лесов (Лозовская, Лозовский, 2014; Lozovskaya, Lozovski, 2016: 69, 71). Во-первых, использовались преимущественно лиственные породы (от 50 до 77% в разных слоях), хотя среди отдельных видов сосна всегда занимает первое место (22–45%). Во-вторых, помимо сосны и ели, список деревьев включал еще 12 пород, в т. ч. черемуху, ясень, осину, тополь

¹ Источником информации послужили выборочные результаты промывки из раскопов 1995–2000 и 2010–11 гг., а также колонки 1990 г. (Э. Крутоус, приложение 1 и рис. 97) и 2013 г. (М. Бериуэте Асорин, см. глава 3).

² Обилие семян кубышки в отложениях вокруг верши 2011 косвенно указывают на соответствующую глубину водоема.

Рис. 97. Замостье 2, 1990. Палеокарпологическая диаграмма разреза на кв. А2. (по Лозовский, 2003: рис. 30, анализ Э.А. Крутоус, 1991).

Fig. 97. Zamostje 2, 1990. Paleocarpologic diagram of the section in sq. A2. (after Лозовский, 2003: fig. 30, data of E.A. Krutous, 1991).

и клен, не выявленные при анализе пыльцы. В-третьих, наиболее востребованными, после сосны, оказались береза и вяз, в меньшей степени ивовые (ива, тополь, осина). В то же время дуб, липа и ольха, несмотря на регулярное участие в пыльцевой диаграмме и хорошие качества древесины, были встречены в единичных случаях, свидетельств применения орешника не выявлено. Близкие данные получены А.Л. Александровским и для выборки древесного угля для слоев мезолита в раскопе 1995–2000 (см. глава 4): абсолютное преобладание лиственных пород (95–100%), среди которых лидируют береза и вяз; заметную роль играют также клен, в отличие от инвентаря — липа и в верхних слоях ольха. Дуб, ясень и лещина также единичны.

Исходя из ширины некоторых деревянных изделий можно также косвенно судить о параметрах исходного сырья. В частности, в некоторых случаях были использованы стволы сосны, вяза, ивы и осины диаметром не менее 20 см. Высокие и ровные сосны служили также материалом для производства длинных от 2,5 до 4 м и тонких лучин, которые использовались для изготовления легких рыболовных перегородок в мезолитическое время и вершей-ловушек в раннем неолите. Большинство веток для производства небольших хозяйственных колышков принадлежали сосне и березе, что указывает на доступность этих видов деревьев.

Колья предположительно закола, выявленные в русле реки (131 определение, М.И. Колосова и А.М. Кулков), показали иное распределение пород (Лозовский и др., 2013; Лозовская, Лозовский, 2014). Использование сосны здесь минимально (8%); березу можно рассматривать как случайность (1%); в то время как на первое место вышли ивовые (ива, тополь, осина) с 25%, чермуха с 14% и близкие по структуре волокон ольха и граб (в сумме 35%). Появление граба на севере Московской области в среднем голоцене вызвало большую дискуссию и не может пока считаться окончательно установленным фактом, даже несмотря на относительно молодой возраст. Большинство продатированных колея (21 из 32 экз.) относится к V тыс. cal BC (Радиоуглеродная хронология..., 2016: 186–189), т. е. к атлантическому максимуму. В любом случае показательное изменение состава «ближнего леса», а также использование стволов (или длинных прямых веток?) молодых деревьев диаметром в среднем 5–7 см (не более 11 см).

Таким образом, древесные и растительные остатки значительно расширяют наши возможности для реконструкции окружавшего стоянку ландшафта и дают новый импульс для палинологических изысканий. Так, Е.Г. Ершовой были получены новые интересные данные по разрезу в шурфе АА17–19 и в раскопе с вершами (Ершова, 2013; Ершова, Карпухина, 2014). Несмотря на сходные с опубликованными ранее общие характеристики растительности, нельзя не отметить важные на наш взгляд уточнения. Во-первых, для всего атлантического и начала суббореального периодов отмечается достаточно стабильный процент широколиственных пород 10–15%. В их состав, кроме вязов, липы и дуба, входили также клен и даже граб. Во-вторых, разделение растительности на локальную, интразональную, и региональную, зональную, во многом снимает сложившиеся ранее вопросы и противоречия, прежде всего, относительно результатов ботанического анализа деревянного инвентаря. В состав первых входит не только пыльца водно-болотных травянистых растений, но и часть пыльцы деревьев, прежде всего, березы,

ив и ольхи, а также части сосны (сфагновые сосняки). Ко второй относятся все широколиственные породы, орешник и травы, характерные для сухих местообитаний. По мнению А.Л. Александровского, их присутствие может свидетельствовать о существовании и открытых степных пространств, и дубрав в днище озерной котловины (см. глава 4). В-третьих, Е.Г. Ершова, на основе данных травянистых растений, отмечает в месте отбора образцов (шурф АА17–19, т. е. самый северный участок раскопанной территории стоянки) существование мелкого зарастающего водоема с медленно текущей водой (заводи), вплоть до конца раннего неолита. Речь идет в данном случае о среднем состоянии, без учета сезонных или других циклических колебаний. В то же время доля рудеральных или степных растений (*Artemisia*, *Chenopodiaceae*, *Urtica*), росших поблизости, также весьма существенна. Что согласуется с данными анализа семян и свидетельствует о существовании открытых сухих участков в микрорегионе. Как и Е.А. Спиридонова, она отмечает в конце VII тыс. cal BC однократное резкое увеличение процента сосны в ущерб березе, что может объясняться изменением гидрологического режима (например, повышение уровня воды и затопление окружавших березняков) или антропологическим фактором. Однако последний не подтверждается данными деревянного инвентаря, где не наблюдается повышенного спроса на березу в предшествующий период, но заметен высокий процент орудий из сосны в верхнем слое мезолита.

В целом, Е.Г. Ершова реконструирует картину постепенного обмеления и зарастания обширного водоема, на берегу которого располагалось поселение, которое длилось с начала атлантического периода и на всем протяжении существования в округе мезолитических и неолитических поселений. Важным выводом для понимания экономической целесообразности пребывания в этом регионе местного охотничье-рыболовного населения является тезис о «динамическом равновесии», в котором находились растительные сообщества, «переходя одно в другое в зависимости от колебания местных гидрологических условий» и представляющих в целом «весьма устойчивую систему, мало зависящую от внешних, зональных, климатических изменений» (Ершова, 2013: 190).

Интересным примером и подтверждением этого тезиса могут служить некоторые данные из источников новейшего времени. В частности, Александр Флеров, ботаник и натуралист, зафиксировал состояние растительности на рассматриваемой территории в конце XIX века (Флеров, 1902: 128–145). Притом, что обводненность в целом была значительно выше, чем в настоящее время, и цепочки озер, плесов, многочисленных протоков и непроходимых болот занимали обширные пространства (рис. 98), он отметил признаки интенсивного зарастания и обмеления водоемов: от островков из водно-болотных растений, кочек из осок, камышовых и тростниковых болот, ивняков и ольхово-березовых зарослей до сфагновых сосняков и сосновых боров на песчаных холмах. Интересные свидетельства для начала XX века добавляет М. Пришвин, что местное население вынуждено было ежегодно косить водные растения в протоках и каналах, таким образом, расчищая пути сообщения между деревнями или дороги к пастбищам (Пришвин, 1983: 89; Флеров, 1902: 130). На сто лет раньше, в конце XVIII века, на плане Генерального межевания 1780–90 гг. (см. рисунок в главе 9) территория рядом со стоянкой выглядела

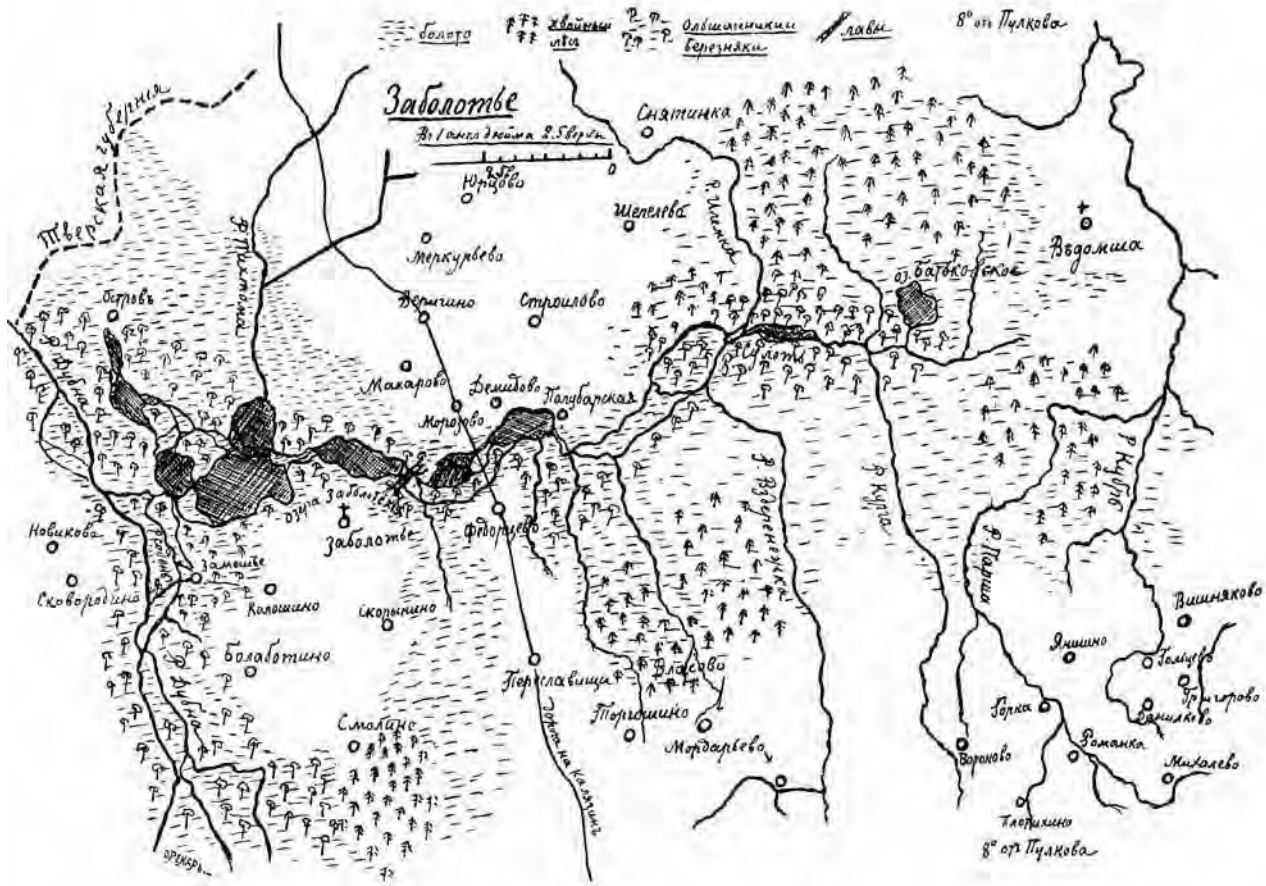


Рис. 98. Озеро Заболотское и его окрестности, карта 1892–1901 гг. По Флёрову, 1902.

Fig. 98. Zabolotskoye lake and surrounding area, map dated to 1892–1901. After Flerov, 1902.

значительно более сухой, русла рек и контуры озер мало чем отличались от сегодняшних (см. также главу 8). Эти данные иллюстрируют значительные колебания в масштабе всего нескольких поколений. Анализ архивных материалов XVI–XVIII вв. для села Заболотье с деревнями и с пустошами (см. глава 9) показывает, что население этой территории оставалось достаточно стабильным, занималось как пашенным земледелием на более возвышенных участках, так и охотой и рыболовством на реке Дубне и озере Заболотском, а также заготавливало строевой лес, который также имелся здесь в изобилии.

Таким образом, можно заметить, что процесс осушения и зарастания послеледникового водоема продолжался с некоторыми колебаниями до недавнего времени и был существенно ускорен лишь в результате мелиорации 1920-х гг. (Ершова, 2013: 190). Это, безусловно, способствовало сохранению традиционных промыслов — охоты, рыболовства и собирательства — и в историческое время.

Однако наиболее спорным на сегодняшний день остается вопрос о топографии самого поселения на разных этапах его существования. Но в данном случае, естественнонаучные данные, к сожалению, не могут дать однозначный ответ. Так, результаты геохимического анализа отложений в шурфе АА17–19 и применение метода геохимической индикации (Кулькова, 2014; см. глава 5) показали, что весь период активности человека на данной территории — и здесь фактор III (антропогенное влияние) почти полностью согласуется с археологическими

данными для культурных слоев — на этом месте существовал мелководный водоем (фактор I по М.А. Кульковой). Несмотря на колебания в ту и другую сторону гидрорежим в целом изменялся от хорошо аэрируемого бассейна до неглубокого заросшего закрытого водоема (фактор II). Близкие результаты были получены и для раскопа с вершами, с той лишь разницей, что глубина водоема здесь была меньше, и условия могут быть охарактеризованы как «прибрежная часть суходола».

Неглубокий заболочиваемый водоем, с относительно низким температурным режимом благодаря выходу холодных ключей на дне озера, восстанавливается и по результатам диатомового анализа (Отчет Г.К. Хурцевич, 1990) (Lozovski et al., 2014: 152–155) для периода позднего мезолита и раннего неолита; в конце периода разнообразие и численность диатомей резко упали, что указывает на низкий уровень воды в озере, но в следующей фазе (средний неолит) отмечается некоторое повышение уровня воды, усиление его проточности и одновременно его заболочивание.

Если допустить, что все эти данные распространяются не только на места взятия проб, то очевидно противоречие с археологическим материалом стоянки и, в частности, с выделением двух жилых площадок для позднего мезолита (слой ВМ) и раннего неолита. Объяснения, с нашей точки зрения, следует искать в длительности тех интервалов жизни поселений, когда накапливались разнообразные предметы материальной культуры. Эти периоды обитания могли длиться от силы один-два де-

сятка лет и не найти своего отражения в значительно более широких временных отрезках, которые вмещал каждый образец, особенно с учетом активной водной среды. Кроме того, анализ абсолютных глубин не выявляет никаких естественных понижений на дне палеоводоема, которые могли бы послужить местом естественной аккумуляции многочисленных остатков материальной культуры на протяжении нескольких тысячелетий.

Интересные, но достаточно противоречивые данные приводятся исследователями соседних памятников, расположенных на удалении всего около 100 м от стоянки Замостье 2: один вглубь современного берега Дубны (Минино 2), второй — вниз по течению на противоположном берегу реки (Замостье 5) (Vandenberghe et al., 2010; Gracheva et al., 2015). Анализ серии геологических скважин и стратиграфических разрезов показали совершенно иные условия осадконакопления, что проявляется с одной стороны в сохранившихся почвах, с другой стороны, в почти полном (за исключением Замостье 5) отсутствии отложений VII-VI тыс. cal BC, т. е. времени активной человеческой деятельности на стоянке Замостье 2. Общая трактовка палеогеографических событий, однако, вызывает некоторые вопросы из-за недостаточно обоснованного применения тех или иных радиоуглеродных датировок и без каких-либо попыток их общего анализа (датруемый материал, контекст, хронологическая модель). Особенно смелым видится прямой перенос радиоуглеродного возраста отложений на включенный в них археологический материал.

Рассмотрение геологической истории микрорегиона с позиций развития речной системы на основании имеющихся у авторов данных не видится очевидным и не решает проблемы реконструкции сложных процессов формирования ландшафта в этой древней озерной котловине. Данные, полученные для участка стоянки Замостье 2, однозначно указывают на длительное существование водоемов со стоячей или слабо текущей водой и отсутствие аллювия (Алешинская и др., 2001; Кулькова, 2014). Неоднократное изменение гидрологического режима территории, трансгрессии и регрессии с условиями разветвленной озерной системы с серией постоянных и временных водотоков, могло оставить неоднородную геологическую подоснову современного ландшафта.

ЗАКЛЮЧЕНИЕ

Таким образом, на основании имеющейся на сегодняшний день информации, можно утверждать следующее: во-первых, поселения эпохи позднего мезолита, раннего и среднего неолита были приурочены к краю обширной озерной системы (рис. 95), включающей разнообразные протоки и проливы. Ландшафты включали как участки открытой воды, прибрежные тростниковые заросли, заболоченные березняки и ольшаники и сухие смешанные леса, которые на протяжении атлантического периода становились все более густыми. Такое расположение являлось особо благоприятным для использования как водных и болотных, так и лесных, животных и растительных ресурсов. Эта экосистема оставалась более или менее стабильной на протяжении как минимум трех тысячелетий на фоне постепенного обмеления и зарастания послеледникового озерного водоема. Во-вторых, из-за периодических колебаний уровня воды и береговой кромки основные поселения обитателей стоянки могли располагаться глубже от берега, на более высоких участках. В частности, это касается носителей материальной

культуры нижнего культурного слоя мезолита, а также периода финального мезолита; на изученной площади стоянки Замостье 2 мы фиксируем только шлейф этих поселений вблизи берега. В то же время для населения, связанного с верхним позднемезолитическим слоем, выделяются участки жилых или хозяйственных площадок, возможно, связанных с небольшим мысом, вдающимся в озеро. Хронологически это, по всей видимости, совпадает с периодом похолодания при увеличении сухости и уменьшении уровня воды ок. 6200–6000 cal BC. Сухой период на стоянке случился и позднее — выделена жилая поверхность слоя раннего неолита (слой 4а), которая содержала 82% керамики первого этапа верхне-волжской культуры. В то же время или немного позже с юга примыкала хозяйственная зона водоема с вершами и заколом. На месте северного шурфа, по состоянию археологических свидетельств, все это время действительно мог существовать водоем. В более позднее время судить о расположении поселений трудно из-за повреждения культурных слоев в последующий трансгрессивный период.

Работы проводились в рамках выполнения программы ФНИ ГАН по теме государственной работы № 0184–2014–0008 «Производство и использование орудий труда в палеолите, неолите и эпоху бронзы (технологическое, трасологическое и экспериментальное изучение археологических материалов)» и при поддержке грантов РФФИ №№ 11–06–00090а, 13–06–12057 офи-м, 11–06–100030к, 12–06–00013к, 13–06–10007к; I+D+I HAR 2008–04461/Hist Ministerio de ciencia e innovación, España 2009–2011.

АРХИВНЫЕ МАТЕРИАЛЫ

Лозовский В.М. Отчет об археологических исследованиях стоянок Замостьинской группы в 1989 г., Архив ИА РАН, № 15652

Лозовский В.М., Отчет 1989 г., рукопись, архив В.М. Лозовского

Лозовский В.М., Дневник 1989 г., рукопись, архив В.М. Лозовского

БИБЛИОГРАФИЯ

Александровский А.Л. 2014 Запись среды в озерно-болотных отложениях памятника Замостье 2 // В.М. Лозовский, О.В. Лозовская (ред.) Природная среда и модели адаптации озерных поселений в мезолите и неолите лесной зоны Восточной Европы. СПб: ИИМК РАН, 2014. С. 54–57.

Алешинская А.С., Лаврушин Ю.А., Спиридонова Е.А. 2001 Геолого-палеоэкологические события голоцена и среда обитания древнего человека в районе археологического памятника Замостье 2 // Каменный век европейского равнин: объекты из органических материалов и структура поселений как отражение человеческой культуры. Материалы международной конференции 1–5 июля 1997 г. Сергиев Посад: Подкова, 2001. С. 248–254.

Ершова Е.Г. 2013 Результаты ботанического и спорово-пыльцевого анализа по разрезам стоянки Замостье 2, 2013 г. / В. Лозовский, О. Лозовская, И. Клементе Конте (ред.) Замостье 2. Озерное поселение древних рыболовов эпохи мезолита — неолита в бассейне Верхней Волги. СПб: ИИМК РАН, 2013. С. 182–193. (Русский/English)

Ершова Е.Г., Карпущина Е.А. 2014 Проблемы интерпретации результатов палинологического анализа разрезов сто-

янки Замостье 2. // В.М. Лозовский, О.В. Лозовская (ред.) Природная среда и модели адаптации озерных поселений в мезолите и неолите лесной зоны Восточной Европы. СПб: ИИМК РАН, 2014. С. 70–73.

Замостье 2. Озерное поселение древних рыболовов эпохи мезолита — неолита в бассейне Верхней Волги. Под ред. В. Лозовского, О. Лозовской, И. Клементе Конте. СПб: ИИМК РАН, 2013. 240 с. (Русский/English)

Клементе Конте И. 2001 Уникальный рабочий инструмент из панциря черепахи со стоянки Замостье 2 // Каменный век европейских равнин: объекты из органических материалов и структура поселений как отражение человеческой культуры. Материалы международной конференции 1–5 июля 1997 г. Сергиев Посад: Подкова, 2001. С. 311–313

Кулькова М.А. 2014 Первые результаты реконструкции палеогеографии и жизнедеятельности древнего человека на стоянке Замостье 2 по данным геохимического анализа // В.М. Лозовский, О.В. Лозовская (ред.) Природная среда и модели адаптации озерных поселений в мезолите и неолите лесной зоны Восточной Европы. СПб: ИИМК РАН, 2014. С. 58–63.

Лозовская О.В. 2008 Деревянные изделия стоянки Замостье 2 по материалам раскопок 1995–2000 гг. // А.Н. Сорокин (ред.) Человек, адаптация, культура. М.: ИА РАН, 2008. С. 273–297.

Лозовская О.В., Лозовский В.М. 2014 Использование древесины в позднем мезолите — раннем и среднем неолите на озерном поселении Замостье 2 // В.М. Лозовский, О.В. Лозовская (ред.) Природная среда и модели адаптации озерных поселений в мезолите и неолите лесной зоны Восточной Европы. СПб: ИИМК РАН, 2014. С. 64–69.

Лозовская О.В., Лозовский В.М. 2015а Костяной и каменный инвентарь льяловского слоя стоянки Замостье 2: попытка вычленения // В.М. Лозовский, О.В. Лозовская, А.А. Выборнов (ред.) Неолитические культуры Восточной Европы: хронология, палеоэкология, традиции. Материалы международной научной конференции, посвященной 75-летию В.П. Третьякова. СПб: ИИМК РАН, 2015. С. 101–105

Лозовская О.В., Лозовский В.М. 2015b О каменной индустрии раннего неолита на стоянке Замостье 2 // С.А. Васильев, В.Е. Щелинский (ред.) Методы изучения каменных артефактов. Материалы международной конференции (г. Санкт-Петербург, 16–18 ноября 2015 г.). СПб: ИИМК РАН, 2015. С. 72–81.

Лозовская О.В., Лозовский В.М. 2017 Наконечники острог и копий позднего мезолита — неолита: вопросы интерпретации (по материалам стоянки Замостье 2) // КСИА. Вып. 246. ИА РАН. Гл. ред. Н.А. Макаров. М.: Языки славянской культуры, 2017. С. 230–241.

Лозовский В.М. 1997 Рыболовные сооружения на стоянке Замостье-2 в контексте археологических и этнографических данных // Т.Н. Манушина, В.М. Массон, В.И. Вишневецкий, В.М. Лозовский, О.В. Лозовская (ред.) Древности Залесского края. Материалы к международной конференции «Каменный век европейских равнин: объекты из органических материалов и структура поселений как отражение человеческой культуры», 1–5 июля 1997, Сергиев Посад. С. 52–65.

Лозовский В.М. 2003 Переход от мезолита к неолиту в Волго-Окском междуречье по материалам стоянки Замостье 2. Диссертация на соискание уч. степени канд.ист. наук. Санкт-Петербург, ИИМК РАН. 266 с.

Лозовский В.М., Лозовская О.В. 2013 Исследования стоянки Замостье 2 в 1989–2013 гг. // В. Лозовский, О. Лозовская, И. Клементе Конте (ред.) Замостье 2. Озерное поселение древних рыболовов эпохи мезолита — неолита

в бассейне Верхней Волги. СПб: ИИМК РАН, 2013. С. 6–17. (Русский/English)

Лозовский В.М., Лозовская О.В., Клементе Конте И., Мазуркевич А.Н., Гассьот-Бальбе Э. 2013 Деревянные рыболовные конструкции на стоянке каменного века Замостье 2 // В. Лозовский, О. Лозовская, И. Клементе Конте (ред.) Замостье 2. Озерное поселение древних рыболовов эпохи мезолита-неолита в бассейне Верхней Волги. СПб: ИИМК РАН, 2013, С. 46–75. (Русский/English)

Маннермаа К. 2013 Охота на птиц среди озер и болот на стоянке Замостье 2, Россия, ок. 7900–6500 л. н. / В. Лозовский, О. Лозовская, И. Клементе Конте (ред.) Замостье 2. Озерное поселение древних рыболовов эпохи мезолита-неолита в бассейне Верхней Волги. СПб: ИИМК РАН, 2013. С. 214–229. (Русский/English)

Медоуз Д., Лозовский В.М., Лозовская О.В., Любке Х., Зайцева Г.И., Кулькова М.А. 2015 Место керамического комплекса стоянки Замостье 2 в рамках общей хронологии верхневолжской культуры // В.М. Лозовский, О.В. Лозовская, А.А. Выборнов (ред.) Неолитические культуры Восточной Европы: хронология, палеоэкология, традиции. Материалы международной научной конференции, посвященной 75-летию В.П. Третьякова. СПб: ИИМК РАН, 2015. С. 84–91. (Русский/English)

Пришвин М.М. 1929 Журавлиная Родина // Новый мир. 1929. № 4–9.

Пришвин М.М. 1983 Журавлиная родина. Повесть о неудавшемся романе // Собр. соч.: В 8 т. М.: Художественная литература. Т. 3. С. 30–160.

Радиоуглеродная хронология эпохи неолита Восточной Европы VII–III тыс. до н. э. : кол. моногр. / Сост. Г.И. Зайцева, О.В. Лозовская, А.А. Выборнов, А.Н. Мазуркевич. Смоленск: Свиток, 2016. 456 с.

Раду В., Десс-Берсе Н. 2013 Рыбы и рыболовство на стоянке Замостье 2 / В. Лозовский, О. Лозовская, И. Клементе Конте (ред.) Замостье 2. Озерное поселение древних рыболовов эпохи мезолита-неолита в бассейне Верхней Волги. СПб: ИИМК РАН, 2013. С. 194–213. (Русский/English)

Сидоров В.В. 1997 Стоянки Заболотского озера. // Т.Н. Манушина, В.М. Массон, В.И. Вишневецкий, В.М. Лозовский, О.В. Лозовская (ред.) Древности Залесского края. Материалы к международной конференции «Каменный век европейских равнин: объекты из органических материалов и структура поселений как отражение человеческой культуры», 1–5 июля 1997. Сергиев Посад: Подкова, 2001. С. 104–143.

Сорокин А.Н. 2011 Стоянка и могильник Монино 2 в Подмоскowie. М.: Гриф и Ко: 2011.

Флеров А.Ф. Флора Владимирской губернии. / Труды Общества Естествоиспытателей при Императорском Юрьевском Университете. М.: Типо-литография Товарищества И.Н. Кушнерев и К^о, 1902. Ч. 1 и 2. 257 с.

Berihuete Azorin M., Lozovskaya O. 2014 Evolution of plant use at the wetland site Zamostje 2, Sergiev posad, Russia: First results // В.М. Лозовский, О.В. Лозовская (ред.) Природная среда и модели адаптации озерных поселений в мезолите и неолите лесной зоны Восточной Европы. СПб: ИИМК РАН, 2014. С. 74–79.

Chaix L. 2003. A short note on the Mesolithic fauna from Zamostje 2 (Russia) // L. Larsson, H. Lindgren, K. Knutsson, D. Loeffler & A. Akerlund (éds.), Mesolithic on the move. Oxford: Oxbow Books, 2003. Papers presented at the Sixth International Conference on the Mesolithic in Europe, Stockholm, 2000. P. 645–648.

Chaix L. 2009. Mesolithic elk (*Alces alces* L.) from Zamostje 2 (Russia). // M. Cartan, S.R. Schulting, G. Warren,

P. Woodman (eds.). *Mesolithic Horizons*. Seventh International Conference on the Mesolithic in Europe, Belfast 2005. Vol. I. Oxbow Books, Oxford and Oakville, 2009. P. 190–197.

Gracheva R., Vandenberghe J., Sorokin A., Malyasova E., Uspenskaya O. 2015 Mesolithic-Neolithic settlements Minino 2 and Zamostye 5 in their geo-environmental setting (Upper Volga Lowland, Central Russia) // *Quaternary International*. № 370. P. 29–39.

Lozovskaya O., Lozovski V. 2016 The Use of Wood at the Zamostje 2 Site // P. Uino, K. Nordqvist (eds.). *New Sites, New Methods*. Proceedings of the Finnish-Russian Archaeological Symposium, Helsinki, 19–21 November 2014. *Iskos* 21. Helsinki: The Finnish Antiquarian Society, 2016. P. 59–74.

Lozovski V.M. 1996 *Zamostje 2. Les derniers chasseurs-pêcheurs préhistoriques de la Plaine Russe*. Guides archéologiques du « Malgré-Tout ». Treignes: CEDARC. 96 p.

Lozovski V., Lozovskaya O., Mazurkevich A., Hookk D., Kolosova M. 2014 Late Mesolithic–Early Neolithic human adaptation to environmental changes at an ancient lake shore: The multi-layer Zamostje 2 site, Dubna River floodplain, Central Russia // M. Bronnikova, A. Panin (eds.) *Human dimensions of palaeoenvironmental change:*

Geomorphic processes and geoarchaeology. Quaternary International. Vol. 324. P. 146–161.

Lozovski V., Lozovskaya O. 2016 New Evidence of the Fishing Economy of Stone Age Waterlogged Sites in Central and North-Western Russia: The Example of Zamostje 2 // P. Uino, K. Nordqvist (eds.). *New Sites, New Methods*. Proceedings of the Finnish-Russian Archaeological Symposium, Helsinki, 19–21 November 2014. *Iskos* 21. Helsinki: The Finnish Antiquarian Society. P. 85–100.

Meadows J., Losovski V.M., Lozovskaya O.V., Chirkova S., Craig O., Lucquin A, Spataro M. 2015 Absolute chronology of Upper Volga-type pottery: more evidence from Zamostje 2 // *Самарский научный вестник*. 2015. № 3 (12) С. 114–121. (English/Русский)

Radu V., Dese-Berset N. 2012 The fish from Zamostje and their importance for the last hunter-gatherers of the Russian plain (Mesolithic-Neolithic) // *Proceedings of the General Session of the 11th International Council for Archaeozoology Conference* (Paris, 23–28 August 2010). Ed. C. Lefèvre. *BAR International Series* 2354. 2012. P. 147–161.

Vandenberghe J., Gracheva R., Sorokin A. 2010 Postglacial floodplain development and Meso- Neolithic occupation in the Russian forest zone // *Proceedings of the Geologists' Association*. № 121. P. 229–237.